

АЗЭРБАЙЧАН ССР ЕЛМЛЭР АКАДЕМИЈАСЫ
АКАДЕМИЯ НАУК АЗЕРБАЙДЖАНСКОЙ ССР

МЭРГҮЗЭЛЭР
ДОКЛАДЫ

ТОМ ХХIII ЧИЛД

8

АЗЭРБАЙЧАН ССР ЕЛМЛЭР АКАДЕМИЈАСЫ НЭШРИЈЛТАҮ
ИЗДАТЕЛЬСТВО АКАДЕМИИ НАУК АЗЕРБАЙДЖАНСКОЙ ССР

Бакы—1967—Баку

АЗЭРБАЙЧАН ССР ЕЛМЛЭР АКАДЕМИЯСЫ
АКАДЕМИЯ НАУК АЗЕРБАЙДЖАНСКОЙ ССР

МЭ'РҮЗӨЛЭР
ДОКЛАДЫ

ТОМ ХХIII ЧИЛД

№ 8

АЗЭРБАЙЧАН ССР ЕЛМЛЭР АКАДЕМИЯСЫ НЭШРИЈАТЫ
ИЗДАТЕЛЬСТВО АКАДЕМИИ НАУК АЗЕРБАЙДЖАНСКОЙ ССР
БАКУ—1967—БАКУ

В. А. КОЛУШЕВА

ОБОБЩЕНИЕ КЛАССИЧЕСКИХ КРАЕВЫХ И СМЕШАННЫХ
ЗАДАЧ НА БЕСКОНЕЧНО-МЕРНОЕ ПРОСТРАНСТВО С МЕРОЙ

(Представлено академиком АН Азербайджанской ССР З. И. Халиловым)

Рассмотрим координатное пространство Ω всех вещественных последовательностей $x = (x_1, \dots, x_n, \dots)$ с гауссовой ω -мерой, определяющей для брусов $B_n = \{x \in \Omega : a_k < x_k < b_k, k=1, \dots, n\}$ по формуле:

$$\omega B_n = \prod_{k=1}^n \frac{1}{V^\pi} \int_{a_k}^{b_k} e^{-x_k^2} dx_k.$$

Известно, что это пространство является универсальным пространством с гауссовой мерой (см. [2]).

Цилиндрической функцией в пространстве Ω называется функция, зависящая от конечного числа переменных.

Пространство Ω для каждого $n=1, 2, \dots$ можно разложить в прямое произведение: $\Omega = R_n \times \Omega_n$, где R_n n -мерное пространство с гауссовой мерой ω_n ; $\omega = \omega_n \times \omega^n$, где ω^n -мера на Ω_n . Средним функционала $g(x) \in L_1(\Omega)$ $x \in \Omega$ назовем цилиндрическую функцию

$$[g]_n = [g]_n(x_1, \dots, x_n) = \int_{\Omega_n} g(x_1, \dots, x_n, \dots) d\omega^n.$$

Рассмотрим следующее множество положительной ω -меры:

$E = \left\{ x \in \Omega : \sum_{i=1}^{\infty} c_i^2 x_i^2 \leq r^2, \sum_{i=1}^{\infty} c_i^2 < \infty \right\}$, которое будем называть эллипсоидом в Ω .

Границей эллипса E естественно назвать множество: $E' = \left\{ x \in \Omega : \sum_{i=1}^{\infty} c_i^2 x_i^2 = r^2, \sum_{i=1}^{\infty} c_i^2 < \infty \right\}$.

Обобщенной производной функции $g(x) \in L_1(\Omega)$ называется такая функция $g^{(i)}(x)$, которая удовлетворяет соотношению:

$$\int_E g(x) \frac{\partial \varphi}{\partial x_i} d\omega = - \int_E \varphi(x) g^{(i)}(x) d\omega.$$

РЕДАКЦИОННАЯ КОЛЛЕГИЯ: Р. Г. Исмайлов (главный редактор), Ш. А. Азизбеков, В. Р. Волобуев, Д. М. Гусейнов, И. А. Гусейнов, М. А. Дадаш-заде (зам. главного редактора), М. А. Далин, Ч. М. Джуварлы, А. И. Карабев, М. А. Кацкай (зам. главного редактора), С. М. Кулиев, М. Ф. Нагиев, М. А. Топчибашев, З. И. Халилов, Г. Г. Зейналов (ответственный секретарь).

Адрес: г. Баку, Коммунистическая, 10. Редакция «Доклады Академии наук Азербайджанской ССР».

при любой цилиндрической функции $\phi(x)$, имеющей непрерывную производную по x_i и равной нулю вблизи E' , т. е. при

$$r^2 - \epsilon \leq \sum_{i=1}^{\infty} c_i^2 x_i^2 \leq r^2 \quad (E>0).$$

Используя в качестве меры грани $B_n^{b_1} = \{x \in \Omega : a_j \leq x_j \leq b_j, j=1, \dots, n\}$ $j \neq i, x_i = b_i\}$ бруса B_n условную меру:

$$\omega^* B_n^{b_1} = \omega[x \in \Omega : a_j \leq x_j \leq b_j, j=1, \dots, n, j \neq i],$$

назовем площадью поверхности бруса B_n сумму: $sB_n = \sum_{i=1}^n (\omega^* B_n^{a_1} + \omega^* B_n^{b_1})$. Для достаточно гладкого векторного поля $F(x) = (F^1(x), \dots, F^n(x), \dots)$, $F^i(x) = F^i(x_1, \dots, x_n, \dots)$ выражение $\lim_{\substack{n \rightarrow \infty \\ (a_1, \dots, a_i) \rightarrow x_i}} \frac{1}{sB_n} \int_{sB_n} (F, N) ds$

преобразуется в вид $\sqrt{\pi} \sum_{i=1}^{\infty} e^{x_i^2} \frac{\partial F^i}{\partial x_i}$, где $N = (0, \dots, 1, \dots)$ (единица на i -том месте). Так как это предел в n -мерном пространстве является одним из определений дивергенции, то естественно и в пространстве Ω называть дивергенцией векторного поля $F(x)$, имеющего все производные

$\frac{\partial F^i}{\partial x_i} \in L_2(\Omega)$, и такого, что $\sum_{i=1}^{\infty} e^{x_i^2} \frac{\partial F^i}{\partial x_i}$ сходится по норме в простран-

стве $L_2(\Omega)$, величину: $\operatorname{div} F \equiv \sum_{i=1}^{\infty} e^{x_i^2} \frac{\partial F^i}{\partial x_i}$. Градиентом функции $u(x)$,

имеющей все производные $\frac{\partial u}{\partial x_i}$, назовем вектор: $\operatorname{grad} u(x) = \left[\frac{\partial u}{\partial x_1}, \dots, \frac{\partial u}{\partial x_n} \right]$. Оператором Лапласа назовем $\operatorname{div} \operatorname{grad} u$. Обозначая обобщенный оператор Лапласа через Δ и предполагая, что функция u имеет все производные $\frac{\partial^2 u}{\partial x_i^2} \in L_2(\Omega)$ и $\sum_{i=1}^{\infty} e^{x_i^2} \frac{\partial^2 u}{\partial x_i^2}$ сходится в $L_2(\Omega)$, получим:

$$\Delta u = \sum_{i=1}^{\infty} e^{x_i^2} \frac{\partial^2 u}{\partial x_i^2}.$$

Поставим краевую задачу для несколько более общего, чем Δ , оператора: найти функцию $u(x)$, всюду внутри эллипсоида E , т. е.

на множестве $\{x \in \Omega : \sum_{i=1}^{\infty} c_i^2 x_i^2 < r^2, \sum c_i^2 < \infty\}$, удовлетворяющую уравнению:

$$Lu \equiv - \sum_{i=1}^{\infty} e^{x_i^2} \frac{\partial^2 u}{\partial x_i^2} - 2 \sum_{i=1}^k b_i x_i \frac{\partial u}{\partial x_i} = g(x), \quad (1)$$

(где k —фиксированное число, b_i —число, равное нулю или единице)

$$u|_{E'} = 0.$$

Обозначим через H_n пространство, образованное замыканием непрерывно-дифференцируемых функций, обращающихся в нуль на границе n -мерного эллипсоида $E_n = \left\{ x \in R_n : \sum_{i=1}^n c_i^2 x_i^2 \leq r^2 \right\}$ и на $R_n - E_n$, по норме:

$$\|v\|_{H_n} = \frac{1}{\pi^{n/2}} \int_{R_n} \left[\sum_{i=1}^n e^{-\sum_{j=1}^i x_j^2} \left(\frac{\partial v}{\partial x_i} \right)^2 + \sum_{i=1}^k b_i (1+x_i^2) e^{-\sum_{j=1}^i x_j^2} \right] dx_1 \dots dx_n,$$

где $\sum_{i=1}^k x_i^2 = \sum_{k+1}^n x_k^2$, а

$$\int_{R_n} dx_1 \dots dx_n = \underbrace{\int_{-\infty}^{\infty} \dots \int_{-\infty}^{\infty}}_n dx_1 \dots dx_n.$$

Обобщая на пространство Ω определение обобщенного решения краевой задачи (см. [1]), обобщенным решением задачи (1)–(2) назовем такую функцию $u(x)$, которая имеет все обобщенные производные, суммируемые с квадратом, среднее которой является абсолютно непрерывной функцией, принадлежит H_n и, кроме того u , удовлетворяет тождеству:

$$\int_E \left[\sum_{i=1}^{\infty} e^{x_i^2} \frac{\partial u}{\partial x_i} \cdot \frac{\partial v}{\partial x_i} - 2 \sum_{i=1}^k b_i x_i e^{x_i^2} \frac{\partial u}{\partial x_i} \cdot u - g \cdot v \right] d\omega = 0$$

для любой цилиндрической функции $v(x)$, принадлежащей при некотором n пространству H_n .

Теорема 1. Если $g(x) = \sum_{n=1}^{\infty} g_n(x)$, где $g_n(x) = g_n(x_1, \dots, x_n) \in L_2(\Omega)$,

причем $\|g_n(x)\|_{L_2(\Omega)} \leq \frac{K_n}{A_n}$, где $K_n > 0$, $\sum K_n < \infty$, $A_n = \frac{e^{(2rc)^2}}{n} \pi^{n/4}$,

$c = \max\{c_1^{-1}, \dots, c_n^{-1}\}$, то обобщенное решение задачи (1)–(2) существует и единствено.

Рассмотрим некоторое множество $Q = \{(x, t) \in E \times [0, t_1]\}$, где t_1 —некоторое фиксированное число. Обобщением волнового оператора на пространство Ω естественно считать оператор $Su = \frac{\partial^2 u}{\partial t^2} - \Delta u$.

Поставим смешанную задачу для обобщенного волнового оператора:

$$\frac{\partial^2 u}{\partial t^2} - \Delta u = f(x, t) \quad (3)$$

$$u|_{\Gamma} = 0 \quad u(x, 0) = \frac{\partial u}{\partial t}(x, 0) = 0. \quad (4)$$

Обобщенным решением задачи (3)–(4) будем называть такую функцию $u(x, t)$, которая:

- а) имеет все обобщенные производные, суммируемые с квадратом;
- б) среднее которой $[u]_n$ принадлежит пространству $W_2^1(Q_n)$ (см. [1]);

$$\text{в)} \int_{E_n} \{[u(x, \Delta t)]_n\}^2 dx \xrightarrow{\Delta t \rightarrow 0} 0;$$

г) удовлетворяет следующему тождеству:

$$\int_Q \left[\frac{\partial u}{\partial t} \cdot \frac{\partial \Phi}{\partial t} - \sum_{i=1}^n e^{x_i^2} \frac{\partial u}{\partial x_i} \cdot \frac{\partial \Phi}{\partial x_i} + f \Phi \right] d\omega dt = 0,$$

где $\Phi(x, t)$ – цилиндрическая функция, принадлежащая $W_2^1(Q_n)$, $\Phi(x, t_1) = 0$, $\Phi(x, t) = 0$ вне Q_n .

Теорема 2. Если $f(x, t) = \sum_{n=1}^{\infty} f_n(x, t)$, где $f_n(x, t) = f_n(x_1, \dots, x_n, t) \in$

$\epsilon L_2(\Omega)$, причем $\|f_n(x, t)\|_{L_2(\Omega)} < \frac{k_n}{D_n}$, где $k_n > 0$, $\sum_{n=1}^{\infty} k_n < \infty$,

$$D_n = 2e^{(rc)^2 t_1 \pi^{n/4}} \sqrt{t_1 + \frac{t_1^3}{3}}, \quad c = \max \{c_1^{-1}, \dots, c_n^{-1}\},$$

то обобщенное решение задачи (3)–(4) существует и единствено.

Обобщением оператора теплопроводности на пространство естественно считать оператор $Tu = \frac{\partial u}{\partial t} - \Delta u$. Поставим для этого оператора смешанную задачу в цилиндре Q :

$$\frac{\partial u}{\partial t} - \Delta u = h(x, t) \quad (5)$$

$$u|_{\Gamma} = 0$$

$$u(x, 0) = 0. \quad (6)$$

Обобщенным решением задачи (5)–(6) назовем функцию $u(x, t)$, имеющую все обобщенные производные I и II порядка по x_k и I по t , принадлежащие $L_2(\Omega)$, обращающую в тождество (5), в котором обычные производные заменены обобщенными, удовлетворяющую (6).

Теорема 3. Если $h(x, t) = \sum_{n=1}^{\infty} h_n(x, t)$, где $h_n(x, t) = h_n(x_1, \dots, x_n, t) \in$

$$\epsilon L_2(\Omega), \|h_n(x, t)\|_{L_2(\Omega)} \leq \frac{k_n}{G_n}, \text{ где } k_n > 0, \sum_{n=1}^{\infty} k_n < \infty,$$

$G_n = 2e^{(rc)^2 \pi^{n/4}} \sqrt{3t_1(n+1)^2 n}$, то обобщенное решение задачи (5)–(6) существует и единствено.

ЛИТЕРАТУРА

1. Вишик М. И., Ладыженская О. А. Краевые задачи для уравнений в частных производных, УМН, XI, 6, 1956, стр. 41–97. 2. Шилов Г. Е. О мерах в линейных пространствах. ДАН СССР, № 1, 1966.

Азербайджанский политехнический институт

Поступило 2. III 1967

В. А. Колушева

Олчусу олан соңузөлчүлү фәзада классик сәрхәд
вэ гарышыг мәсәләләрин үмумиләшмәси

ХУЛАСЭ

Мәгаләдә Гаус өлчүсү

$$\omega \{x = (x_1, \dots, x_n) \in B \subset R_n\} = \frac{1}{V \pi^n} \int_B e^{-\sum_{k=1}^n \frac{x_k^2}{c_k}} dx_1 \dots dx_n$$

бүтүн $x = (x_1, \dots, x_n, \dots)$ ардычыллыглардан ибарәт Ω фәзасына бахылар. Бурада вектор анализи илә аналоги олараг дивергенция вэ градиент операторлары һаггында мә'лумат верилир.

Лаплас оператору үчүн ашағыдакы ифадә алышыр:

$$\Delta u = \operatorname{div} \operatorname{grad} u = \sum_{i=1}^n e^{x_i^2} \frac{\partial^2 u}{\partial x_i^2}$$

n –өлчүсү фәза илә аналоги олараг истилик кечирмә оператору $Tu = \frac{\partial u}{\partial t} - \Delta u$ вэ далға оператору $Su = \frac{\partial^2 u}{\partial t^2} - \Delta u$ верилир.

Мәгаләдә $\Delta u = g(x)$, $Su = f(x, t)$, $Tu = h(x, t)$ тәнликләринин мүэjjән сәрхәд вэ башланғыч шәртләrinе табе олан, „еллисоид“ $E = \{x \in \Omega$.

$\sum_{i=1}^n c_i^2 x_i^2 < \infty, \sum_{i=1}^n c_i^2 < \infty\}$ илә әһатә олуныш областла һәлли ахтарылар. Мүэjjән f вэ g синифләри үчүн үмуми һәллин варлығы вэ јекәнәлији һаггында теоремләр верилир.

ФИЗИЧЕСКАЯ ХИМИЯ

М. Ф. НАГИЕВ, К. А. КАРАШАРЛИ, С. А. МЕХТИЕВ

ТЕРМОДИНАМИЧЕСКИЕ ИССЛЕДОВАНИЯ ТЕТРАМЕРА
ДИМЕТИЛАМИНСИЛАНА ПРИ НИЗКИХ ТЕМПЕРАТУРАХ
В ИНТЕРВАЛЕ 55—385°К

Целью данных исследований было определение термодинамических констант, а также теплот и температур фазового перехода диметиламина.

Образец был предварительно очищен вакуумной перегонкой и методом фракционной кристаллизации [1]. Чистота вещества, определяемая в калориметре по депрессии точки плавления [2], оказалась равной 99,03 моля %.

Описание аппаратуры и методики исследований было опубликовано ранее [3].

При исследовании в калориметре было залито 44,5866 г вещества, что составило 0,1498 моля. Экспериментальные значения зависимости теплоемкости образца от температуры были измерены в интервале 55—385°К.

Отклонение экспериментальных точек от выравненной кривой для исследуемого образца не превышало 0,15—0,2%. Были определены

также теплота и температура плавления тетрамера ДМАС, которые были равны:

$$\Delta H_{\text{плавления}} = 5207,30 + 30 \frac{\text{кал}}{\text{моль}}$$

$$T^s = 367,67 + 0,02^\circ\text{К}$$

$$T^* = 368,315 + 0,02^\circ\text{К},$$

где: T^s — температура плавления образца и T^* — температура плавления чистого вещества, определенные по графику зависимости температуры

от обратной функции фракции плавления $1/x$ (рисунок),

где:

$$x = \frac{q_1}{\Delta H_{\text{плав.}}},$$

q_1 — количество энергии, идущее на плавление определенной порции вещества.

T^s определялось при $1/x = 1$, T^* — при $1/x = 0$.

Ввиду присутствия в образце примесей плавление начиналось на 25—30° ниже тройной точки. Поэтому в этой области от выравненных значений теплоемкости твердой фазы, полученных экспериментальным путем, вычитывалась добавочная эффективная теплоемкость, вызванная примесями

$$\Delta C_{p_1} = \Delta H_{\text{плав.}} \cdot \frac{T^* - T^s}{(T^* - T_1)^2},$$

где: ΔC_{p_1} — возрастание добавочной эффективной теплоемкости, вызванное примесями, T_1 — температура, при которой вычислялось ΔC_{p_1} . По данным зависимости теплоемкости от температуры тетрамера ДМАС были вычислены абсолютная энтропия $s_{298,16}^0$ и изменение энталпии $H_{298,16} - H_0$.

Так как у нас отсутствовали экспериментальные данные по теплоемкостям ниже 55°К, нами был использован метод экстраполяции теплоемкости от 90 до 20°К, предложенный Келли, Парксом и Хафманом [4,5], а от 20°К до 0°К экстраполяцию провели по формуле Дебая,

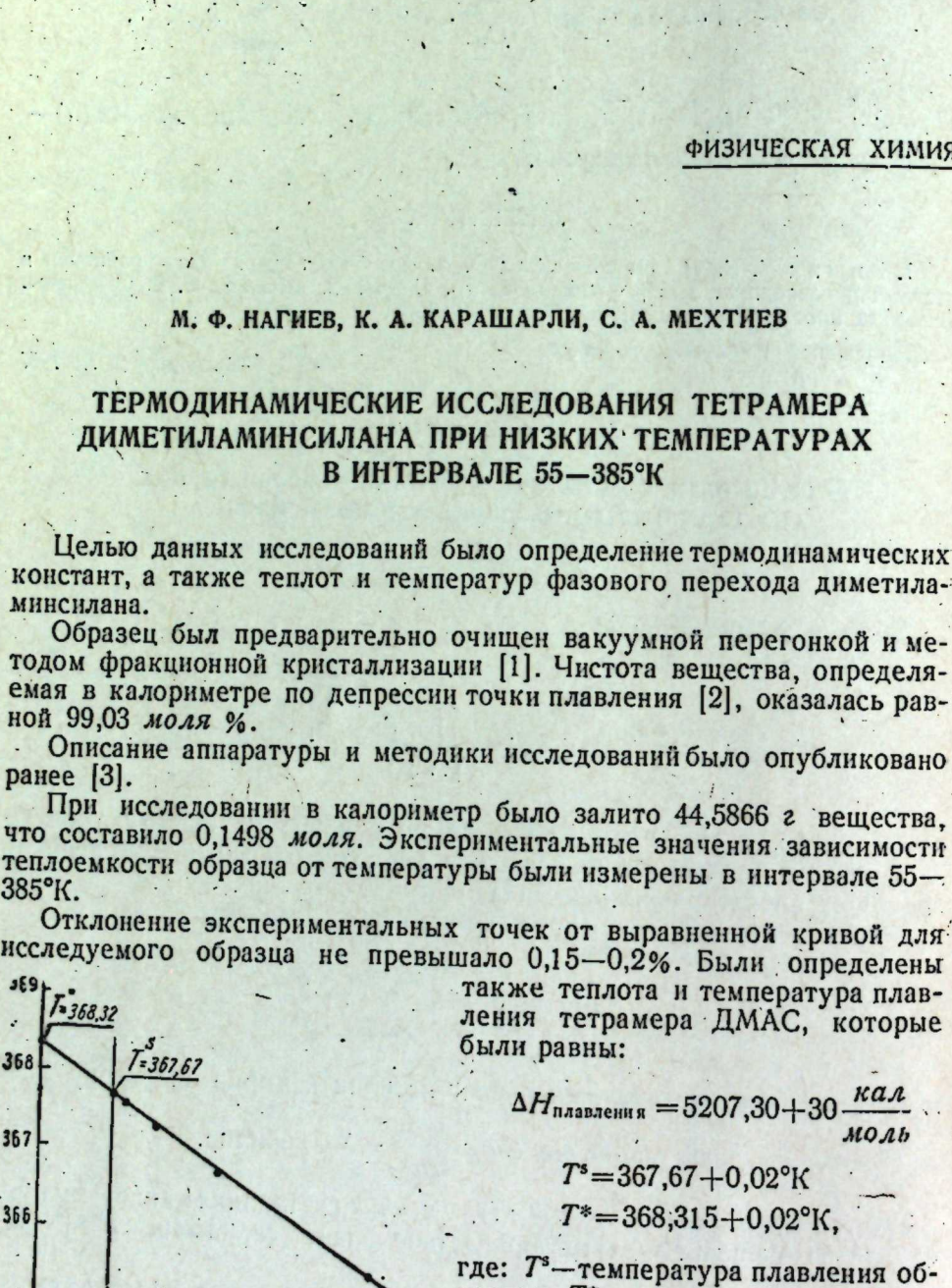
$$C_p = aT^3$$

По выравненным значениям экспериментальных величин теплоемкости, а также по данным, полученным при экстраполяции, составили таблицу.

Теплоемкость тетрамера $(\text{CH}_3)_2\text{SiNO}$

$T^\circ\text{К}$	$C_p \frac{\text{кал}}{\text{моль}\cdot\text{град}}$	$T^\circ\text{К}$	$C_p \frac{\text{кал}}{\text{моль}\cdot\text{град}}$	$T^\circ\text{К}$	$C_p \frac{\text{кал}}{\text{моль}\cdot\text{град}}$
10	1,0603	135	70,2407	260	126,7272
15	2,6621	140	72,7112	265	128,3296
20	7,1843	145	75,3820	270	129,5983
25	11,4309	150	77,3882	275	131,2007
30	14,7959	155	80,9238	280	132,4693
35	17,9475	160	82,4593	285	133,0035
40	22,1605	165	86,0649	290	134,6727
45	22,7080	170	86,4656	295	135,6075
50	25,9730	175	91,3397	300	136,2084
55	27,8426	180	93,9438	305	136,8093
60	30,0460	185	96,5476	310	137,4102
65	32,0491	190	98,9514	315	138,3449
70	34,3192	195	101,2883	320	139,2797
75	37,2570	200	103,4248	325	139,5468
80	39,6606	205	105,8285	330	140,1477
85	42,5985	210	107,8984	335	140,7486
90	43,9338	215	109,7011	340	141,6851
95	48,0736	220	112,1716	345	150,9643
100	49,7428	225	114,0411	350	157,1528
105	54,0828	230	115,9105	355	167,5220
110	56,5531	235	117,8469	360	171,7878
115	59,2907	240	119,7164	368	315
120	61,9614	245	121,5860	370	127,2614
125	64,5653	250	123,5223	375	129,9439
130	67,4365	255	125,1247	380	133,1360
				385	135,8077

Стандартные значения абсолютной энтропии и изменение энталпии были получены численным интегрированием кривых (C_p/T) и $C_p(T)$.



Оценка погрешности в области 55–300°К производилась двукратным построением по экспериментальным значениям теплоемкостей кривых $C_p(T)$ и (C_p/T) , T , и графическим интегрированием каждой пары кривых получали два разных значения s_t^0 и $H_t^0 - H_0$. По этим двум, независимо друг от друга вычисленным значениям энтропии и энталпии определялись их средние значения и величины погрешностей.

При оценке погрешности абсолютной энтропии и изменения энталпии также учитывалась ошибка экстраполяции.

Для исследуемого образца были получены следующие значения вычисляемых величин:

$$S_{298,16} = 143,25 \pm 0,6 \text{ энтроп. единиц}$$

$$H_{298,16}^0 = 22326,9 \pm 100 \frac{\text{кал}}{\text{моль}}$$

$$\Delta S_{\text{плав.}} = 14,14 \pm 0,15 \text{ энтроп. единиц}$$

ЛИТЕРАТУРА

1. Херингтон Г. Е. Зонная плавка органических веществ. Изд-во „Мир“, 1965.
2. Р. Д. Россини, Б. Дж. Метер, А. Дж. Стрейф. Углеводороды нефти. Гостехиздат, 1957.
3. Стрелков П. Г., Ицкевич Е. С. и др. ЖФХ, 1954, XVIII, вып. 3.
4. Parks G. S., Kelly R. R., Nisman H. M. 33, № 11, 1802, 1929.
5. Введенский А. А. Термодинамические расчеты нефтехимических процессов. Гостехиздат, 1960.

Ин-т теоретических проблем химической технологии

Поступило 13. III 1967

М. Ф. Нағыев, К. Э. Гарашарлы, С. Э. Меңдиев

55–385°К температур интервалында тетрамер диметиламинисиланын термодинамик тәдгиги

ХУЛАСӘ

Мәгаләдә тетрамер диметиламинисиланын 55–385°К температур интервалында адиабатик вакуум калориметриндә истиликт тутумунун температурдан асылылығы, маддәнин тәмизлиji, әримә истилиji вә әримә температурунун тәчрубәдән алыныш гијмәтләри көстәрилмишdir.

Экстрополјасијанын көмәji илә 55–0°К интервалында истиликт тутумы несабланмышдыр. Истиликт тутумунун температурдан асылылыг графикини интегралламагла мүтләг ентропијаны вә стандарт һалын енталпијасынын дәжишмәснин несабланмыш гијмәтләри дә көстәрилмишdir.

С. М. АЛИЕВ, Р. Г. ИСМАЙЛОВ, Н. И. ГУСЕЙНОВ,
Г. М. МАМЕДАЛИЕВ, Р. И. ГУСЕЙНОВ

АЛКИЛИРОВАНИЕ ЭТИЛМЕТАКСИЛОЛА ПРОПИЛЕНОМ В ПРИСУТСТВИИ СИНТЕТИЧЕСКИХ АЛЮМОСИЛИКАТОВ

В работах [1–4] нами изложены результаты алкилирования толуола, ксиолов и этилбензола, trimetilbenzolov и этилтолуола этиленом и пропиленом над алюмосиликатами. При дальнейшем исследовании было изучено алкилирование этилметаксилола пропиленом. При этом предусматривалось выявление условий синтеза изопропилэтилметаксилолов, дегидрирование которых позволяет получить метилированные в ядре изопропенилстиролы.

ЭКСПЕРИМЕНТАЛЬНАЯ ЧАСТЬ

Этилметаксилол, полученный алкилированием метаксилола этиленом над алюмосиликатами на укрупненно-опытной установке (температура 310–325°С, давление 5–5,5 atm, скорость подачи сырья – 0,5 час⁻¹, метаксилол : этилен – 5:1 моль) и очищенный с помощью четкой ректификации, выкипал при температуре 182–191°С, n_D^{20} – 1,5040, d_4^{20} – 0,8760, изомерный состав: 1,3-диметил-4-этилбензола – 60,0%, 1,3-диметил-5-этилбензол – 34,0%, 1,3-диметил-2-этилбензола – 6,0%.

Пропилен, полученный низкотемпературным фракционированием газов пиролиза на установке ВНИИолефинов (Баку), имел степень чистоты 99,8%.

Опыты по алкилированию проводились на лабораторной установке с проточным реактором под давлением. Алкилаты подвергались четкой ректификации на колонке с эффективностью 35–40 т. т. Изомерный состав изопропилэтилметаксилолов исследовался путем снятия спектров узких фракций на приборе ИКС-14 с призмой NaCl.

В качестве аналитических полос были взяты 855–870 см⁻¹ для 1,2,4,5–, 840–856 см⁻¹ для 1,2,3,5–, 800–818 см⁻¹ для 1,2,3,4-замещенных бензола [5, 6].

Из-за отсутствия коэффициента поглощения (ϵ) соотношение указанных изомеров выражалось приблизительно через оптическую плотность их $D = J_0/J$ (где J_0 – интенсивность падающих лучей, J – интенсивность проходящих лучей). Результаты опытов по изучению влияния температуры, скорости подачи сырья и соотношения компонентов смеси на выход моно- и дизопропилэтилметаксилолов приве-

Таблица 1

Данные характерных опытов процесса алкилирования этилметаксилола пропиленом. (условия: давление—5 атм, молярное соотношение этилметаксилол : пропилен = 1 : 1, продолжительность опыта—1 час).

Показатели	Скорость подачи сырья—1 час ⁻¹			Скорость—4 час ⁻¹		
	Т-ра 70°C		Т-ра 200°C		Т-ра 200°C	
	Выход фракций, вес. %	n_D^{20}	Выход фракций, вес. %	n_D^{20}	Выход фракций, вес. %	n_D^{20}
Фракционный состав: алкилата, °С Н. К.						
до—175	136	5,16	62	1,4560	42,7	1,4680
175—180	0,48	1,5000	0,81	1,4885	0,6	1,4910
180—195	68,32	1,5010	22,58	1,4970	48,38	1,4975
190—200	0,75	1,4995	0,80	1,4970	0,8	1,4960
200—220	2,00	1,5000	2,16	1,4995	4,0	1,5000
220—225	0,60	1,5020	1,05	1,5035	1,3	1,5020
225—235	18,0	1,5050	54,51	1,5050	30,55	1,5045
232—240	0,7	1,5055	1,05	1,5055	1,3	1,5045
Общ. выход фракций:	96,01		85,69		91,2	
Остаток	3,54	1,5090	13,26	1,5140	7,8	1,5140
Потери	0,45		1,05		1,0	
n_D^{20}		1,5000		1,5010		1,4990
d_D^{20}		0,8691		0,8838		0,8653
Сульфируемость, %	100		98		99,0	
Иодное число	0,0		0,0		0,0	
Удельный вес d_4^{20}						
Этилметаксилольная фракция—180—195°C	0,8693		0,8710		0,8750	
Изопропилэтилметаксилольная фракция 225—235°C	0,8776		0,8760		0,8759	
Дизопропилэтилметаксилольная фракция выше—240°C	0,8970		0,9235		0,8880	
Материальный баланс, вес. %						
Катализатор	84,70		98,0		94,4	
Газ	12,70		0,36		3,48	
Кокс	1,40		0,84		1,06	
Потери	1,20		0,80		1,06	

Таблица 2

Влияние условий алкилирования на выход и изомерный состав изопропилметилметаксилолов (давление—5 атм, продолжительность опыта—1 час)

№ опыта	Условия алкилирования			Выход изопропилметаксилолов на сырье, вес. %	Изомерный состав, %*		
	T-ра, °C	Ско- рость, час ⁻¹	Этилметак- силол : про- пилен, моль		1, 2, 3, 4	1, 2, 3, 5	1, 2, 4, 5
5	200	0,5	1:1	50,5	22,8	35,4	41,7
2	200	1,0	1:1	53,3	24,0	35,3	40,7
6	200	2,0	1:1	28,75	30,8	33,1	36,1
8	200	4,0	1:1	28,8	28,0	34,2	37,8
1	250	1,0	1:1	39,8	20,8	35,1	44,1
3	160	1,0	1:1	27,1	29,0	33,9	37,1
7	200	1,0	2:1	22,9	30,2	33,8	36,0

* $D = J_0/J$

дены в табл. 1 и в виде кривых представлены на рис. 1, 2. В интервале температур 70—250°C и скорости подачи сырья—0,5—4,0 час⁻¹ процесс направлен в сторону образования главным образомmonoалкилпродуктов, выход которых при 200°C и скорости 1 час⁻¹ достигает около 53% на сырье. Количество дизопропилэтилметаксилолов при этом не превышает 15%. Конверсия пропилена составляет ~99,0%, этилметаксилола—70%.

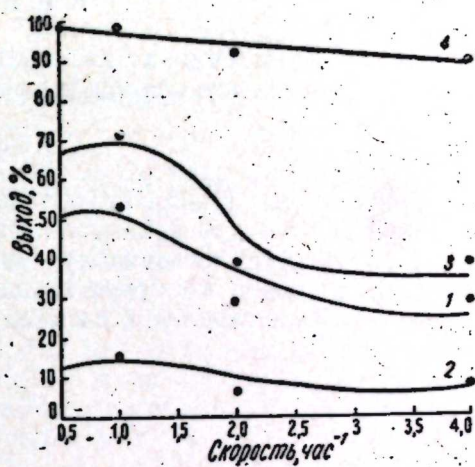
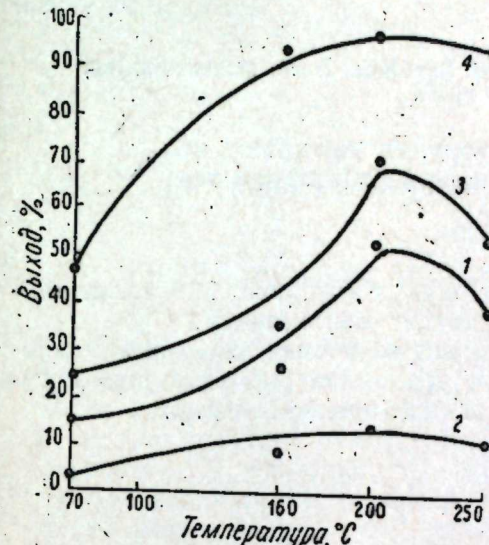


Рис. 1.

Рис. 2.

Повышение температуры, равно как и ее понижение, приводит к снижению выхода mono- и dialкилпродуктов. Увеличение скорости подачи сырья до 2—4 час⁻¹ и применение избытка этилметаксилола ухудшает показатели процесса. О влиянии условий алкилирования на изомерный состав алкилпродуктов позволяют судить данные, приведенные в табл. 2.

При скорости 4 час⁻¹, температуре 200°C и давлении 5 атм соотношение 1,2,3,4 : 1,2,3,5 : 1,2,4,5-изомеров составляет ≈2,8:3,4:3,8. Уменьшение скорости подачи сырья до 0,5 час⁻¹ способствует, по-видимому, частичной изомеризации 1,2,3,4—в 1,2,4,5 и 1,2,3,5-изомеры. Аналогичное влияние оказывает повышение температуры со 160 до 250°C и увеличение отношения пропилена к этилметаксилолу.

Полученные данные показывают, что при сравнительно невысоких температурах (~200°C) алкилирование этилметаксилола пропиленом над алюмосиликатами протекает легко и приводит к образованию главным образом изопропилэтилдиметилбензолов.

Выводы

- Исследовано алкилирование этилметаксилола пропиленом в присутствии синтетических алюмосиликатов.
- Изучено влияние температуры, давления, скорости подачи и соотношения компонентов сырья на выход и изомерный состав изопропилэтилметаксилолов.
- Найдены условия синтеза mono- и дизопропилэтилметаксилолов.

ЛИТЕРАТУРА

1. Мамедалиев Ю. Г., Мамедалиев Г. М., Алиев С. М., Гусейнов Н. И. Азерб. хим. ж., № 1, 39—54, 1961.
2. Мамедалиев Ю. Г., Мамедалиев Г. М., Алиев С. М., Гусейнов Н. И., Гаджиев Г. Г. Азерб. хим. ж., № 2, 3—9, 1962.
3. Мамедалиев Ю. Г., Мамедалиев Г. М., Алиев С. М., Гусейнов Н. И. Производство бензола. Госхимиздат, 1962.
4. Мамедалиев Ю. Г., Мамедалиев Г. М., Алиев С. М., Гусейнов Н. И. Азерб. хим. ж., № 3, 10, 1963.
5. Применение спектроскопии в химии под ред. В. Веста. ИЛ, 1959.
6. Беллали Л. Инфракрасные спектры сложных молекул. 1963, 113—122.

ИНХП

Поступило 26. VI 1967

С. М. Элиев, Р. Н. Исмаилов, Н. И. Гусейнов, Н. М. Меммэдэлиев,
Р. И. Гусейнов

Алумосиликат катализаторунун иштиракы илэ етилеметаксилолун пропиленлэ алкиллэшмэси

ХУЛАСЭ

Синтетик алумосиликат катализаторунун иштиракы илэ этилеметаксилолун пропиленлэ алкиллэшмэси тәдгиг едилмишdir.

Изопропилеметаксилолун чыхымы вә изомер тәркибинө температурун, тәэзүгүн, мәңсулун верилмә сүр'этинин, реаксија үчүн көтүрүлән компонентләрин нисбәтичин тә'сири өјрәнилмишdir.

АЗЭРБАЙЧАН ССР ЕЛМЛӘР АКАДЕМИЈАСЫНЫН МӘРҮЗӘЛӘРИ

ДОКЛАДЫ АКАДЕМИИ НАУК АЗЕРБАЙДЖАНСКОЙ ССР

ТОМ XXIII

№ 8

1967

ОРГАНИЧЕСКАЯ ХИМИЯ

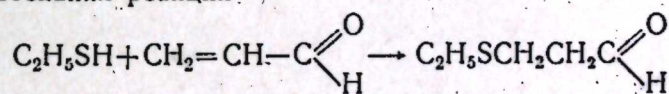
О. А. НАРИМАНБЕКОВ, П. Х. ИСМАИЛОВ, С. Д. МЕХТИЕВ

КОНДЕНСАЦИЯ АКРОЛЕИНА С ЭТИЛМЕРКАПТАНОМ

Конденсация α - β -непредельных альдегидов с метилмеркаптаном и фенилметилмеркаптаном [1], как сообщали об этом Ч. Д. Хэрд и Л. Л. Гершбейн, может быть осуществлена в присутствии метоксида Na с образованием соответствующих меркаптоалканов. С другой стороны [2,3], полагают, что акролеин конденсируется с сероводородом до алкаталя в противоположность кротоновому альдегиду, медленно реагирующего с H_2S даже при $65^\circ C$ с выделением β -тиодибутиальдегида [4].

В настоящей работе представлены результаты исследования реакции конденсации акролеина с этилмеркаптаном.

Как видно из формулы приближенного интегрирования для термодинамической зависимости $K_t = f(T)$, рассчитанной по эмпирически вычисленным функциям: $K_t = \frac{2,975}{T} - 4,465$ термодинамическая вероятность протекания реакции



в интервале 0 — $30^\circ C$ высока.

ЭКСПЕРИМЕНТАЛЬНАЯ ЧАСТЬ

Конденсацию осуществляли в статической системе с контролем температуры. Акролеин конденсируется с этилмеркаптаном в отсутствие катализатора при комнатной температуре с заметным выделением тепла. При этом в качестве единственного продукта реакции образуется β -этилмеркаптопропаналь, структура которого подтверждается ИКС-спектром (рис. 1); диаграмма этого спектра (призма $NaCl$) характеризуется наличием интенсивной полосы поглощения 1715 cm^{-1} , соответствующей карбонильной группе, но не содержит полос 1860 — 1800 и 1645 cm^{-1} , отвечающих винильной группе.

Аддукт конденсации, о получении и свойствах которого нет каких-либо сообщений, имеет следующие константы: $t_{\text{кип.}} = 81$ — $82^\circ C/16\text{ mm}$, $d_4^{20} = 1,0002\text{ g/cm}^3$, $n_D^{20} = 1,4973$.

Для изучения кинетики реакции процесс осуществляли в паровой емкости с капиллярной трубкой; о ходе реакции судили по изменению объема системы, пользуясь выражением:

$$x = \frac{\Delta V}{M_A d_A + M_B d_B - M_C d_C}$$

где x —число молей аддукта конденсации;

M_A , M_B , M_C —молярные массы акролеина, этилмеркаптана и β -этилмеркапто-пропаналя;

d_A , d_B , d_C —удельные веса тех же продуктов при данной температуре;

ΔV —изменение объема системы.

Исследование кинетики реакции показало, что в случае избыточного содержания одного из исходных компонентов процесс удовлетворительно описывается уравнением константы скорости реакции первого порядка (рис. 2):

$$K_1 = \frac{1}{t} \ln \frac{A_0}{A},$$

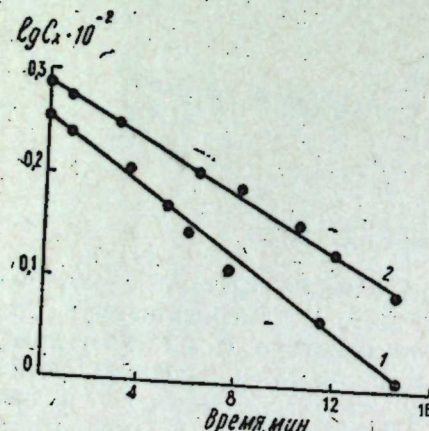


Рис. 1. ИКС-спектр аддукта конденсации акролеина с этилмеркаптаном (призма NaCl).

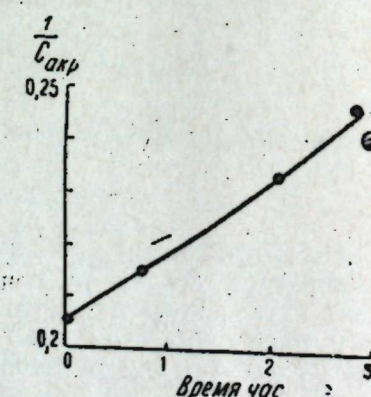


Рис. 2. Определение порядка реакции конденсации акролеина с этилмеркаптаном по компонентам.
1 — акролеин: меркаптан 1:5, тем-ра 20°C, кол-во биоксана — 50% от веса реагентов; 2 — акролеин: меркаптан 5:1, тем-ра 20°C, кол-во биоксана — 50% от веса реагентов.

Рис. 3. Определение общего порядка реакции конденсации акролеина с этилмеркаптаном (10°C, акролеин : этилмеркаптан 1:1, кол-во бензола — 50% от веса реагентов).

а при стехиометрическом соотношении акролеина и этилмеркаптана ему соответствует уравнение (рис. 3):

$$K_2 = \frac{1}{t} \left(\frac{1}{A} - \frac{1}{A_0} \right),$$

где A_0 и A —начальная и текущая концентрации соответственно.

Осуществление конденсации в различных растворителях (табл. 1) показало, что скорость реакции уменьшается с выбором растворителя

Таблица 1

Влияние природы растворителя на реакцию конденсации акролеина с этилмеркаптаном*

Растворитель	Константа скорости реакции $K_1 \frac{1}{\text{час}}$
1. Диоксан	2,38
2. Бензол	0,264
3. Нитрометан	0,118
4. Н. гептан	0,056

* Опыты проводили при молярном отношении акролеин: меркаптан 1:5, температура 20°C, количество растворителя—50% от веса исходной смеси.

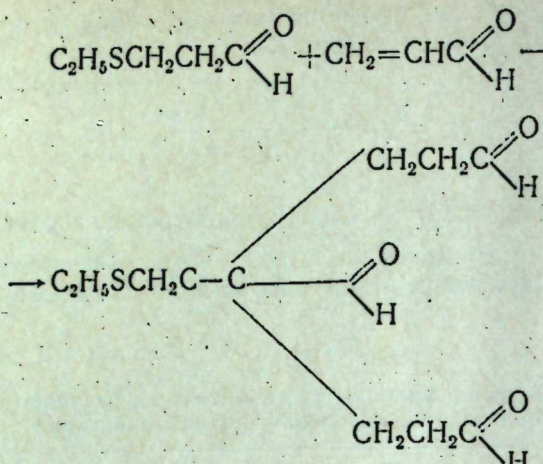
Таблица 2

Конденсация акролеина с этилмеркаптаном в присутствии анионита АВ-16*

Количество АВ-16, % от исходной смеси	Выход продуктов конденсации, г $C_2H_5SCH_2CH_2C(=O)NH$	Вышие продукты
0,5	34,5	3,0
1,0	36,3	5,85
2,5	30,3	15,9
5,0	24,6	17,1
10,0	18,35	18,5

* Опыты проводили при 25°C, молярном отношении акролеин: этилмеркаптан 1:1 (по 0,5 гмоль), продолжительности 1 час.

в ряду: диоксан > бензол > нитрометан > н.гептан. С введением в систему основного катализатора—анионита АВ-16 изменяется характер продуктов конденсации; в жидких продуктах содержатся высококипящие аддукты конденсации (фракция 178>180°C) 5 мм рт. ст.) Увеличение количества ионита приводит к повышению выхода последних (табл. 2), представляющих, по всей вероятности, продукты дальнейшей конденсации этилмеркаптопропальдегида с акролеином:



Выводы

- Исследована реакция конденсации акролеина с этилмеркаптаном в отсутствие катализатора.
- Введение в реакционную систему основного катализатора приводит к образованию высших продуктов конденсации.

ЛИТЕРАТУРА

1: Hurd C. C., Gershbein L. L. J. am. chem. Soc. 69, 2328, 1947. 2. Reut et al. Bull. Soc. Chim., 29, 41, 1921. 3. Borgeson. J. am. chem. Soc., 51, 1454, 1929. 4. Gershbein L. L., Hurd C. C. J. am. chem. Soc., 69, 241, 1947.

ИНХП

Поступило 27. I. 1967

О. А. Нәриманбәјов, П. Х. Исмаїлов, С. Ч. Мәңдиев

Етилмеркаптаннын акролеин илә конденсләшмәсі

ХУЛАСӘ

Мәгаләдә етилмеркаптаннын акролеин илә конденсләшмә реаксијасы тәдгигиниң иәтичәләри верилмишdir. Мә’лумдур ки, гәләви катализаторларын иштиракы илә меркаптандар әкрил түршусунун төрәмәләри илә ади механизм үзрә, я’ни икигат рабите үзрә конденсләшир. Лакин әф-дојмамыш алдеңидләрлә конденсләшмә заманы алынан мәһсулларын харәтери там аյдынашмамышдыр.

Мәгаләдәки иәтичәләр көстәрик ки, акролеинни етилмеркаптана катализаторсуз конденсләшdirдикдә йалныз јеканә конденсасија аддукту һе етилмеркаптопропалдеңид алыныр ки, бу да ИГС спектриндә тәсдиғ едилмишdir.

Компонентләрин бирини артыгламасы илә көтүрдүкдә реаксија бирдәрәчәли реаксијанын сүр’эт константы тәнлижинә уйғун кәлир, анчаг компонентләри стехиометрик иисбәтдә көтүрдүкдә реаксија ики дәрәчәли реаксијанын сүр’эт константынын тәнлижи чаваб верир.

Мәгаләдә мұхтәлиф тәбиәтли һәлледичиләрин реаксија тә’сири-нин иәтичәләри, еләчә дә системә гәләви катализатору әлавә етдикдә конденсасија аддуктуни харәтеринә тә’сири көстәрилмишdir.

Р. Г. ИСМАЙЛОВ, С. М. АЛИЕВ, Ш. С. ВЕЗИРОВ

АЛКИЛИРОВАНИЕ ЭТИЛТОЛУОЛА ЭТИЛЕНОМ В ПРИСУТСТВИИ СИНТЕТИЧЕСКИХ АЛЮМОСИЛИКАТОВ

Диэтилтолуолы служат ценным сырьем для синтеза новых мономеров—дивинилтолуола и винилэтилтолуола [1,2], а также для трехосновных ароматических кислот и их ангидридов. Наиболее удобным методом синтеза диэтилтолуолов является алкилирование толуола этиленом. В целях улучшения избирательности реакции алкилирования и увеличения съема диэтилтолуолов с единицы объема реактора нами был изучен двухступенчатый процесс синтеза диэтилтолуолов.

Первая ступень—алкилирование толуола этиленом—описана нами в работах [1, 3]. В настоящем сообщении приводятся результаты исследований второй ступени—алкилирования этилтолуола этиленом над алюмосиликатами.

ЭКСПЕРИМЕНТАЛЬНАЯ ЧАСТЬ

В качестве сырья был использован этилтолуол, полученный на укрупненно-опытной установке алкилированием толуола этиленом над алюмосиликатами. Выделенный из алкилата многократной четкой ректификацией этилтолуол выкипал в пределах 160—167°C; n_D^{20} —1,4980; изомерный состав 26% орто-, 35% мета-, 39% парагтилтолуола (по данным спектрального анализа). Этилен, полученный низкотемпературным фракционированием газов пиролиза во ВНИИолефинов имел степень чистоты 99,9%. В качестве катализатора использовались промышленные синтетические алюмосиликаты (производство завода НБНЗ).

Алкилирование изучалось на лабораторной установке с проточным реактором под давлением. Алкилаты подвергались хроматографическому анализу на хроматографе ХЛ-4 при температуре 140°C.

Колонка ($l=3$ м, $d=8$ мм) была заполнена изненским кирпичом, пропитанным трикрезилfosфатом (25%). Расход газа-носителя гелия составлял 5,5 л/час. Выделение диэтилтолуолов проводилось с помощью четкой ректификации на колонке с эффективностью 30—35 т. т.

Было изучено влияние температуры, давления, скорости подачи сырья, соотношения компонентов на выход и состав алкилатов. Полученные данные приведены в табл. 1.

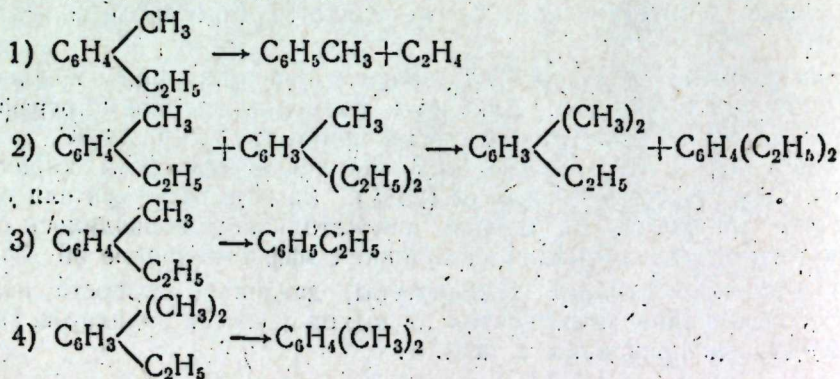
Таблица 1

№ опытов

Показатели	№ опытов										
	1	2	3	4	5	6	7	8	9	10	11
Условия опыта:											
Температура, °С	300	275	250	250	250	250	250	250	300	300	
Давление, атм	5	5	5	25	15	3	5	5	5	5	
Скорость, час ⁻¹	1	1	1	1	1	0,5	1,5	1	1	1	
Соотношение компонентов, моль	4:1	4:1	4:1	4:1	4:1	4:1	4:1	1:1	2:1	1:1	
Состав алкилата, вес. %											
Толуол	0,84	1,09	1,03	0,25	0,47	0,74	1,27	0,9	0,98	1,64	1,01
Этилбензол+и-ксилол	2,39	0,73	—	0,67	0,58	0,74	0,56	0,51	0,63	0,62	0,87
Ортоксилол	1,36	—	—	0,16	0,10	0,16	0,10	Следы	0,16	Следы	Следы
Этилтолуол	64,25	75,09	77,24	86,34	84,13	88,16	86,02	89,86	84,05	63,49	66,69
Этилметаксилол+ди-этилбензол	5,32	6,00	3,93	3,78	3,80	2,51	0,87	Следы	1,15	1,14	1,70
Диэтилтолуол	25,63	17,09	17,80	8,8	10,92	7,69	11,18	8,73	13,04	33,10	29,73
Материалный баланс, вес. %											
Алкилат	97,3	97,0	96,9	95,4	94,9	95,0	95,4	94,8	83,4	92,1	85,4
Газ	0,8	1,4	1,5	3,0	3,3	3,4	3,0	3,6	15,0	6,0	13,0
Кокс*	1,3	0,8	0,8	0,9	0,8	0,7	1,0	0,6	0,9	0,9	1,0
Потери	0,6	0,8	0,8	0,7	1,0	0,9	0,6	1,0	0,7	1,0	0,6

* Включая тяжелые продукты алкилирования и конденсации.

По мере повышения температуры от 250 до 300°С выход диэтилтолуолов растет. Повышение давления до 5 атм благоприятствует реакции алкилирования, однако дальнейшее увеличение давления до 15–25 атм не улучшает показателей процесса. Максимальный выход диэтилтолуолов достигается при скорости 1 час⁻¹; изменение скорости подачи сырья как в сторону увеличения, так и в сторону уменьшения приводит к снижению выхода целевого продукта. Увеличение молярного соотношения этилтолуола и этилена от 1:4 до 1:1 при 250°С не приводит к увеличению выхода диэтилтолуолов, в то время как при 300°С такое изменение соотношения компонентов в исходной смеси сопровождается повышением концентрации диэтилтолуолов в продуктах реакции. Во всех случаях алкилаты наряду с этилтолуолом и диэтилтолуолом содержат толуол, этилбензол, ксиол, диэтилбензол и этилметаксилол, образующиеся в результате деалкилирования и межмолекулярного перераспределения метильных и этильных групп:



При найденных оптимальных условиях алкилирования (температура—250–300°С, давление—5 атм, скорость подачи сырья—1 час⁻¹, соотношение этилтолуол: этилен 4:1—2:1 моль) количество побочных продуктов не превышало 3,5–5%. Выход диэтилтолуолов составляет 18–33 вес.% на алкилат. При 250°С и соотношении этилтолуол: этилен 4:1 конверсия этилена и этилтолуола составляла соответственно 74,1 и 20,5%. При тех же условиях повышение температуры до 300°С увеличивает конверсию указанных компонентов до 86,2 и 34%. В исследуемых условиях алкилирования изменение изомерного состава этилтолуолов практически не происходит (орто—26–28%, мета—34–36%, пара—37–39%). Влияние условия алкилирования на изомерный состав диэтилтолуолов приводится в табл. 2. Увеличение

Таблица 2

Температура, °С	Давление, атм	Скорость подачи сырья, час ⁻¹	Соотношение этилтолуол: этилен, моль	Изомеры диэтилтолуола		
				1-метил, 3,5-диэтилбензол	1-метил, 2,4-диэтилбензол	1-метил, 3,4-диэтилбензол
300	5	1	4:1	33,77	38,08	28,15
275	5	1	4:1	30,00	39,83	30,17
250	5	1	4:1	21,62	43,43	34,95
250	25	1	4:1	15,54	45,45	39,01
250	3	1	4:1	22,92	46,77	30,31
250	5	0,5	4:1	20,00	44,32	35,68
250	5	1	1:1	12,75	43,21	44,04
300	5	1	2:1	35,30	42,1	22,6
300	5	1	1:1	34,5	38,89	26,6

температуры и отношения этилтолуола к этилену, а также снижение давления приводит к повышению концентрации 1-метил, 3,5-диэтилбензола и, наоборот, снижению концентрации 1-метил, 3,4-диэтилбензола в смеси изомеров. Концентрация 1-метил, 2,4-диэтилбензола при этом колеблется в пределах 38–46%. Таким образом, в отличие от этилтолуолов диэтилтолуолы в условиях алкилирования изомеризуются. Из алкилатов характерных опытов с помощью четкой ректификации были выделены диэтилтолуольные фракции, характеристика которых приводится в табл. 3.

Таблица 3

Пределы кипения фракций, °С	Характеристика фракций			
	Изомерный состав			
	1-метил, 3,5-диэтилбензол	1-метил, 2,4-диэтилбензол	1-метил, 3,4-диэтилбензол	
197–199	1,5007	0,8740	48,7	34,2
199–201	1,5024	0,8757	39,5	38,7
201–203	1,5011	0,8745	44,9	32,7
203–205	1,5032	0,8768	33,1	46,4
205–207	1,5045	0,8771	21,1	42,6
				36,3

Выводы

- Исследовано алкилирование этилтолуола этиленом в присутствии синтетических алюмосиликатов.
- Изучено влияние температуры, давления, скорости, соотношения на выход и углеводородный состав алкилатов и установлено, что при 300°C , 5 атм, скорости 1 час⁻¹ и соотношении этилтолуол : этилен 2:1 выход диэтилтолуолов составлял 33,1% на алкилат.
- Показано, что реакции алкилирования этилтолуолов сопутствует деалкилирование, внутри- и межмолекулярное перераспределение метильных и этильных групп.

ЛИТЕРАТУРА

- Исмаилов Р. Г., Алиев С. М., Мамедалиев Г. М., Гусейнов Н. И., Везиров Ш. С. Азербайджанское нефтяное хозяйство 1967, № 1. 2. Алиев С. М. Исследование в области гетерогенно-катализического синтеза и превращения алкилароматических углеводородов и их оксипроизводных. Автореф. дисс. Баку, 1965. 3. Алиев С. М., Мамедалиев Г. М., Гусейнов Н. И. и др. Азерб. хим. ж., 1963, № 3.

ИНХП

Поступило 11. V 1967

Р. Г. Исмаилов, С. М. Элиев, Ш. С. Вэзиров

Синтетик алюмосиликат катализатору иширакында этилтолуолун этиленлә алкилләшмәси

ХУЛАСӘ

Алкилләшмәјә мүхтәлиф факторларын тә'сир иөрәниләрәк мүәҗән едилмишdir ки, 300°C температурда, 5 атмосфер тәэзигдә, 1 saat⁻¹ сүр'этдә вә этилтолуолла этиленин иисбәти 2:1 олдугда диэтилтолуолун чыхымы 33,1% тәшкүл едир.

ОРГАНИЧЕСКАЯ ХИМИЯ

М. А. АШИМОВ, М. А. МУРСАЛОВА

ВЛИЯНИЕ АКТИВИРУЮЩИХ ДОБАВОК НА МОЮЩУЮ СПОСОБНОСТЬ ДИАЛКИЛБЕНЗОЛСУЛЬФОНАТОВ

(Представлено академиком АН Азербайджанской ССР А. М. Кулевым)

Известно, что наиболее качественным сырьем для получения синтетических моющих средств на основе алкиларилсульфонатов являются додецил-тетрадецилбензолсульфонаты; использование ди- и триалкилбензолсульфонатов в моющих композициях считается нецелесообразным.

Свойства диалкилбензолсульфонатов изучены недостаточно, а известные работы посвящены в основном исследованию растворов чистых веществ без активирующих добавок [1, 2, 3].

Как показали исследования М. А. Ашимова с сотрудниками, диалкиларилсульфонаты с длиной каждой алкильной цепи C_6-C_7 по поверхностной активности и моющему действию незначительно отличаются от амил-гептилбензолсульфонатов; в композиции с оптимальным количеством фосфатов, КМЦ и карбонатов свойства указанных веществ приближаются к децил-тетрадецилбензолсульфонатам [4].

В связи с этим изучение влияния электролитов и других активирующих добавок на моющую способность и поверхности-активные свойства диалкилбензолсульфонатов вызывает большой интерес.

В настоящей статье выведены закономерности изменения моющей способности растворов диалкилбензолсульфонатов в зависимости от длины цепи углеводородных радикалов, характера активирующих добавок и их содержания в растворе.

Были исследованы метилалкил-, этилалкил-, изопропилалкилбензолсульфонаты с длиной цепи второго алкильного радикала 6—9 углеродных атомов, а также диамил-, дигексил-, дигентилбензолсульфонаты.

Ряд гомологов диалкилбензолсульфонатов был получен нами с использованием толуола, этилбензола, изопропилбензола и фракций крекинг парафинов, содержащих соответствующие α -олефины нормального строения.

Синтез последних трех диакилбензолсульфонатов был проведен нами на основе первичных спиртов [6].

Исследования проводились с поверхности-активными веществами 100%-ной чистоты.

Концентрация водных растворов диалкилбензолсульфонатов в проведенных опытах составляла 0,25%, количество активирующих добавок—10—300% в расчете на содержание активного вещества в растворе.

Изучено влияние карбоната натрия, триполифосфата натрия, сульфата натрия, метасиликата натрия и карбоксиметилцеллюлозы на моющую способность растворов синтезированных диалкилбензолсульфонатов в жесткой воде (15°H).

Стирка проводилась в стиральной машине типа „Лаундерометр“ при 50°C на искусственно загрязненной ткани (миткаль) по стандартной лабораторной методике [5].

Моющая способность исследованных растворов диалкилбензолсульфонатов выражалась в процентах относительно моющей способности 0,25%-ного раствора алкилсульфата на основе кокосового масла.

Нами установлено, что основные изменения коллоидно-молекулярного состояния растворов под влиянием активирующих добавок происходит при содержании последних в исследуемых растворах до 100%, при последующем увеличении концентрации добавок свойства растворов изменяются незначительно.

В связи с этим низкая область концентраций активирующих добавок (10—100%) изучена более подробно: при изменении содержания добавок в растворе на каждые 20%.

Результаты исследования представлены графически.

Установлено, что в каждом из исследованных растворов диалкилбензолсульфонатов в зависимости от величины алкильного радикала и характера применяемых добавок проявляются вполне определенные значения минимума моющей способности при низких концентрациях добавок и максимума при более высоком содержании последних.

Добавление к моющим растворам более 100—150% электролитов нецелесообразно, т. к. они практически не изменяют величину моющей способности.

Отрицательное влияние исследованных электролитов при низких концентрациях на моющую способность растворов диалкилбензолсульфонатов объясняется образованием нерастворимых и малорастворимых минеральных солей при взаимодействии электролитов с солями жесткой воды.

Вследствие осаждения этих солей на ткани, глубокого проникновения тонких осадков в поры и трудности их удаления моющий эффект растворов оказывается хуже, чем у 100%-ных активных веществ без активирующих добавок.

Из двух диалкилбензолсульфонатов с одинаковым числом углеродных атомов лучшей моющей способностью в чистом виде и в присутствии электролитов обладает соединение с более длинными алкильным радикалами.

Диамил- и дигексилбензолсульфонаты в чистом виде имеют моющую способность 27,0 и 39,5%, в присутствии оптимального количества карбоната натрия моющая способность этих растворов повышается соответственно до 80 и 84%.

Равные им по числу атомов углерода соединения—метил и изопропилбензолсульфонаты имеют более высокую моющую способность в чистом виде—72 и 98% и в присутствии карбоната натрия—105 и 110%.

Найдено, что низкомолекулярные соединения обладают высокой приемистостью к активирующим добавкам, и поэтому моющая способность их растворов в присутствии электролитов повышается на

значительно большую величину, чем у растворов высокомолекулярных диалкилбензолсульфонатов.

Так, среднее максимальное увеличение моющей способности метил-, этил-, изопропилбензолсульфонатов в присутствии карбоната натрия (рис. 1) составляет 280—300%, метил-, этил-, изопропилбензолсульфонатов—30—50%, в присутствии триполифосфата натрия (рис. 2) соответственно для низкомолекулярных соединений—до 400%, для высокомолекулярных соединений—60—70%.

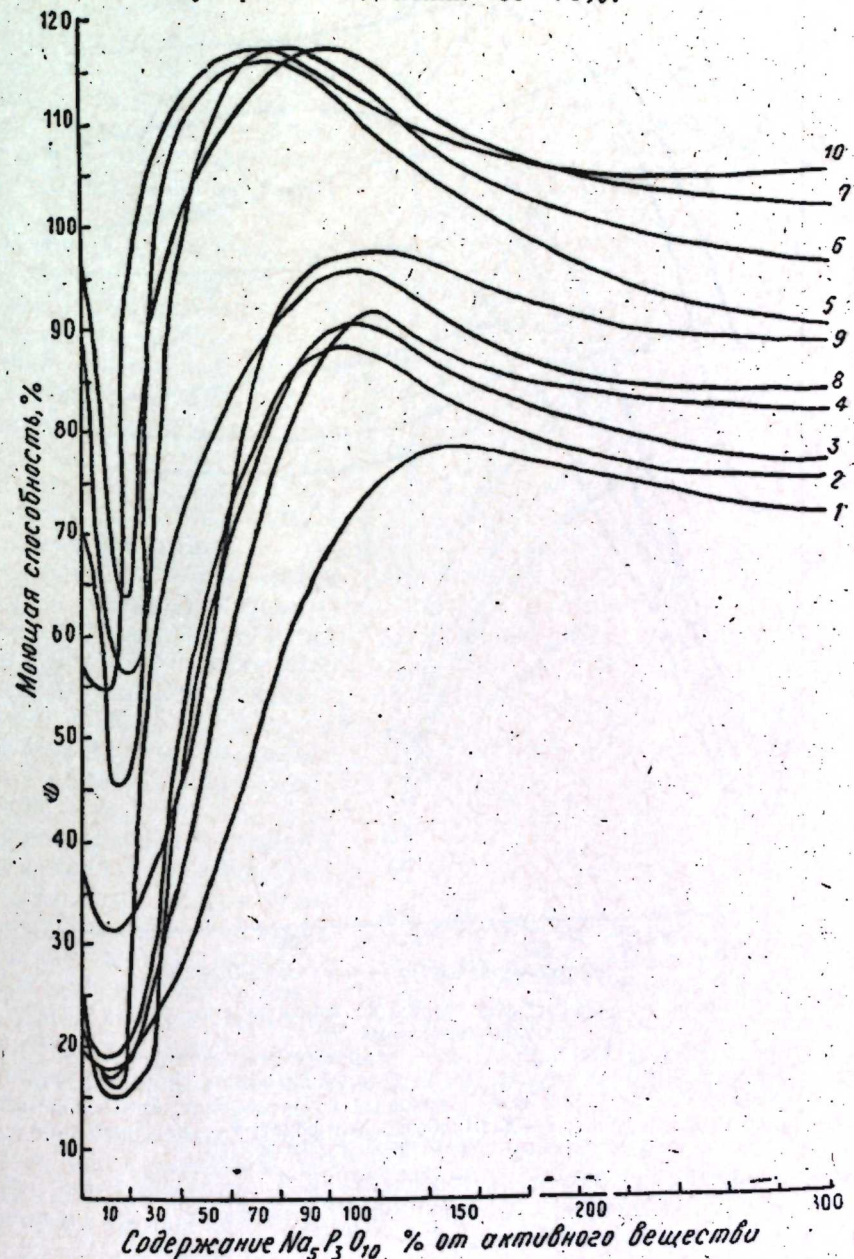


Рис. 1. Влияние карбоната натрия на моющую способность диалкилбензолсульфонатов.

1 — метилбензолсульфонат; 2 — этилбензолсульфонат;
3 — изопропилбензолсульфонат; 4 — метилгептилбензолсульфонат;
5 — метилнонилбензолсульфонат; 6 — этилнонилбензолсульфонат; 7 — изопропилнонилбензолсульфонат; 8 — диамилбензолсульфонат; 9 — дигексилбензолсульфонат; 10 — дигептилбензолсульфонат.

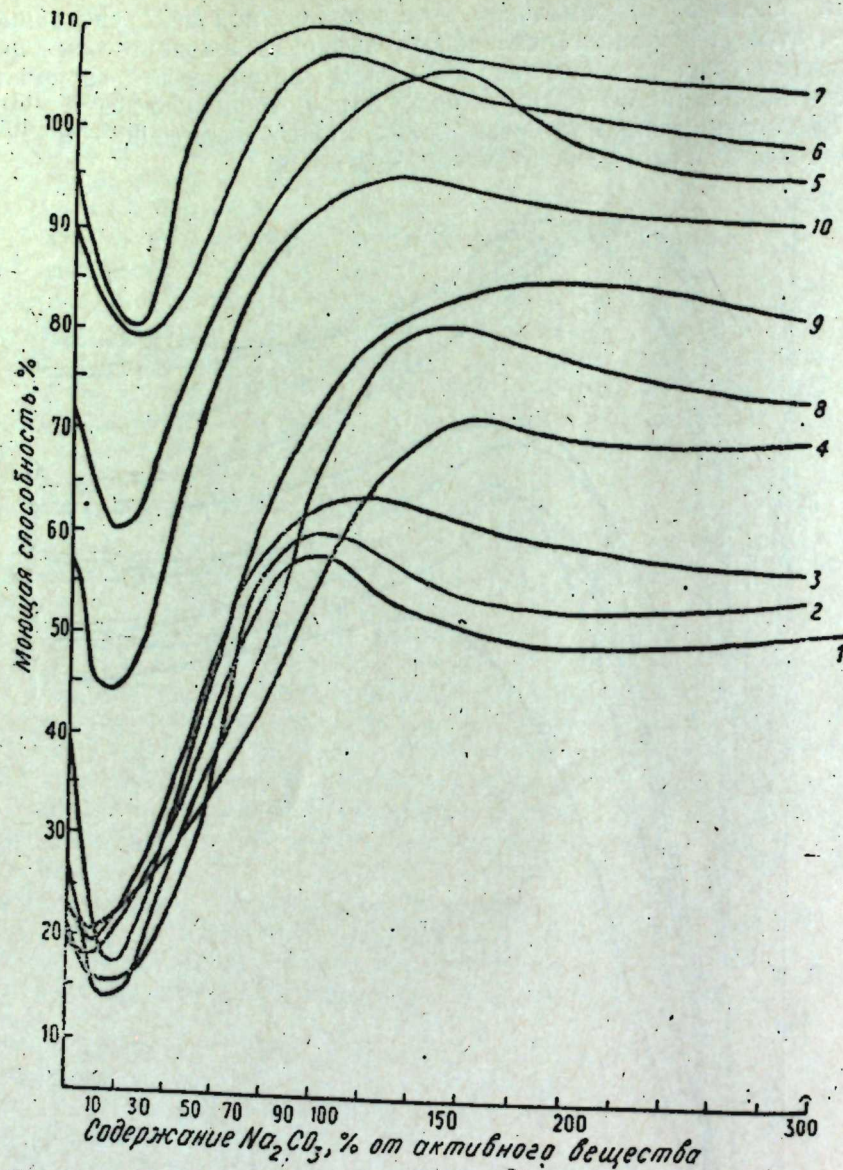


Рис. 2. Влияние триполифосфата натрия на моющую способность диалкилбензолсульфонатов.

1 — метилгексилбензолсульфонат; 2 — этилгексилбензолсульфонат; 3 — изопропилгексилбензолсульфонат; 4 — метилпентилбензолсульфонат; 5 — метилионилбензолсульфонат; 6 — этилонионилбензолсульфонат; 7 — изопропионилбензолсульфонат; 8 — диамилбензолсульфонат; 9 — дигексилбензолсульфонат; 10 — дигентилбензолсульфонат.

Сульфат натрия является малоэффективной добавкой к растворам диалкилбензолсульфонатов, незначительно повышающим их моющую способность.

Метасиликат натрия по эффективности действия на моющую способность растворов диалкилбензолсульфонатов несколько уступает триполифосфату натрия.

Характер влияния КМЦ на моющую способность диалкилбензолсульфонатов отличен от действия электролитов (рис. 3).

С увеличением содержания КМЦ в моющем растворе до определенной для каждого соединения концентрации моющее действие диалкилбензолсульфонатов повышается, а затем остается практически постоянным.

Подобно электролитам КМЦ является значительно более эффективной добавкой для низкомолекулярных соединений, чем для высокомолекулярных.

Последнее связано, по-видимому, со значительным усилением слабовыраженных коллоидных свойств растворов низкомолекулярных диалкилбензолсульфонатов.

Моющая способность метил-, этил-, изопропилгексилбензолсульфонатов в присутствии КМЦ максимально увеличивается на 300—320%, метил-, этил-, изопропилионилбензолсульфонатов — только на 15—20% относительно моющей способности растворов чистых активных веществ.

Однако высокомолекулярные соединения достигают максимума моющей способности при значительно более низких концентрациях КМЦ — 30—40%, а низкомолекулярные соединения — при 70—80% добавки.

При сравненииmono- и диалкилбензолсульфонатов с одинаковым числом углеродных атомов отмечено, что в чистом виде растворы monoалкилбензолсульфонатов обладают более высокой моющей способностью, чем соответствующие им ди-соединения, а композиции с активирующими добавками одного порядка.

Моющая способность растворов додецилбензолсульфонатов равна 105%, изопропилионилбензолсульфонатов — 98%, в присутствии триполифосфата натрия максимальная моющая способность достигает 122% и 118% соответственно.

Последнее позволяет рекомендовать диалкилбензолсульфонаты наряду с monoалкилбензолсульфонатами для использования в композициях стиральных порошков, жидкостей и паст. Исследования эффекта синергизма в композициях диалкилбензолсульфонатов и смеси последних с monoалкилбензолсульфонатами будут опубликованы.

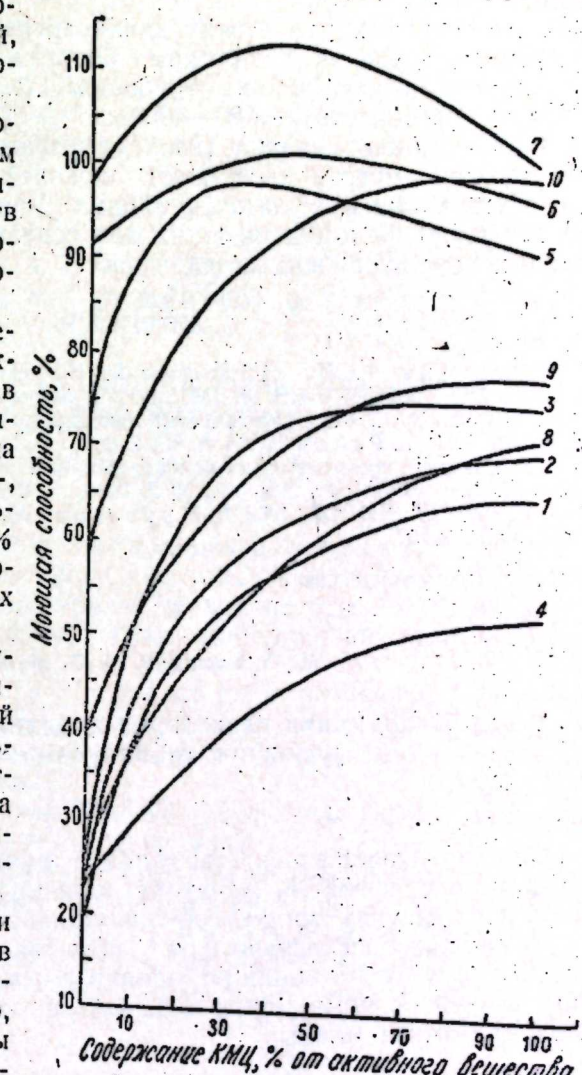


Рис. 3. Влияние карбоксиметилцеллюлозы на моющую способность диалкилбензолсульфонатов.

(Обозначения те же, что на рис. 2).

Выводы

1. Исследовано влияние карбоната натрия, сульфата натрия, триполифосфата натрия, метасиликата натрия, КМЦ на моющую способность ряда диалкилбензолсульфонатов с числом углеродных атомов в алкильных цепях 7–14.

2. Установлено, что в ряду диалкилбензолсульфонатов низкомолекулярные соединения с короткими боковыми цепями обладают высокой приемистостью к активирующему добавкам, повышающим их моющую способность на 300–400%.

3. Композиции диалкилбензолсульфонатов с активирующими добавками практически достигают моющей способности композиций соответствующих высокомолекулярныхmonoалкилбензолсульфонатов, что позволяет рекомендовать их для использования в рецептурах стиральных порошков, жидкостей и паст.

ЛИТЕРАТУРА

- Неволин Ф. В., Никишин Г. Н., Петров А. Д., Краль-Осипкина Г. А., Воробьев В. Д. „Маслобойно-жировая промышленность“, № 7, 1959.
- Файигольд С. И. Синтетические моющие средства из нефтяного и сланцевого сырья. Л., 1964.
- Рабинович А. Ю. Синтетические поверхности-активные вещества и моющие средства на их основе. М., 1958.
- Ашимов М. А., Мурсалова М. А. и др. Азерб. хим. ж., № 2, 1964.
- Единые методы анализа и оценки моющих средств. ВНИИЖ, 1962.
- Мурсалова М. А. Канд. дисс. Баку, ИНХП АН Азерб. ССР, 1965.

Институт нефтехимических процессов

Поступило 16. III 1967

М. Э. Ыашимов, М. Э. Мурсалова

Активлэшдиричи әлавәләрин диалкилбензолсульфонатын јујучулуг габилијјэтинә тә'сири

ХУЛАСЭ

Мәгалә мүәллифләри тәрәфиндән мүхтәлиф әлавәедициләрин диалкилбензолсульфонатын јујучулуг габилијјэтинә олан тә'сирини дәжишилмәси ганунаујгүнлүгу өјрәнилмишdir.

Диалкилбензолсульфонатлара активлэшдиричиләр әлавә етдикдә онларын јујучулуг габилијјэтләринин јүксәлмәси мүшәнидә едилмишdir. Бу исә онларын јујучу тоз, маје вә паста ресептләринә дахија олмасына имкан јарадыр.

АЗӘРБАЙЧАН ССР ЕЛМЛӘР АКАДЕМИЈАСЫНЫН МӘРҮЗӘЛӘРИ

ДОКЛАДЫ АКАДЕМИИ НАУК АЗЕРБАЙДЖАНСКОЙ ССР

ТОМ XXIII

№ 8

1967

БУРЕНИЕ

А. А. ШАМСИЕВ, Т. Х. СУЛЕЙМАНОВ, В. Т. КУЛИЕВ

КОМПРЕССИОННЫЕ СВОЙСТВА ГЛИН ПРИ ВЫСОКОЙ УДЕЛЬНОЙ НАГРУЗКЕ

(Представлено академиком АН Азербайджанской ССР С. М. Кулиевым)

Компрессионные свойства глин при малой осевой нагрузке [1, 2, 3] хорошо изучены. Имеются также некоторые данные по компрессионному уплотнению глин при высокой осевой нагрузке. Работы по полным компрессионным свойствам глин при высокой нагрузке отсутствуют.

Постановка такой работы предполагает цель: установить, не претерпевают ли изменения законы компрессионного уплотнения и набухания глин в условиях высокой удельной нагрузки и имеются ли пределы компрессионного уплотнения?

Кроме того, для различных целей требуется знание влажности глин при различных глубинах их залегания.

Для выяснения этих вопросов были проведены экспериментальные работы для изучения полной компрессии глин при удельной нагрузке до $500 \text{ кг}/\text{см}^2$ и диаметре одометра 35,7 мм и компрессионного уплотнения глин при удельной нагрузке до $2500 \text{ кг}/\text{см}^2$ и диаметре одометра 20 мм на специально изготовленном для этой цели компрессионном приборе, подобно описанному в работе [4] и рассчитанном на более высокую удельную нагрузку.

Опыты проводились на образцах следующих глин: средний ашерон (карачухурская), агчагыл (бабиэйбатская), бентонитовая (гумбрин), почвистическая (бинагадинская) при удельных нагрузках 0,5, 1, 2, 4, 8, ..., 512 $\text{кг}/\text{см}^2$ и 100, 300, 500, 1000, 2000 и $2500 \text{ кг}/\text{см}^2$.

Характеристика этих глин приведена в таблице.

Результаты опытов в виде графиков в координатах: ϵ —коэффициент пористости и P —удельная нагрузка как для ветви уплотнения, так и для ветви набухания приведены на рис. 1 и 2.

На рис. 3 приведены результаты опытов по компрессионному уплотнению глин при удельной нагрузке до $2500 \text{ кг}/\text{см}^2$.

Опыты показывают, что:

- обе ветви компрессионной кривой имеют такие же очертания, как и при низкой осевой нагрузке,—логарифмические;
- слияние кривых уплотнения и набухания не имеет места и явление гистерезиса сохраняется вплоть до удельной нагрузки $500 \text{ кг}/\text{см}^2$;

№ обр.	Глина	Гранулометрический состав, %					Карбонатность, %	Название глины	Гигроскопическая влажность, %	Удельный вес, г/с.м³	Максимальная молекулярная влажность	Пластичность		
		0,25	0,25—0,1	0,1	0,1—0,01	0,01						Верхний предел	Нижний предел	Число пластичности
1	Карачухурская	0,10	3,26	3,36	18,00	78,64	6,0	Алевритовая глина	5,5	2,79	25,00	46,98	25,00	21,98
2	Бийский бентонитовая	0,19	7,24	7,43	11,0	81,47	12,0	Глина	4,3	2,75	23,07	46,38	23,07	23,26
3.	(гуммиевая)	—	7,16	7,16	10,0	82,84	10,6	Глина	4,9	2,76	33,33	57,56	33,33	24,23
4	Понтическая	0,28	15,9	16,18	35,3	48,62	5,1	Суглинок	3,7	2,79	23,07	47,72	23,08	24,65

Название и содержание минералов

%	Кварц	Полевые шпаты	Обломки пород	%	Магнетит-ильменит	Лимонит	Гранат	Циркон	Рутил	Турмалин	Мусковит-биотит	Роговая обманка	Глауконит	Лейкоклаз	Пирит	№ № обр.
	7	10	83		7	64	—	2,0	0,5	3,5	0,5	—	20	—	—	обр. 1
	4	6	90		5	86	Ед.	2,5	0,5	2,0	—	—	3	—	—	обр. 2
	1	2	97		—	24	—	1,5	—	—	—	—	—	—	—	обр. 3
			Ед.		10	7	Ед.	1	1	2	—	—	—	—	—	обр. 4

%	Кварц	Полевые шпаты	Обломки пород	%	Магнетит-ильменит	Лимонит	Гранат	Циркон	Рутил	Турмалин	Мусковит-биотит	Роговая обманка	Глауконит	Лейкоклаз	Пирит	№ № обр.
	7	10	83		7	64	—	2,0	0,5	3,5	0,5	—	20	—	—	обр. 1
	4	6	90		5	86	Ед.	2,5	0,5	2,0	—	—	3	—	—	обр. 2
	1	2	97		—	24	—	1,5	—	—	—	—	—	—	—	обр. 3
			Ед.		10	7	Ед.	1	1	2	—	—	—	—	—	обр. 4

3) уплотнение глин вплоть до $2500 \text{ кг}/\text{см}^2$ происходит непрерывно с выжиманием воды из пор; при этом влажность глин, начиная с некоторой величины удельной нагрузки, различной для разных глин, становится меньше, чем их максимальная молекулярная влагоемкость. Такой вывод сделан и в работе [5].

Полученные экспериментальные данные позволяют вычислить влажность глин в условиях залегания на глубинах до 10000 м.

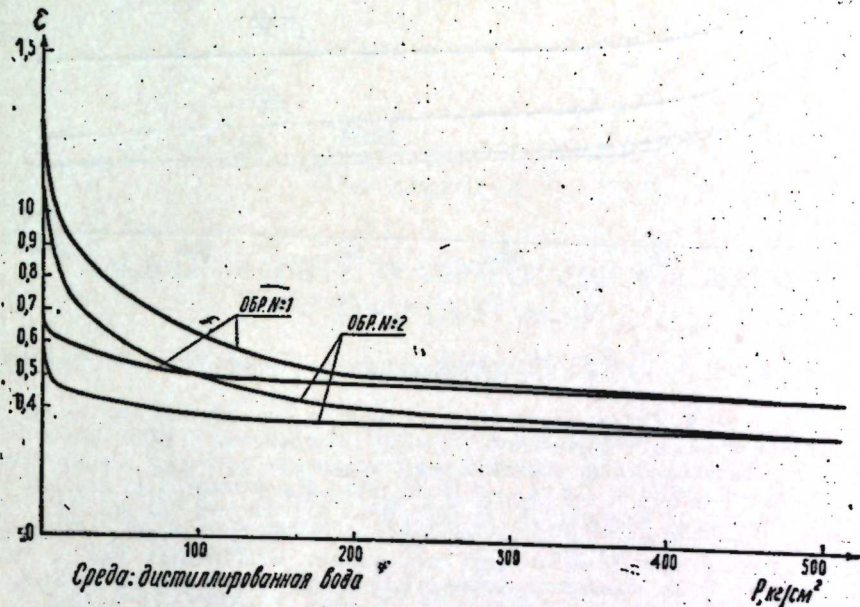


Рис. 1.

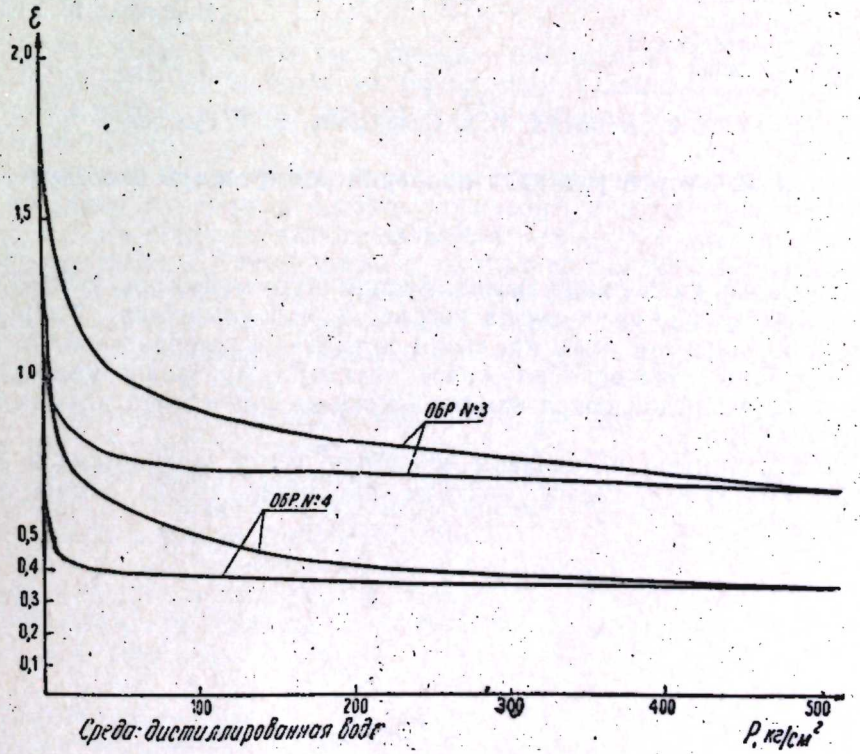


Рис. 2.

Г. М. КАСУМОВА

НОВЫЕ ДАННЫЕ О САРМАТСКОЙ ФЛОРЕ
НАХИЧЕВАНСКОЙ АССР

(Представлено академиком АН Азербайджанской ССР Ш. А. Азизбековым)

Систематическое изучение органических остатков, сохранившихся в миоценовых породах, представляет особенно большой научный и практический интерес, поскольку оно является основным вспомогательным методом в выяснении происхождения и условий образования солей.

Из всех различных видов органических остатков крайне скучно изучены остатки ископаемых растений миоценовых отложений Нахичевана.

Первые палеоботанические данные относятся к концу XIX века. Г. В. Абих (1899) в соляном месторождении указывает наличие отпечатков листьев, возраст которых приравнивался Освальдом к тонгрийскому¹ ярусу.

Намного позже, в 1933 г., в тех же отложениях, подстилающих сланцеватыми глинами, в которых проходят и прослойки горючих сланцев, были обнаружены отпечатки листьев деревьев и кустарников: *Fagus orientalis*, *Zelkova crenata*, *Ostrya carpinifolia*, *Prunus cerasifera* (*Laburnum*), *Acer*, *Vitis*, вместе с тем были обнаружены и отпечатки ископаемых рыб и насекомых *Clupea cultinervis*, *Gobius* sp. (бычки), *Apis* sp. (ракчи), *Tripulas* sp. (комары), жуки и листогрызы, долгоносики, мухи и др.

На основании указанного комплекса растений и обнаруженных совместно с ними представителей ископаемых рыб и насекомых В. В. Богачев (1936) определил возраст Нахичеванской залежи соли вслед за Абихом, как среднемиоценовый (а возможно, верхнемиоценовый) и предположил близость берега бассейна.

В 1950 г. Ш. А. Азизбековым в окрестностях сел. Карабаглар в зеленовато-серых песчаных глинах верхнего сармата были обнаружены представители семейства *Graminea*, *Leguminosa* (определенная Г. М. Касумова).

¹ Тонгрийский ярус соответствует санунскому, т. е. нижнему ярусу олигоцена или же верхнему палеогену, а Абих считал его миоценом.

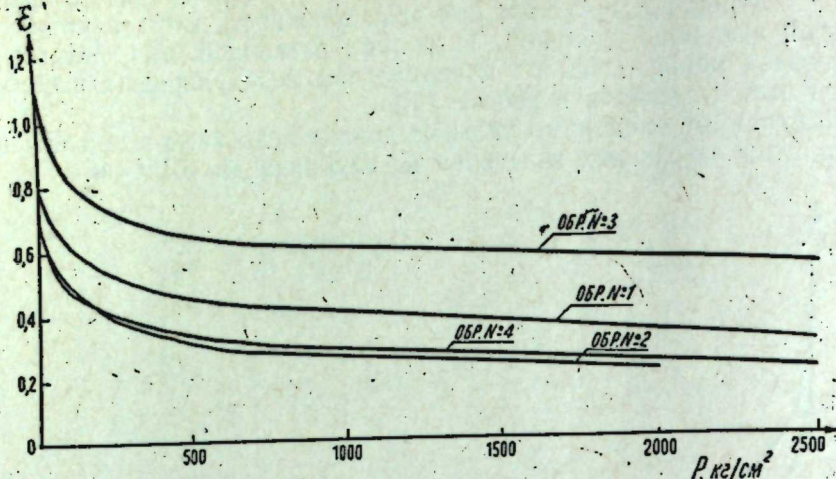


Рис. 3.

ЛИТЕРАТУРА

1. Терцаги К. Строительная механика грунтов. Гос. научно-техн. изд-во строительной индустрии и судостроения. М.-Л., Госстройиздат, 1933.
2. Герсеванов Н. М. Основы динамики грунтовой массы. Главная редакция строительной литературы. М.-Л., 1937.
3. Цитович Н. А. Механика грунтов. Гос. изд-во лит-ры по строительству и архитектуре. М.-Л., 1951.
4. Покровский Г. И., Федоров И. В. Исследование устойчивости грунтов глубокого залегания. Сборник по борьбе с обвалами при бурении нефтяных скважин. ОНТИНКПИ СССР. М., 1937.
5. Ломтадзе Б. Д. Изменение влажности глин при уплотнении их большими нагрузками. Записки Ленинградского горного института, т. XXIX, вып. 2, 1953.

Ин-т проблем
глубинных нефтегазовых
месторождений

Поступило 16. III 1967.

А. Э. Шемсиев, Т. Х. Сулејманов, В. Т. Гулиев

Жүксөк хүсуси јукләрдә килләрин компрессија хассәләри

ХУЛАСӘ

Азэрбајҹан килләринин дистиллә едилмиш су мүһитиндә 2500 kg/cm^2 -э гәдәр тәзигләрдә компрессија хассәләри өјрәнилmişdir. Тәчрүбәләри нәтичәләри көстәрир ки, тәзиг артдыгча килләрин нәмлији логарифмик әјри үзәр арамсыз оларaq азалыр. Мұхтәлиф килләр учун мұхтәлиф тәзигдән соңра нәмлик максимал молекулјар нәмлик турумундан аз олур.

Експериментин нәтичәләри килләрин јатма дәренилииндән асылы оларaq (10000 м-э гәдәр) онларын нәмлијини тә'јин етмәjе имкан верир.

Следует сказать, что А. Л. Тахтаджяном (1963) из сарматских отложений Нахичевана отмечается наличие *Buxus sempervirens*, *Pyrus aff. communis*, *Ribes aff. alpinum*.

Лишь в 1956 г. началось систематическое изучение флоры миоценовых отложений Нахичевана. В результате полевых исследований были обнаружены растительные остатки в 2 пунктах: у сел. Хинджаб — Карабаглар и горы Дуздаг. Отпечатки листьев у сел. Хинджаб обнаружены в глинистом рыхлом среднезернистом песчанике буроватого цвета.

В г. Дуздаг растительные остатки найдены в серовато-зеленой песчаной глине и приурочены к нижне-среднему сармату, откуда наами были определены следующие виды ископаемых растений *Phragmites oenningensis*, *Turfa latissima*, *Cypressus sp.*, *Quercus gmelini*, *Q. breueri*, *Diospyros cf. anceps*, *Rhamnus dechenii*, *Laurus lalages*, *Palibinia nachtschewanica* Kassum, sp. n., *Leguminosites nachtschewanica* Kassum, sp. n., *Podogonium cf. knorrii*, *Folium* sp. 1—5 и отмечаются неопределенные сильнокожистые листья с цельными и мелко, но редкозубчатыми краями. Следует сказать, что из остатков лесных формаций часто в миоценовых отложениях Нахичевана встречаются представители *Leguminosae* и отпечатки очень мелких листьев.

Наибольший интерес представляет представитель ксерофильного рода *Palibinia*.

Род *Palibinia*, Когорин, 1932

В коллекции имеются 3 отпечатка (неполных), сильно кожистых линейных, возможно, ланцетных, со слегка изогнутыми кверху вторичными жилками, оканчивающимися в краевых зубцах и дающими короткие ответвления в бухты между зубцами. Указанные родовые признаки не вызывают сомнений о принадлежности этих листьев к роду *Palibinia*.

Род *Palibinia* впервые был описан в СССР Е. П. Коровиным в 1932 г. на основе собранного большого количества отпечатков листьев, побегов, соцветий, обнаруженных из верхнеоценовых отложений Бадхыза (Туркмения). К этому роду Е. П. Коровиным были отнесены 5 видов *Palibinia lanceolata*, *P. latifolia*, *P. acutifolia*, *P. laxifolia*, *P. densifolia*.

Впоследствии представители ископаемого рода *Palibinia* были обнаружены из других пунктов Бадхыза, Ер-Йоландуза (Туркмения) различными геологами-исследователями — П. М. Василевским, В. Н. Огневым, А. В. Огневым А. В. Сидоренко, Н. Д. Василевской и другими. Нахождение представителей этого рода в различных странах до сегодняшнего дня неизвестно.

Обнаруженное нами местонахождение является вторым местонахождением в мире, который расширяет ареал распространения этого рода как территориально, так и по диапазону (эоцен Туркмении, сармат Азербайджана).

Вначале род *Palibinia* был отнесен Коровиным к семейству протейных. Однако детальное изучение А. Л. Тахтаджяном и Л. Ю. Буданцевым (1963) ископаемого и современного материала привело к выводу, что род *Palibinia* (отпечатки листьев и побегов) не может быть отнесен к семейству протейных, и обнаруженные соцветия, ранее отнесенные Коровиным и Василевской к роду *Palibinia*, также не могут быть к нему отнесены. Таким образом, положение ископаемого рода *Palibinia* до сегодняшнего дня остается неопределенным.

В коллекции имеются 3 неполных отпечатка листьев, которые мы относим к новым видам.

Далее приводим описание нового представителя ксерофильного рода *Palibinia* Когорин, 1932.

Palibinia nachtschewanica Kassum, sp. n.

Исследованные экз.—колл. 8, отп. 329/1, 330/2а (Нахичеванский АССР, между сел. Хинджаб и Карабаглар), средний сармат.

В коллекции к указанному виду относятся 3 отпечатка, два из них представляют собой только верхушку листа (рис. 2), а третий — отпечаток средней и верхней части (330/21) длиной 25 мм, шириной 10 мм (рис. 1).



Рис. 1. *Palibinia nachtschewanica* Кассум, sp. n. Нахичеванской АССР (сармат).



Рис. 2. *Palibinia nachtschewanica* Кассум, sp. n. Нахичеванской АССР (сармат).

Предполагаемая длина полного, сильнокожистого, ланцетного, по краям зубчатого листа не менее 35—40 мм. Верхушка острая, основание не сохранилось. Средние и вторичные жилки одинаково мощные. Вторичные жилки отходят от средних под углом 45—60°, частые, очередные или противопоставленные (329/1), прямые или слегка изогнутые кверху. Вторичные жилки оканчиваются в краевых зубцах и дают короткие ответвления в бухты между зубцами. Между вторичными жилками отходят 1—2 короткие промежуточные жилки, отходящие под углом 60—70°. Сети третичных жилок на отпечатке не видны.

Изучаемый лист очень близко стоит к виду *Palibinia laxifolia* Когорин (Основы палеонтологии, 1963, табл. XI, фиг. 6, 7), он отличается своей большой шириной, быстро суживающимися краями у верхушки, тогда как у *P. laxifolia* края листа очень медленно суживаются, в результате чего листья имеют иную форму.

Геологическое распространение представителей искусственного рода *Palibinia* известно только из верхнего эоцена — нижнего олигоцена Туркмении. Обнаруженный нами и из среднесарматских отложений Нахичеванской АССР новый представитель рода *Palibinia* расширяет как ареал обитания его, так и стратиграфический диапазон.

ЛИТЕРАТУРА

1. Азизбеков Ш. А. Геология Нахчеванской АССР. Баку, 1963. 2. Богачев В. В. Миоцен Закавказья. Изд. АзФАН СССР, 1938. 3. Василевская Н. Д. О полтавской ксерофитной флоре Туркмении. *ДАН СССР*, т. LXIII, № 4, 1919. 4. Василевская Н. Д. и Сидоренко А. В. Новые находки третичной флоры в Бадхызе. *Изв. Туркм. АН СССР*, № 3, 1950. 5. Василевская Н. Д. Эоценовая флора Бадхыза в Туркмении. Сб. памяти А. Н. Криштофовича. АН СССР, М.—Л., 1957. 6. Касумова Г. М. О флоре нижнего олигоцена района Дарыдаг Нахчеванской АССР, XVII, № 8, 1961. 7. Коровин Е. П. Новый третичный тип семейств из Средней Азии. Бот. ж. СССР, т. XVII, № V—VI, 1932, стр. 506—519. 8. Криштофович А. Н. Обзор изучения нашей ископаемой флоры за десятилетие 1916—1925 гг. *Геол. вести.*, т. V, № 1—3, 1926. 9. Палибин И. В. Нижнеолигоценовая флора горы Дары-Даг в бассейне р. Аракса (Закавказья). Флора и систематика высших растений, вып. 6, М.—Л., 1947. 10. Пронина М. Т. К стратиграфии миоценовых отложений Нахчеванской АССР. *ДАН Азерб. ССР*, № 12, 1960. 11. Таджани А. Л. Основы палеонтологии. Голосемянные и покрытосемянные. М., 1963.

Поступило 11. I 1966

Институт геологии

Г. М. Гасымова

Нахчыван Сармат дөврү биткиләринә даир јени мә'лumat

ХҮЛАСЭ

Мүэллиф сон вахта гәдәр тәдгигатчыларын Неокен сүхурларында тәсадүфән тә'јин етдикләри вә дағыныг һалда әдәбијатда адлары чәкилән газынты битки нөвләрини, топлајараг илк дәфә олараг ардычыл сурәтдә Сармат сүхурларындан ашкара чыхартдыгы газынты битки комплексини дә она әлавә едир. Бунуна мүэллиф бир тәрәфдән Нахчыван әразисинде Неокен дөврүндәки битки өртүјү барәдә олан тәсәввүру кенишләндирir, дикәр тәрәфдән исә һәмин комплексин ичәрисинде олан јени нөвүн (*Palibinia nachtschewanica* Kassim.) тәсвирини вермәклә ксерофит шәраитдә јашамыш вә һәләлик бүтүн дүнҗада икинчи јер неңаб едилән Нахчыванда *Palibinia* биткисинин Еосен дөврүндән шимал-шәргдән (Түркменистандан) чәнуб-гәрбә дөргү Неокен дөврүнә гәдәр миграсија едәрәк јајылдығыны көстәрир.

АЗӘРБАЙЧАН ССР ЕЛМЛӘР АКАДЕМИЯСЫНЫН МӘРҮЗӘЛӘРИ ДОКЛАДЫ АКАДЕМИИ НАУК АЗЕРБАЙДЖАНСКОЙ ССР

ТОМ XXIII

№ 8

1967

ТЕКТОНИКА

Д. М. ДАНИЛЕВСКАЯ

ОБРАЗОВАНИЕ РЕЛЬЕФА В СВЯЗИ С ПРОЯВЛЕНИЕМ НОВЕЙШИХ ТЕКТОНИЧЕСКИХ ДВИЖЕНИЙ В НИЖНЕКУРИНСКОЙ ОБЛАСТИ

(Представлено академиком АН Азербайджанской ССР Ш. Ф. Мехтиевым)

Нижнекуринская Нефтегазоносная область принадлежит к юго-восточной, приморской части обширного межгорного прогиба и является одним из наиболее перспективных нефтеносных районов республики.

Глубокая депрессия в данной области послужила участком накопления большой мощности плиоценовых и четвертичных отложений. Последние интенсивно дислоцированы и участвуют в строении складчатых структур области.

Одной из морфологических особенностей складчатых структур в названном районе является то, что в орографическом отношении они выражены по-разному. Этому способствовала в основном различная степень проявления складчатой фазы в четвертичное время. Немаловажную роль сыграло время ее проявления, интенсивность экзогенных процессов и литологический характер пород, слагающих структуры. Эти вопросы подробно рассматриваются в отдельной работе.

По характеру отражения на дневной поверхности складчатые структуры Нижнекуринской области можно подразделить на следующие группы:

Первая группа—складки, имеющие четкое выражение на поверхности—это Малый Харами, Мишовдаг, Кюровдаг. В данных структурах доступно изучение геологического строения непосредственно методом полевых исследований. В них наиболее полно представлены разрезы отложений, слагающих исследуемую область на дневной поверхности, поэтому на примере вышеназванных складок нагляднее возможно проследить проявление складчатости и ее связь с образованием рельефа.

В сильно пересеченном и морфологически характерном рельефе хребта Малый Харами прекрасно раскрывается строение складки, представленной на дневной поверхности продуктивной толщей (в присводовой части), Акчагылом, Ашшероном и отложениями четвертичного комплекса (на крыльях). Анализ условий залегания стратиграфических горизонтов и соответствующих угловых несогласий позволяет

прийти к выводу, что, очевидно, формирование и рост структуры начались относительно давно, после века отложений продуктивной толщи, так как во все последующие века осадки отлагались трансгрессивно на более ранние образования; кроме того, наблюдается закономерное уменьшение мощностей по направлению от крыльев к своду. Такой плавный рост продолжался до конца плиоцена, а активное вздымание складки, характеризующееся как основной рост ее, происходило в послебакинское время. Об этом свидетельствует крутое залегание ашшеронского и бакинского ярусов—до $75-80^{\circ}$ на юго-западном крыле в снятом нами разрезе по балке Узундере. Бакинские слои согласно откладывались на относительно ровной поверхности верхнего ашшерона и только, очевидно, в хвалынский век вовлекались вместе с подстилающими ашшеронскими отложениями в складкообразовательные процессы, в результате которого и был создан хребет Малый Харами, являющийся в настоящее время наиболее выраженной в рельефе структурой Нижнекуринской области, наивысшая точка которого в его центральной части равна 502,9 м.

Мишовдагская антиклиналь так же, как и предыдущая, четко выражена на поверхности. В орографическом отношении это хребет, который возвышается над окружающей его долиной почти на 300 м. Время заложения Мишовдагской складки предполагается еще более раннее, чем Харминской. Анализируя те же данные на Мишовдаге, приходим к выводу о том, что здесь в четвертичное время фаза складчатости проявилась также раньше, чем на Харами. Ашшеронские отложения на Мишовдаге залегают под углом 30° , на них с угловым несогласием в 15° ложатся слои бакинского горизонта. Несогласие особенно сильно выражается в центральной части складки. В балке „Нефтяная“ зафиксировано и азимутальное несогласие между осадками ашшеронского и бакинского веков.

Верхняя часть отложений верхнего ашшерона размыта. В центральной части складки в контакте отложений верхнего ашшерона и бакинского горизонта появляется базальный конгломерат. Наличие частых прослоев сопочной брекции в отложениях верхнего ашшерона указывает на усиление деятельности грязевого вулканизма. Перечисленные факты говорят в пользу того, что на рубеже бакинского века на территории рассматриваемой структуры происходили интенсивные складкообразовательные процессы, которые привели к сильной деформации слоев, залегающих стратиграфически ниже бакинских отложений. В последующие века в условиях непрерывных положительных вертикальных движений и денудационных процессов происходило окончательное формирование рельефа Мишовдагской структуры.

Приблизительно такая же картина наблюдается на Кюровдаге. Угловое несогласие между ашшеронскими и бакинскими образованиями, выражющиеся в $8-10^{\circ}$, говорит о том, что на границе ашшеронского и бакинского времени также происходили складкообразовательные движения, но по интенсивности их проявления они уступают таковым на Мишовдаге.

Ко второй группе относятся складчатые структуры, представленные на поверхности уцелевшими от размыва элементами,—Бабазанан и Калмас. Бабазанан орографически представляет собой небольшой хребет с наивысшей точкой +50 м. Этот хребет является северо-восточным крылом крупной Бабазананской антиклинали, которое сложено дислоцированными породами продуктивной толщи акчагыла и ашшерона. Юго-западное крыло Бабазананской структуры опущено и является погребенной частью складки.

Антиклиналь Калмас представлена на дневной поверхности лишь своей северо-западной периклиналью, которая хорошо очерчена грядами верхнеашшеронских известняков, в то время как восточная часть складки полностью погребена под мощным покровом сопочной брекции.

Третью группу представляют складки, синевелированные экзогенными процессами,—Дуровдаг, Хиллы, Нефтечала, Ахзевир—Бяндован; Пирсагат. О наличии их свидетельствуют проявления грязевого вулканизма в виде грифонов и конусов сопочной брекции, возвышающихся среди однообразных степных равнин, и единичные разрозненные грифки известняков ашшеронского яруса (Ахзевир, Пирсагат).

Наконец, к четвертой группе мы отнесли погребенные под современные отложения складки Падар и Карабаглы, не имеющие никаких поверхностных признаков.

Из вышеуказанного следует, что степень проявления складчатых движений находится в прямой связи со степенью общих вертикальных сводовых поднятий структур, которые проявляются в последнюю стадию развития структур и образуют современный рельеф. Это мы видим на примерах развития складчатых структур первой группы.

Степень проявления складчатых движений на Малом Харами была максимальной и максимальным было проявление сводовых поднятий, что и привело к образованию такого резко выраженного рельефа хребта М. Харами.

На Мишовдаге степень проявления складчатых движений была меньше, и общий сводовый подъем рельефа Мишовдаг выражен слабее. И, наконец, Кюровдаг, на котором складкообразовательные процессы в предбакинское время проявлялись меньше, чем на Мишовдаге, испытывал соответственно меньший сводовый подъем в последнюю стадию развития структуры, что и выражено в рельефе.

Таким образом, складчатые структуры области в своем развитии прошли 2 этапа. Второй этап знаменует собой развитие складок в континентальных условиях, когда в результате проявления новейших тектонических движений и активной деятельности экзогенных факторов вышеназванные складчатые структуры приобрели современное геоморфологическое выражение.

ЛИТЕРАТУРА

1. Ахмедбейли Ф. С. Неотектонические движения и их отражение в структуре предгорий Большого Кавказа. Баку. Азернейш, 1962.
2. Ахмедбейли Р. С. Неотектоника восточной части Большого Кавказа. Изд-во АН Азерб ССР, 1966.
3. Геоморфология Азербайджана. Изд-во АН Азерб. ССР, 1959.
4. Думитрашко Н. В., Лилиенберг Д. А., Будагов Б. А. Рельеф и новейшая тектоника Юго-Восточного Кавказа. Изд-во АН СССР, 1961.
5. Николаев Н. И. Неотектоника и ее выражение в структуре и рельефе территории С ССР. Госгеолтехиздат, 1962.

Институт геологии

Поступило 20. XII 1966

Д. М. Данилевская

Ашағы Күр чөкәклијинде рельефин әмәлә қәлмәсіндә жени тектониканы ролу

ХУЛАСӘ

Фактик материалларын анализи иәтичесіндә мүәjjен едилмишdir, Кичик Һәрәми гырышыныда Ашшерон вә Бакы мәртәбәләри лајлары 74° -ли бучаг алтында жатыр. Бу да ону көстәрик ки, һәмни гырышылыг әсас етибарилә Бакы әсриндән соңра инкишаф етмишdir.

Бакы лајлары Уст Абшеронун нисбәтән һамар сәттىң үзәринә чөккәрәк, јэгин ки, һәвалын дөврүндә һәмин чөкүнтуләрлә бәрабәр гырышыг әмәләкәтирмә просессләринә мә'ruz галышыды.

Мишовдаға Дәрдүнчү дөврдә гырышыглыг фазасы Һәрәмидән әvvәл, јә'ни Бакыгабагы заманы олмушдур; бурада Абшерон чөкүнтуләри 30°-ли, онларын үстүнә исә Бакы һоризонту 15°-ли бучаг алтында гејри-үйғун җатыр.

Тәхминән ейни һал Қуровдаға да мүшәнидә олунур. Бурада Абшеронла Бакы чөкүнтуләри арасындағы бучагын гејри-үйғунсузлуғы 8—10° тәшкил едир.

Жұхарыда көстәрилән фактлардан мә'лум олур ки, гырышыглыг әмәләкәтирмә просеси Дәрдүнчү дөврдә гејд етдијимиз антиклиналарда мұхтәлиф олмушдур.

СТРАТИГРАФИЯ

Р. К. ГАСАНОВ

О ПРОЦЕССАХ КОНТАКТОВОГО МЕТАМОРФИЗМА
В АРЕАЛЕ ИНТРУЗИВОВ ОФИОЛИТОВОЙ ФОРМАЦИИ
ШАХДАГСКОГО ХРЕБТА (МАЛЫЙ КАВКАЗ)

(Представлено академиком АН Азербайджанской ССР М. А. Кашкаем)

В офиолитовой формации Шахдагского хребта Малого Кавказа, где широко представлены различные қақ по составу, так и по возрасту интрузивы, широкое развитие получили процессы контактного воздействия их на вмещающие породы. Наиболее полно они проявились в виде процессов силицификации и контактового метасоматизма, аналогичных описанным М. А. Кашкаем [5] для всей офиолитовой формации Азербайджана.

Силицификация наблюдается в контактных участках серпентинов (апопериодитов) с туфогенными породами нижнего сенона. Последние, по-видимому, окремненные в результате выноса SiO_2 из перидотитов в процессе серпентинизации, протягиваются порой на несколько километров, причем содержание кремнезема в них нередко достигает 90—95%. Эти окремненные породы мощностью 6—8 м приурочены к верхам 25—30 м толщи красноцветных туфопесчаников и внешне напоминают фтаниты—обычных сопроводителей офиолитов и серпентинов.

Макроскопически порода буро-красного цвета, довольно плотная, слоистая, с тонкими трещинами, выполненными кремнеземом или карбонатом. Под микроскопом представлена кремнистой массой, окрашенной в буро-красный с желтоватым оттенком цвет и покрыта гидроокислями железа. В основной непросвечивающей массе выделяется множество округлых сферокристаллов халцедона с скользящим погасанием (рис. 1). Иногда совместно с ними присутствуют карбонаты.

Химический анализ окремненной и окрашенной окислами железа породы с перёвала Огруджа в центральной части Шахдагского хребта согласно М. А. Кашкаю [5] показал следующее соотношение окислов:

SiO_2 —89,94	FeO —0,41	Na_2O —0,86
TiO_2 —0,17	CaO —1,59	H_2O —0,93
Al_2O_3 —0,29	MgO —1,57	Сумма=100,37
Fe_2O_3 —3,18	K_2O —1,43	

Числовые характеристики по А. Н. Заварицкому [4] следующие:
 $a=0,4$; $c=3,2$; $b=4,5$; $s=91,9$; $n'=8$; $m'=53$; $c'=39$; $n=54$; $t=0,2$;
 $\varphi=0$; $Q=79,8$; $a/c=0,122$.

Как видно из анализа и пересчета его на числовые характеристики, порода характеризуется крайне высоким содержанием кремнекислоты. По классификации А. Н. Заварицкого [4], относится к классу [1] сильно пересыщенных кремнекислотой пород.

Как видно, окремненные фтанитоподобные породы могли образоваться только за счет привноса кремнезема из перidotитов в процессе их серпентинизации. М. А. Кашкай [5] объясняет ход этого процесса следующим уравнением:

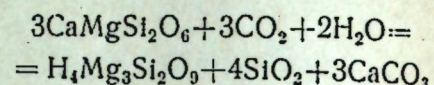


Рис. 1. Окремненная фтанитоподобная порода. На темном фоне выделяются сферокристаллы (белые) халцедона. Снимок под микроскопом. Ув. 20. Ник. 11.

Силикаты, сопровождается выделением свободного кремнезема, который может диффундировать во вмещающие породы; последнее соединение (CaCO_3) может быть легко выщелочено.

Контактово-метасоматические процессы на Шахдагском хребте получили широкое развитие в приконтактовой зоне малых интрузивов габбро-диоритов. Достигая в размере максимально $0,3 \text{ км}^2$, они прорывают известковистую толщу верхнего сенона и повсеместно бывают приурочены к третичным разломам, простирающимся в северо-западном направлении, параллельно протяженности самого хребта.

Указанные тектонические разломы нередко сопровождаются различного рода метаморфизованными породами, возникшими за счет вулканогенно-осадочных и интрузивных пород верхнего мела.

Макроскопически габбро-диориты и диориты плотные, слегка трещиноватые зеленовато-серые породы. Под микроскопом структура призматически-зернистая до офтовой, местами порфировидная, обусловленная относительно крупными вкраплениями плагиоклаза или пироксена (рис. 2, 3).



Рис. 2. Габбро-диорит. Структура призматически-зернистая. Ув. 22. Ник. +.

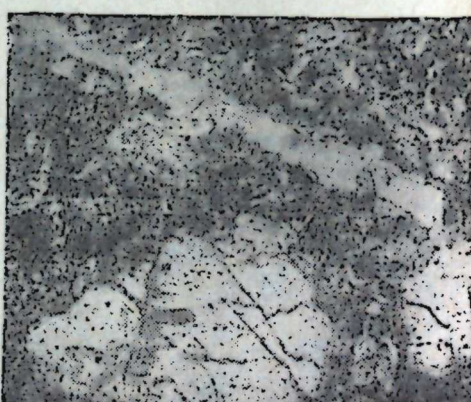


Рис. 3. Габбро-диорит. Краевая фация. Структура порфировая. Вкрапления представлены плагиоклазом. Ув. 30. Ник. +.

В минералогическом составе принимают участие: плагиоклаз от № 18 до № 40 (51%), авгит (3%), роговая обманка (9,6%), уралит и актинолит (12,3%), хлорит (10,1%) акцессорные (сфен, магнетит—4,2%) и соссюрит (9,8%).

Изучение морфологических особенностей, структурных признаков и минералогического состава показало, что малые интрузивы габбро-диоритов несут в себе признаки гибридизма [6].

Химические анализы малых интрузивов габбро-диоритов (аналитик Н. А. Бруштейн) с центральной части Шахдагского хребта (г. Коджадаг) сведены в табл. 1.

Таблица 1
Химические анализы малых интрузивов габбро-диоритов

Комп. №0	SiO_2	TiO_2	Al_2O_3	Fe_2O_3	FeO	MgO	CaO	Na_2O	K_2O	H_2O	п. п. п.	Сумма
481	52,31	0,51	15,99	5,21	7,62	5,28	5,18	4,03	0,29	0,58	3,31	100,31
695	50,01	0,46	16,00	6,39	4,25	5,26	5,88	4,56	0,55	1,00	5,46	99,82

Числовые характеристики по А. Н. Заварицкому

—	<i>a</i>	<i>c</i>	<i>b</i>	<i>s</i>	<i>f'</i>	<i>m'</i>	<i>c'</i>	<i>n</i>	<i>t</i>	<i>φ</i>	<i>Q</i>	<i>a/c</i>
481	9,7	6,3	21,8	62,2	56,0	43,0	1,0	95,0	0,7	21,2	-1,3	1,54
695	11,5	5,7	21,8	61,0	47,0	44,0	9,0	94,0	0,7	26,8	-6,7	2,0

По классификации А. Н. Заварицкого [4], приведенные химические анализы характеризуют собой мелонократовые породы, соответственно бедные или умеренно богатые щелочами, слабо недосыщенные или насыщенные кремнекислотой. Анализ 481 попадает в класс 4, группу 14, подгруппу „б“; анализ 695—класс 5, группу 18, подгруппу „б“.

Среди указанных малых интрузивов габбро-диоритов в центральной части Шахдагского хребта обнаружено множество небольших ксенолитов известняков кампана-маастрихта. Они представлены линзовидными телами, размером до $2,5 \times 6,0 \text{ м}$, которые под термальным воздействием интрузива метаморфизованы, и вдоль их контакта, в результате метасоматических процессов постмагматической стадии образованы известковые скарны с четкой метасоматической зональностью.

Последнее хорошо иллюстрируется образцом, взятым с контакта гранатовой и пироксеновой зон (рис. 4).

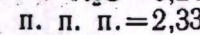
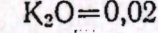
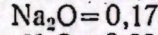
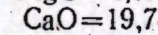
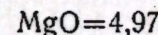
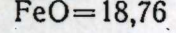
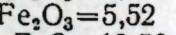
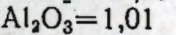
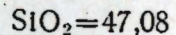
Как видно из рис. 5, вдоль эндоконтакта интрузива наблюдается свежий, неизменный габбро-диорит, в составе которого с приближением к скарновой полосе появляются в значительных масштабах хлорит и карбонат (кальцит).

Зона околоскарновой породы мощностью 40 см ближе к контакту габбро-диоритов характеризуется более значительным постоянством состава. Здесь много полевого шпата (кислого андезина), а цветные компоненты в большинстве своем сильно хлоритизированы. С удалением от контакта интрузива, в составе околоскарновой породы резко возрастает содержание хлорита, к которому примешиваются гранат

Таблица 2

Расчет дебаеграмм граната (андрадита)

Гранат с северо-восточ. склона Шахдагского хребта		Гранат (андрадит) по В. И. Михееву [8]		Гранат с северо-восточного скл. Шахдагского хребта		Гранат по В. И. Михееву [8] ¹	
J	da/n	J	da/n	J	da/n	J	da/n
2	4,2612	3	4,27	8	1,1187	7	1,119
4	3,3296	3	3,337	8	1,1000	7	1,109
8	3,0161	8	3,026	2	1,0908	3	1,082
10	2,7033	10	2,707	2	1,0760		
2	2,5773	3	2,567	8	1,0648	7	1,065
8	2,4731	7	2,462			1	1,031
5	2,3728	4	2,378	6	1,0026	5	1,004
4	2,2059	3	2,210	6	0,98916	5	0,990
6	1,9577	5	1,962	8	0,97722	8	0,978
5	1,9081	4	1,912			1	0,962
3	1,8433	2	1,857			2	0,934
5	1,7700	4	1,789			2	0,915
4	1,7414	3	1,738			3	0,907
	—	1	1,702	6	0,89012	6	0,898
8	1,6634	7	1,659			5	0,888
	—	2	1,644			5	0,870
10	1,6045	10	1,611			1	0,860
5	1,5080	4	1,509			2	0,853
2	1,4492	2	1,458			1	0,847
2	1,4188	3	1,425			4	5,836
7	1,3475	6	1,348			5	0,8254
7	1,3144	6	1,315			2	0,8264
6	1,2844	6	1,284			9	0,8190
1	1,2695		—			4	0,8184
2	1,2338	1	1,242			2	0,8114
3	1,2156	4	1,219			3	0,8087
1	1,1739	2	1,182			2	0,8026
	—	1	1,152			2	0,7974
	—	1	1,103			1	0,7937



Сумма=99,83

Пересчет химического анализа на кристаллохимическую формулу показал следующее: $\text{Ca}_{0,87}(\text{Mg}_{0,31}\text{Fe}_{0,63}^{++}\text{Fe}_{0,17}^{--})_{1,17}[(\text{Si}_{1,93}\text{Al}_{0,07})_2\text{O}_6]$.

Данные оптических констант и химического анализа позволяют представить состав исследуемого пироксена в виде промежуточного члена (ферросалита), содержащего около 45% $\text{CaMg}(\text{Si}_2\text{O}_6)$ и 55% $\text{CaFe}(\text{Si}_2\text{O}_6)$.

Мраморизованный известняк сложен из мелких зерен кальцита.

Основываясь на положении Д. С. Корджинского [7] об образовании известковистых скарнов, можно отметить, что скарны северо-восточного склона Шахдагского хребта являются контактово-диффузионными, т. е. они образовались на контакте двух химически неравнovesных сред—интрузивных и карбонатных пород, путем диффузии компонентов через высокотемпературные постмагматические растворы, циркулирующие вдоль контакта. В целом они приурочиваются к ранней щелочной стадии постмагматического метасоматоза.

Важной особенностью исследуемых скарнов является высокое содержание железа, на что указывает, в частности, наличие андрадита и ферросалита. По данным В. А. Жарикова [3], образование

и кальцит. Хлорит представлен большей частью пеннином, реже—клинохлором.

Зона гранатового скарна (около 30 см) содержит также небольшое количество пироксена и кальцита. По краям отдельных индивидов граната отмечается анизотропность. Интерстиции между хорошо ограниченными идиоморфными кристаллами часто заполнены

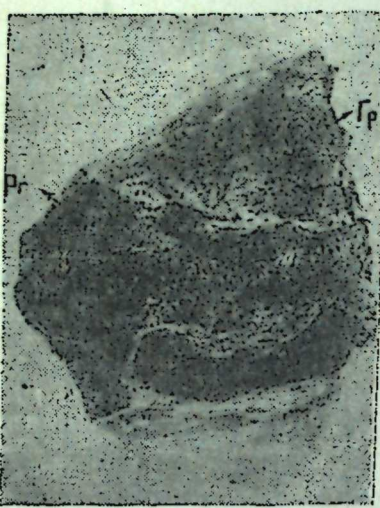


Рис. 4. Гранат-пироксеновый скарн с резко выраженной метасоматической зональностью: Гр—гранат; Рг—пироксен (геденбергит). 3/2 нат. вел.

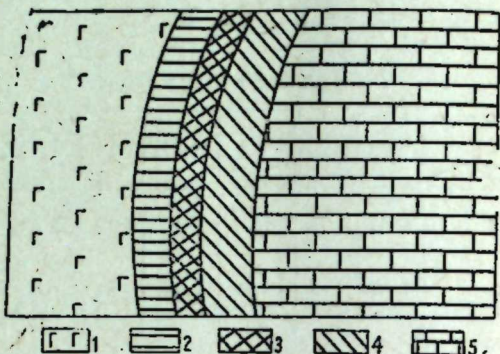


Рис. 5. Скарновая зона, образованная на контакте габбро-диоритов с известняками. 1—габбро-диориты; 2—околоскарновая порода; 3—гранатовый скарн; 4—геденбергитовый скарн; 5—мраморизованные известняки.

кальцитом и в крайне редких случаях—кварцем (рис. 6).

С целью детализации природы (состава) граната из зоны гранатового скарна он был изучен нами рентгенометрически.



Рис. 6. Гранат. Кальцит (белое) выполняет интерстиции между индивидами граната. Ув. 20. Ник. +.

Зона пироксенового скарна около 60 см представлена исключительно пироксеном, местами замещенным кальцитом. Под микроскопом пироксен пластинчатый, нередко сдвойникован по (100). $\text{CNg}=44^\circ$; $2v=(+)$ 56° ; $N_m \approx 1,708$. Оптические константы отвечают салиту (ферросалиту), что подтверждается и его химическим анализом (обр. 696)¹.

¹ Анализ выполнен в центральной зональной лаборатории Кавказской экспедиции. Аналитик Н. А. Бруштейн.

скаринов и скариоидов происходит в условиях различной концентрации вполне подвижных компонентов (Mn, Mg и Fe) в растворах, причем, чем ближе скариновые образования расположены от путей циркуляции растворов, тем выше в них содержание железа, наиболее инертного из вполне подвижных компонентов.

ЛИТЕРАТУРА

- Гасанов Р. К. К вопросу магматизма на Шахдагском хребте (Малый Кавказ). Изв. АН Азерб. ССР*, 2. Гасанов Р. К. О метаморфизованных ультраосновных и основных породах вдоль северо-восточного склона Шахдагского хребта (Малый Кавказ). ДАН Азерб. ССР*, № 6, 1964.
- Жариков В. А. Геология и метасоматические явления скарино-полиметаллических месторождений западного Карамазара. Тр. Ин-та геологии рудных месторождений, минералогии и геохимии АН СССР, вып. 14, 1959.
- Заваринский А. Н. Пересчет химических анализов изверженных горных пород. Изд. АН СССР, М.—Л., 1941.
- Кашкай М. А. Основные и ультраосновные породы Азербайджана. Изд. АН Азерб. ССР, 1947.
- Петрология и металлогения Дашикесана. Изд. «Недра», М., 1965.
- Коржинский Д. С. Очерк метасоматических процессов. В сб. «Основные проблемы в учении о магматических рудных месторождениях». Изд. АН СССР, 1955.
- Михеев В. И. Рентгенотермический определитель минералов. Гос. науч.-тех. изд-во литературы по геологии и охране недр. М., 1957.

Институт геологии

Поступило 22. I 1967

Р. Г. Ыэсэнов

ШАҢДАҒ СИЛСИЛЭСИ (КИЧИК ГАФГАЗ) ОФИОЛИТ ФОРМАСИЈАСЫ ИНТРУЗИВЛЭРИ ОРЕОЛУНДА ОЛАН КОНТАКТ-МЕТАМОРФИЗМ ПРОСЕССЛЭРИ НАГГЫНДА

ХУЛАСЭ

Кичик Гафгазын Шаңдағ силсиләсіндә жаш вә тәркибчә мұхтәлиф интрузивләре малик офиолит формасијасында силициумлашма вә контакт-метаморфизм просессләри кениш интишар тапмышыдыр.

Силициумлашма серпентинитләри (апоперидотитләри) Ашагы Сенонун туфокен сүхурлары илә тәмаса кәлдији саһәләрдә мұшаңидә олунур. М. Э. Гашгајын фикринчә, кимәви тәркибиндә 89,94% SiO₂ гејд олунан бу сүхурларын әмәлә қәлмәси серпентинләшмә заманы перидотитләрдән силициумун кәтирилмәси илә әлагәдардыр.

Контакт-метасоматик просессләр Жухары Сенон жашлы әһәнк дашларынын бүллары Яран габбро-диорит тәркибли кичик интрузивләрдә тәмаса кәлдији јерләрдә мұшаңидә олунур вә әмәлә қәлән скарилар айдын метасоматик зоналлыға маликдир. Интрузивләри ендоконтакт бојунча мұхтәлиф дәжишилмәләрдән башга, әһәнк дашларына дөргү хлорит, гранат вә калцит гырышығы зонасы (40 см), соңра исә гранат скарны (30 см) вә пироксен скарны (60 см) зоналары гејд олунур. Оптика, кимәви вә рентгенометрик тәдгигат көстәрди ки, гранатлар андрадитә, пироксенләр исә ферросалитә уйғундур.

Шаңдағ силсиләсінин скарилары өз тәбиэтине көрә контакт-дифузион олуб постмагматик метасоматозун илкин гәләви мәріеләсі илә әлагәдардыр.

АЗЭРБАЙЧАН ССР ЕЛМЛӘР АКАДЕМИЈАСЫНЫН МӘРУЗӘЛӘРИ
ДОКЛАДЫ АКАДЕМИИ НАУК АЗЕРБАЙДЖАНСКОЙ ССР

ТОМ XXIII

№ 8

1967

ГЕОЛОГИЯ НЕФТИ

А. М. МАМЕДОВ

К МЕХАНИЗМУ ОБРАЗОВАНИЯ ГРЯЗЕВЫХ ВУЛКАНОВ

(Представлено академиком АН Азербайджанской ССР А. А. Якубовым)

Изучение грязевых вулканов имеет не только научное значение, но и большой практический интерес для оценки перспектив нефтегазоносности отдельных районов и выяснения вопроса целесообразности разведки площадей, пораженных грязевыми вулканами.

Тщательное изучение грязевых вулканов отдельных геологических областей Советского Союза позволило исследователям сделать ряд выводов об основных факторах, обуславливающих образование грязевых вулканов. По вопросу генезиса грязевых вулканов существуют различные мнения. Одна группа исследователей (Г. В. Абих, С. А. Ковалевский и др., считает, что грязевые вулканы генетически связаны с магматическими очагами и их деятельность в основном зависит от глубинного происхождения газа [1, 9].

Другая группа исследователей (А. Д. Архангельский, Н. С. Шатский и др.) полагает, что образование грязевых вулканов связано с тектоническими движениями—с образованием диапировых структур, развитием разрывных нарушений и т. д. [4, 13].

Третья группа исследователей (И. М. Губкин, С. Ф. Федоров, А. А. Якубов и др.) считает, что образование грязевых вулканов обусловлено геологическими особенностями района и в основном зависит от наличия диапировых структур с разрывными нарушениями; наличия в разрезе пластичных пород, погребенных пластовых вод, наличия в недрах залежей нефти и газа и т. п.

В последние годы была выдвинута четвертая точка зрения (М. К. Калинко) о том, что в механизме образования грязевых вулканов основную роль играет аномально-высокое пластовое давление флюидов, приводящее в определенных геологических условиях к разрыву сплошности горных пород [8].

В задачу настоящего исследования не входит критический разбор тех или иных перечисленных факторов, являющихся причиной образования грязевых вулканов, однако указывается, что еще одним из необходимых условий возникновения грязевых вулканов являются определенные углы падения пластов, участвующих в строении структур. В результате анализа 158 структур, находящихся в районах распространения грязевых вулканов Азербайджана, была сделана попытка

Класс	Подкласс	Классификация структур с точки зрения возможности извозможности образования грядовых вулканов	Структуры, пораженные грядовыми вулканами		Кол-во структур	Средний угол падения крыльев структур палеогеновых и неогеновых отложений		
			2	3		4	5	6
I	a	Крылья залегают под углом $15 \div 50^\circ$	Локбатан, Шонгар, Кяшизлаг, Калмас, Бабазан, о. Дуваний, о. Свияжинхатарма, Умоаки и др.		42	26—36		$< 14^\circ$
	б	Одно крыло залегает под углом $< 15^\circ$, а другое $> 50^\circ$	Дуздаг, Кушкуна II, Карагепе, Малый Палатекин и др.	10			58—66	10—15
II	a	Одно крыло залегает под углом $15 \div 50^\circ$, а другое $< 15^\circ$	Хиллы, Нефтечала, Хыдырлы, о. Куринский Камень		4	24—29		10—14
	б	Крылья залегают под углом $< 15^\circ$	Кюрдаханы, Сурханы, Кала, Зыры, Южная, Палладар, Булла-море, Сальянский рейд и др.	24				7—12
III	a	Одно крыло залегает под углом $15 \div 50^\circ$, а другое $> 50^\circ$	Фатма, Чейлдаг, Челахтарма, Угальги, Тойнгачалы-море и др.		37	29—37	57—67	
	б	Крылья залегают под углом $> 50^\circ$	Аташка, Гейтепе, Новханы, К. Григоренко, Агбурун, Южный Бургут, и др.	16			54—67	

Окончание таблицы								
1	2	3	4	5	6	7	8	9
IV	a	Крыло залегающее под углом $15 \div 50^\circ$, надвинуто на крыло, залегающее под углом $> 50^\circ$	Бурансыз-Боянатан, Исламдаг, Западный Джагати, Восточный Сунду и др.		7	34—41	61—71	
	б	Крыло, залегающее под углом $> 50^\circ$, надвинуто на крыло, залегающее под углом $15 \div 50^\circ$	Сунду, Ильхичи, Северный Зарабчи, Сикжад и др.	8	25—35	58—69		
V	a	Крыло, залегающее под углом $15 \div 50^\circ$, надвинуто на крыло, залегающее под углом $> 50^\circ$						
	б	Крыло, залегающее под углом $< 15^\circ$, надвинуто на крыло, залегающее под углом $15 \div 50^\circ$	Донгузлыг	1	40—44			6—10
VI	a	Крыло, залегающее под углом $15 \div 50^\circ$, приподнято по отношению к крылу, залегающему под углом $> 50^\circ$	Бюргут, Нардарана, Солохай, Айрангекин и др.		7	30—35	56—64	
	б	Крыло, залегающее под углом $15 \div 50^\circ$, опущено по отношению к крылу, залегающему под углом $> 50^\circ$	Миаджик	1	18—22	50—55		
VII	a	Крыло, залегающее под углом $15 \div 50^\circ$, приподнято по отношению к крылу, залегающему под углом $< 15^\circ$						
	б	Крыло, залегающее под углом $15 \div 50^\circ$, опущено по отношению к крылу, залегающему под углом $< 15^\circ$	Каргабазар	1	38—45			8—10

классифицировать эти структуры на VII классов (см. таблицу) с точки зрения возможности и невозможности образования грязевого вулкана.

В результате анализа фактических материалов установлено, что в районах образования грязевых вулканов Азербайджана все известные структуры с пологими ($<15^\circ$) и крутыми ($>50^\circ$) углами падения крыльев, состоящие из пород палеогенового и неогенового возраста, не поражены грязевыми вулканами. Грязевые вулканы в основном приурочиваются к тем структурам, в которых одно из двух крыльев залегает под углом в пределах $15\text{--}50^\circ$.

Указанные пределы углов падения не являются твердыми границами между возможностью и невозможностью образования грязевых вулканов. В числе рассмотренных 158 структур встречается несколько, углы падения крыльев которых отходят из указанного предела на $3\text{--}5^\circ$. Так что приведенные пределы углов падения пластов могут быть приняты с точностью до $3\text{--}5^\circ$.

Все структуры с точки зрения возможности и невозможности образования грязевых вулканов разбиты на VII классов с двумя подклассами. Первые подклассы (Ia, IIa, IIIa, IVa, Va, VIa, VIIa) являются благоприятными, а вторые (Ib, IIb, IIIb, IVb, Vb, VIb, VIIb) неблагоприятными для образования грязевых вулканов (см. таблицу).

В классах V и VI (подклассы Va и VIIa) в графе „структуры, пораженные грязевыми вулканами“, мы не могли привести фактического материала по данным грязевых вулканов Азербайджана. По видимому, эти графы будут заполнены на материале других районов или в результате дальнейшего исследования геологического строения известных грязевых вулканов.

Все грязевые вулканы, приведенные в таблице, расположены в основном на палеогеновых и неогеновых отложениях, кроме 2—Кюрдамич северной и Кюрдамич южной складки (подкласс Ia).

Известно, что грязевые вулканы в основном приурочены к сводам антиклинальных поднятий, однако имеются случаи размещения их на периклинальных и крыльевых частях структур. При анализе фактического материала установлена теснейшая связь размещения грязевых вулканов на структурах в зависимости от тектонического строения поднятий. Так, на поднятии Барыдаш грязевой вулкан Дувандаг находится на СЗ периклинали, углы падения крыльев которой изменяются в пределах $15\text{--}50^\circ$, а в остальных частях структуры углы падения крыльев изменяются в пределах $48\text{--}85^\circ$, никаких признаков грязевого вулканизма не наблюдается.

На поднятии банка Дарвина грязевой вулкан расположен на своде складки. В тектоническом отношении поднятие б. Дарвина представляет собой самостоятельную брахиантиклинальную складку кавказского направления. В южной части складки кругозалегающее восточное крыло ($50\text{--}60^\circ$) надвинуто на западное крыло, залегающее под углом $45\text{--}50^\circ$, а в северной части, наоборот, западное крыло, залегающее под углом $55\text{--}60^\circ$, надвинуто на восточное крыло, залегающее под углом $45\text{--}50^\circ$, которые характеризуют подкласс IVb. Грязевой вулкан б. Дарвина расположен в зоне перехода одного надвига в другой, где имеется условие возникновения грязевого вулкана (подкласс IIIa).

Ниже приводится ряд наблюдений, наглядных примеров с точки зрения возможности и невозможности образования грязевых вулканов. Так поднятие Кергез—Кызылтеле в тектоническом отношении состоит из двух частей—меридиональной и широтной. Широтная часть структуры не поражена грязевым вулканом (подкласс VIb), здесь южное крыло, залегающее под углом $45\text{--}60^\circ$, надвинуто на

северное крыло, залегающее под углом $15\text{--}30^\circ$, а в меридиональной части складка восточное крыло залегает под углом $60\text{--}70^\circ$, западное—под углом $35\text{--}45^\circ$, и в этой части структуры расположен грязевой вулкан (подкласс IIIa).

Поднятие Карадаг также состоит из двух частей—меридионально и широтно расположенных брахиантиклиналей. В меридиональной части складки, где углы падения крыльев изменяются в пределах $55\text{--}70^\circ$, отсутствует грязевой вулкан (подкласс IIIb), а широтная часть структуры поражена несколькими грязевыми вулканами (подкласс Ia): Ахтарма, Торпаглы—Ахтарма и Пильпили (с востока на запад), расположенные в присводовой части южного крыла. В этой части структуры крылья залегают под углом $30\text{--}40^\circ$.

Известно, что все районы грязевых вулканов Азербайджана, Западной Туркмении, Джунгарской впадины, Керченско-Таманского полуострова, о. Сахалина, Пакистана, Ирана, о. Тринидата, о. Тимара, о. Ява, Бирмы, Румынии, Калифорнии, Мексики, Венесуэлы и др. приурочены к погруженным частям альпийской складчатости, где имеется довольно мощная толща глинистых осадков палеогеновой и неогеновой систем.

Исследователями установлено [3, 7, 11, 15 и др.], что с приближением от зон палеогеново-неогеновых отложений с интенсивным развитием грязевых вулканов к зоне развития мезозойских отложений наблюдается уменьшение как количества грязевых вулканов, так и силы проявления и интенсивности их извержения, а в областях развития мезозойских отложений грязевых вулканов почти нет, что связано с отсутствием в разрезе пластичных глин. А. А. Якубов и М. М. Зейналов [15] по этому поводу пишут: „Если в разрезе отложений отсутствуют пластично-глинистые породы, то грязевой вулкан не образуется. В этих случаях возникают только маленькие грифоны без твердых продуктов извержения. Такие грифоны встречаются в северном Кобыстане (Астраханка, Кюрдамич, Набур), в них происходит бурное выделение газа без особых твердых выбросов. В подобных случаях периодические извержения не наблюдаются“.

Привлекают внимание грязевые вулканы Котурдаг в Азербайджане и Разнокольский на Таманском полуострове. В отличие от других на этих вулканах проявления извержения происходят непрерывно и очень медленно, подобно выжиманию пасты из тюбика. Так, движение грязевой брекции в результате выдавливания из кратера грязевого вулкана Котурдаг впервые было отмечено в 1926 г. С. А. Ковалевским [9]. Автор, производя несколько замеров скорости выдавливания сопочной брекции в 1926—1927 г., установил, что в центре кратера скорость движения твердой массы брекции однаковая и составляет 3,5 м в месяц. Подобные замеры на Котурдаге также проведены Б. И. Кошечкиным [10] в 1954 г. и С. Г. Салаевым. М. М. Зейналовым [12] в 1955—1957 гг. По данным Б. И. Кошечкина, годовая скорость выжимания сопочной массы (шириной потока, равной 50 м) вулкана Котурдаг составляет 10 м в год.

Более точные сведения о выжимании сопочной брекции вулкана Котурдаг получены С. Г. Салаевым и М. М. Зейналовым; в результате проведенных наблюдений на вулкане в течение 1955—1957 гг. авторами установлено, что среднесуточная скорость выдавливания сопочной брекции—5 см, среднегодовая—17—18 м, а объем брекции одного года составляет около 8100 м³. Ширина, высота и длина потока этой плотной сопочной брекции соответственно составляют 30 м, 12,5—15 м, 1500 м.

Все вышеперечисленные исследования показывают, что грязевые вулканы образуются в результате выжимания пластичной глины из глинистых пластов палеогена и неогена. Движение пластичной глины в сторону нарушенной зоны с наименьшим сопротивлением происходит под влиянием разности геостатических нагрузок, которые являются результатом увеличения мощностей пластов от склонов антиклиналей в сторону синклиналей, что в свою очередь зависит от тектонического строения крыльев, т. е. именно от углов падения их. Последнее доказано многочисленными фактическими данными, и на этой основе разработана классификация грязевых вулканов с точки зрения образования их.

Согласно мнению большинства исследователей, для образования грязевых вулканов необходимым является наличие следующих условий:

- 1) диапировых структур с разрывными нарушениями;
- 2) пластичных глинистых пород в разрезе;
- 3) погребенных пластовых вод;
- 4) залежей нефти и газа в недрах.

В результате анализа фактических материалов выявлено, что, помимо вышеперечисленных факторов, основным для образования грязевых вулканов является также наличие благоприятных углов падения крыльев (изменяющихся в пределах $15 \div 50^\circ$) с учетом условий, показанных в приведенной таблице. Углы падения пластов в свою очередь приводят в движение пластичные глины под влиянием геостатического давления вышелегающих пластов.

Таким образом, устанавливается, что для образования грязевых вулканов наиболее важным является наличие пластично-глинистых пород в разрезе, тектонических нарушений, охватывающих отложения палеогена и неогена, и благоприятных углов падения крыльев складок.

Что же касается силы газа в деятельности грязевых вулканов, то предполагаем, что она не является основным фактором, а влияет лишь на интенсивность и периодичность извержения.

Выявленная закономерность образования грязевых вулканов в зависимости от углов падения крыльев с учетом условий, показанных в таблице, позволяет в некоторой степени судить о некоторых моментах истории геотектонического развития областей распространения грязевых вулканов, о характере изменения мощностей крыльев структур, пораженных грязевыми вулканами, и об условиях формирования нефтегазовых залежей.

ЛИТЕРАТУРА

1. Абих Г. В. О появившемся на Каспийском море острове и материалах к познанию грязевых вулканов Каспийской впадины. Тр. Геол. ин-та АзФАН СССР, т. XII, 63; 1939. 2. Агаджев М. Г., Мамедов А. В. Геология и нефтегазоносность западного Азербайджана. Азнефтехиздат, 1960. 3. Алиев А. К. Геология и нефтегазоносность Кура-Араксинской области. Азербашпр, Баку, 1960. 4. Архангельский А. Д. Несколько слов о генезисе грязевых вулканов Апшеронского и Керченско-Таманской областей. ВМОИП, отд. геол., 1925. 5. Ахмедов Г. А. Геология и нефтегазоносность Кубыстана. Азнефтехиздат, 1957. 6. Ахмедов Г. А., Салаев С. Г. Багирзаде М. Ф. Геология нефтяных и газовых месторождений Азербайджана (на азерб. яз.). Азнефтехиздат, 1958. 7. Даашев Ф. Г. Углеводородные газы грязевых вулканов Азербайджана. Азербашпр, 1963. 8. Калинко М. К. О механизме и условиях образования грязевых вулканов. Тр. ВНИИГНИ, вып. 27, 1960. 9. Колавеский С. А. Грязевые вулканы Южного Прикаспия. Азгостонтехиздат, 1940. 10. Кошечкин Б. И. Значение грязевого вулканизма в новейшем рельефообразовании Апшеронского полуострова. Вестник Ленинградского ун-та, № 7, сер. биол. и геол.-геогр., 1955. 11. Назаров Н. О. Грязевые вулканы Кеймирчикильярского райо-

на юго-западного Туркменистана. Изд. АНТССР, 1957. 12. Салаев С. Г., Зейналов М. М. Некоторые особенности грязевого вулкана Котурдаг. АНХ, № 2, 1959. 13. Шатский Н. С. Дислокационные брекчи и грязевые вулканы в Азербайджане. ВМИОП, № 12, 1929. 14. Якубов А. А. Грязевые вулканы Азербайджана и их связь с нефтяными месторождениями. Изд. АН Азерб. ССР, 1948. 15. Якубов А. А., Зейналов М. М. К вопросу о генезисе грязевых вулканов. «Нефть и газ», № 12, Изд. МВ и ССО СССР, 1962.

Институт геологии

Поступило 17. I 1967

Э. М. Мэммэдов

Палчыг вулканларының әмәлә қәлмәси механизминә даир

ХУЛАСӘ

Палчыг вулканларының өјрәнилмәсінин елми, еләчә дә әмәли әһәмијәти вардыр. Белә ки, бу, айры-айры палчыг вулканлары илә мүрәккәбләшмиш структурларын нефтилик-газлылыг перспективилигинин саһәләрин кәшфијат нәгтєи-нәзәриндән мәгсәдәујғун олдуруну аյдаңлашдырмаға имкан верир:

Мүәллиф Азәрбајчанда палчыг вулканларының йајылдығы вилајәтләрдә 158 структуру тәдгиг едәрәк айдаңлашдырыштыры ки, палчыг вулканларының јөрләшиди структурларда ганадларын булағы $15 \div 50^\circ$ арасында дәјишир. Надир һалларда йатма булағының кестәрилән һәддән $3 \div 5^\circ$ артыг вә йаҳуд аз олмасы мұшанидә едилир.

Беләликлә мүәјјән едилемишdir ки, ганадлары 15° -дән ашағы вә 50° -дән артыг булагла йатан структурлар палчыг вулканларының әмәлә қәлмәси үчүн әлверишли дејил. Бу, чох күман ки, структурларын ганадлары $15 \div 50^\circ$ булагла йатдыгда Палеокен вә Неокен чөкүнүләриндән тәшкіл едилемиш йүмшаг килләрин йүхарыда йатан сұхурларын кеостатик тәэсіги нәтижесинде сыйылараг мүәјјән позулмаларла палчыг вулканы әмәлә қәтиромәси үчүн мұвағиг шәрайт Јаратдығыны кестәрир.

Мүәллиф 158 структуру палчыг вулканларының әмәлә қәлмәси вә қәлмәмәси нәгтєи-нәзәриндән ики йарымсинаидән ибарәт олан 7 синифә айырмашыры. Биринчи йарымсинаифләрдә (Ia, IIa, IIIa, IVa, Va, VIa вә VIIa) палчыг вулканларының әмәлә қәлмәси вә иккинчи йарымсинаифләрдә (Ib, IIb, IIIb, IVb, Vb, VIb вә VIIb) исә онларын әмәлә қәлмәмәси шәртләри кестәрилмишdir.

ГЕОФИЗИКА

Ф. Т. КУЛИЕВ, В. А. АЛИЕВ, К. Ш. ИСЛАМОВ

САЛЬЯНСКОЕ ЗЕМЛЕТРЯСЕНИЕ В АВГУСТЕ 1965 года

(Представлено академиком АН Азербайджанской ССР А. Д. Султановым)

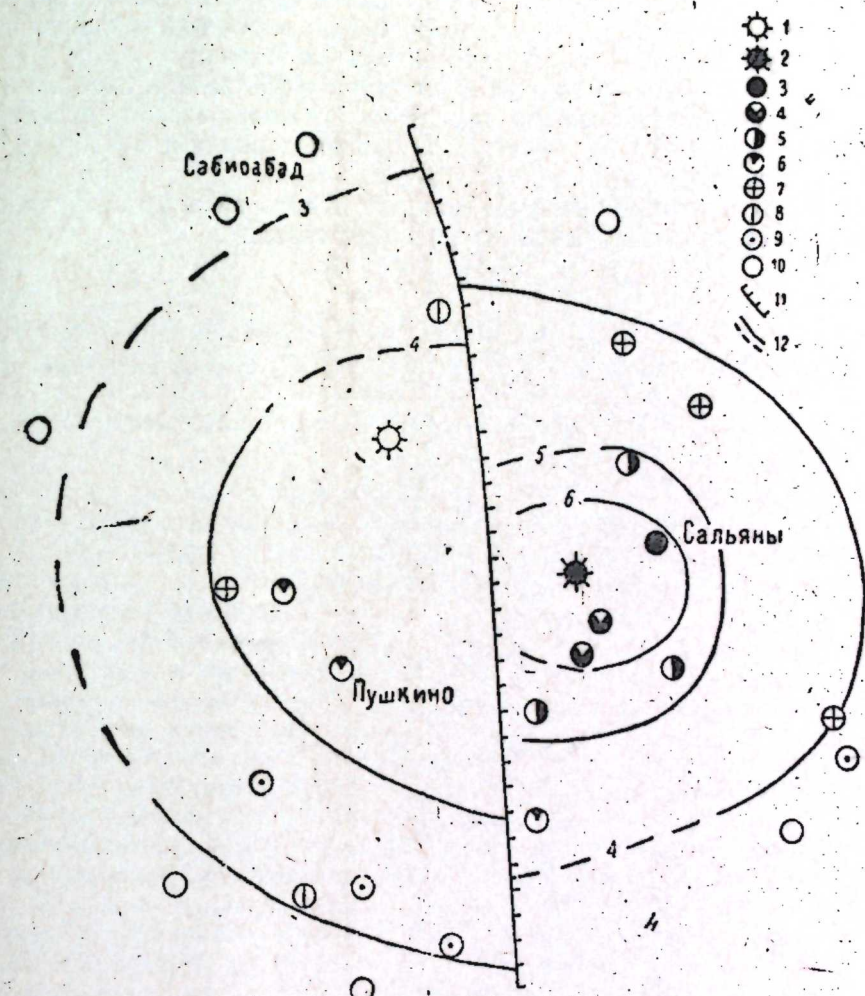
24 августа 1965 г. в 01 ч. 39 мин. 43 сек. по Гринвичу произошло сильное землетрясение с эпицентром в 10 км к юго-западу от г. Сальяны. По инструментальным данным, магнитуда землетрясения $M=3\frac{1}{4}$, координаты эпицентра $\varphi=39^\circ$, 7 N и $\lambda=45^\circ$, 6 E, глубина очага $h=25$ км. Абсолютное значение вектора полного смещения в Кировабаде составило 7,9 микрон (по горизонтальной составляющей—5,2 μ , по вертикальной—2,8 μ). На основе микросейсмических данных, координаты эпицентра $\varphi=39^\circ$, 6 N и $\lambda=48^\circ$, 9 E (в 25—30 км к юго-востоку от эпицентра, определенного инструментально) и по [1] глубина очага $h=10$ —15 км, энергетический класс землетрясения $K=12$. Сила землетрясения в эпицентре не более 6 баллов.

С наибольшей силой—6 баллов—землетрясение ощущалось в г. Сальяны. Здесь во многих зданиях группы А и Б легкие повреждения (тонкие трещины в штукатурке, осыпание побелки), в некоторых значительные (тонкие трещины в стенах, откалывание кусков штукатурки). Качались висячие предметы, падала посуда, люди выбегали из помещений.

В других населенных пунктах землетрясение ощущалось следующим образом (рисунок): Сарван, Кызылагач—5—6 баллов; Шорсул, Кюркарабуджаг, Салманлы—5 баллов; Банка, Холкарабуджаг, Пушкино, овцеводческий совхоз (в 25 км от Пушкино)—4—5 балла; Каракала, Халадж, Новотроицкое—4 балла; Астраханбазар, Кировкенд—3—4 балла; Хырмандалы, Новоголовка, Нефтечала, Учтепе—3 балла; им. 26 бакинских комиссаров, Али Байрамлы, Знойный, Сабирабад, Саатлы; Джалаир, Пришиб, Полтавка—не ощущали.

Как видно из рисунка, Лагич-Кызылагачский глубинный разлом заметно экранировал энергию землетрясения. Подобное явление наблюдалось при обследовании и прежних землетрясений в этой области [2, 3]. Сопоставляя результаты обследования этих землетрясений и используя метод [4], можно полагать, что корни Лагич-Кызылагачского разлома в районе г. Сальяны заложены на глубину 10—15 км, севернее—на значительно большую. Сильное различие в координатах эпицентра по инструментальным и макросейсмическим данным обусловлено, по-видимому, тем, что сейсмические лучи на трассе очаг—станция в зависимости от геологического строения (тектоники, нали-

чия разломов, литологии и т. д.) испытывают неоднократные отклонения по вертикали и горизонтали от направления, принимаемого за "истинный" путь распространения волн. А это ведет к заметным искажениям в определениях значений азимута на эпицентр, скоростей сейсмических волн и т. д.



1 — эпицентр по инструментальным данным; 2 — эпицентр по макросейсмическим данным; 3 — сила сотрясения 6 баллов; 4 — сила сотрясения 5—6 баллов; 5 — сила сотрясения 5 баллов; 6 — сила сотрясения 4—5 баллов; 7 — сила сотрясения 4 балла; 8 — сила сотрясения 3—4 балла; 9 — сила сотрясения 3 балла; 10 — землетрясение не ощущалось; 11 — флексуры и глубинные разломы; 12 — изосейсты.

Авторы выражают свою благодарность Г. А. Гасанову и Т. И. Кацаткину за содействие в сборе макросейсмических и инструментальных данных.

ЛИТЕРАТУРА

- Медведев С. В. Инженерная сейсмология. Стройиздат, М., 1962.
- Кулиев Ф. Т., Алиев В. А., Исламов К. Ш. Имишлийское землетрясение в ноябре 1964 года. (В печати).
- Кулиев Ф. Т., Алиев В. А., Исламов К. Ш. Имишлийское землетрясение в мае 1965 года. (В печати).
- Рагимов Ш. С. Изучение строения земной коры по макросейсмическим данным. ДАН Азерб. ССР, т. 19, № 11, 1963.

Институт геологии

Поступило 18. II 1967

Август 1965-чи ил Салjan зэлзэлэси

ХУЛАСЭ

1965-чи ил августун 24-дэ Гринвич вахты илэ saat 01. 39 дэгигэдээ Салjan рајонунда бал күчүндэ зэлзэлэ баш вермишдир. Чиһазларын вердији мэ'луматлара эсасэн епсентрин координаты $\varphi=39^\circ$, 7 N, $\lambda=48^\circ$, 6 E, $M=31/4$ вэ очагын дэрилиji $h \approx 25$ км-дир. Зэлзэлэ баш верэн рајонун јохланмасыидан алынан мэ'луматлара эсасэн епсентрин координаты $\varphi=39^\circ$, 6 N, $\lambda=48^\circ$, 9 E, очагын дэрилиji $h=10-15$ км вэ зэлзэлэниг енержи классы $K=12$ -дир.

Мэглэдэ мухтэлиф јашаыш мэнтэгэлэриндэ зэлзэлэниг нечэ бал күчүндэ һисс едилмэси һаггында мэ'лумат верилир.

ГЕОФИЗИКА

О. Б. БАБАЗАДЕ

О ВЫЯВЛЕНИИ И ТРАССИРОВАНИИ ГЛУБИННЫХ РАЗЛОМОВ
В ЗЕМНОЙ КОРЕ НА ПРОФИЛЯХ ГСЗ В АЗЕРБАЙДЖАНЕ

(Представлено академиком АН Азербайджанской ССР А. А. Ализаде)

За период с 1963 по 1966 гг. на территории Азербайджана отработано пять профилей методом глубинного сейсмического зондирования ГСЗ (рис. 1.) В выполнении этих работ принимали участие две организации: Азербайджанский филиал ВНИИгеофизики и Контора морской геофизической разведки.

Результаты исследований позволили сделать ряд важных выводов, в частности, установить факт слоистости консолидированной коры, блоковое строение кристаллического фундамента, подстилающего мощные отложения осадочного покрова [1, 3], а также различный характер структурного изменения слоистости в пределах блоков.

Как известно, не менее важным фактором является существование сравнительно узких зон, обусловливающих блоковое строение земной коры — глубинных разломов [2, 5]. Выявление и трассирование их имеет важное практическое и научное значение. В этом направлении значительная роль также принадлежит методу ГСЗ, в котором определилась тенденция к поискам критериев глубинных разломов [3, 4].

В настоящей статье изложены результаты использования сейсмических критериев для обнаружения глубинных разломов на профилях № 4, 5, 6 ГСЗ.

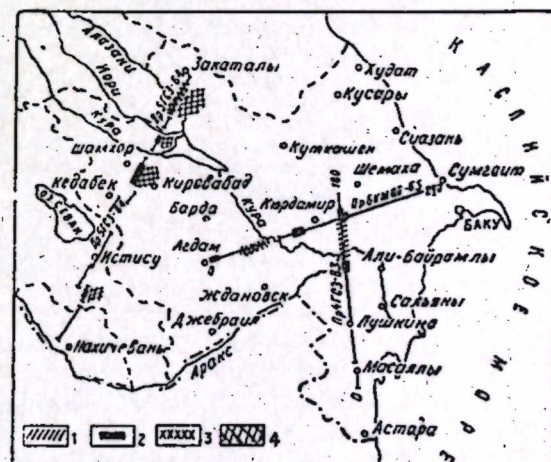


Рис. 1. Схема расположения профилей:
1 — зона разлома с внедрением; 2 — приконтактовые швы; 3 — зоны глубинных разломов, выраженные ступенями на поверхности консолидированной коры; 4 — пространственное направление глубинных разломов.

Наглядной иллюстрацией возможности выделения зон глубинных разломов по данным ГСЗ служит рис. 2, где представлен разрез по профилю № 4. Здесь сложная зона разлома, имеющая ширину порядка 40 км (что позволяет выделить ее в отдельный блок), ограничена узкими разломами — приконтактовыми швами. Эти щвы отчетливо фиксируются точками дифракций. Резкое повышение граничной скорости в пределах зоны разлома свидетельствует о внедрении выполняющих ее пород с глубины. Мощность этих пород установить не удалось. Возможно, что внедрившиеся породы создали базальтификацию „гранитного слоя“.

Другой пример выявления глубинных разломов представлен на разрезе консолидированной коры вдоль профиля № 5 (рис. 3). Этот профиль интересен тем, что пересекает различные по своему строению крупные тектонические единицы. Из-за неполной системы наблюдений степень детальности освещения разреза не везде одинакова. Основные границы построены в виде отдельных, разрозненных вдоль профиля элементов. В связи с этим использование всех критериев при выявлении глубинных разломов не представилось возможным. Наличие их в основном определено по результатам обработки дифрагированных волн, которые зарегистрированы на поверхности наблюдений от различных объектов, сосредоточенных в зонах разломов. Эти объекты определены и представлены на разрезе в виде точек дифракций. Концентрация их вдоль профиля является надежным структурным критерием, позволяющим в какой-то степени локализовать и трассировать зоны глубинных разломов. Дифрагирующие объекты на данном разрезе, вероятно, связаны с зонами швов и неровностями на границах стыка различных по составу пород „гранит—базальт“.

Таким образом, выявлено четыре зоны разломов, глубина проникновения которых охватывает всю кристаллическую толщу и ниже. Формы и наклоны этих зон различны.

Наиболее интересным представляется глубинный разлом в северо-восточной части профиля (последняя зона), который можно охарактеризовать по совокупности признаков.

Поверхность кристаллического фундамента в данной части профиля резко погружается от 5 до 12 км. Этим, возможно, и объясняется опускание в бассейне р. Алазани (Ширакская степь). Амплитуда на-

рушения порядка 7—8 км. Именно в такой сложно построенной и, вероятно, раздробленной зоне зарегистрированы дифрагированные волны с различных пунктов взрыва.

Глубинный разлом разделяет два блока, которые смещены относительно друг друга по вертикали, что выражено в ступенчатой форме поверхности кристаллического фундамента и в различно направленной слоистости в пределах этих блоков (в опущенном блоке отражающие площадки резко погружаются в северо-восточном направлении, а в приподнятом блоке площадки в этом же направлении вздымаются под резкими углами).

На профиле № 6, который пересекает Куринскую впадину и Кобыстан, по обработке гидографов дифрагированных волн совместно с другими сейсмическими признаками также выделены глубинные разломы. Из разреза на рис. 4 видно, что вдоль профиля выделяется ряд зон, которым соответствуют аномальные сейсмические записи, резкое изменение средней скорости, концентрация точек

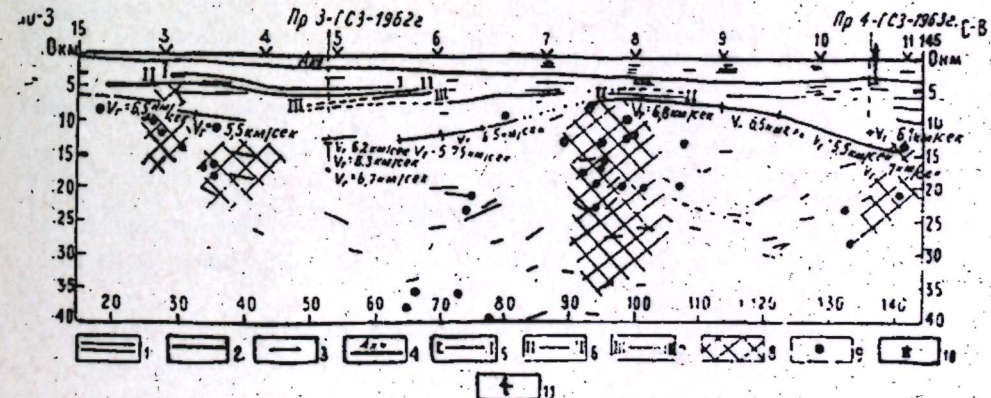


Рис. 3. Разрез профиля № 5 ГСЗ:
1 — пункты взрыва; 2 — граничная скорость;
3 — граница «гранита»; 4 — граница «базальта»;
5 — отражающие площадки; 6 — зоны глубинных разломов с точками дифракций; 7 — значения глубин залегания границы Мохоровичча (M) по начальным точкам для разных пунктов взрыва.

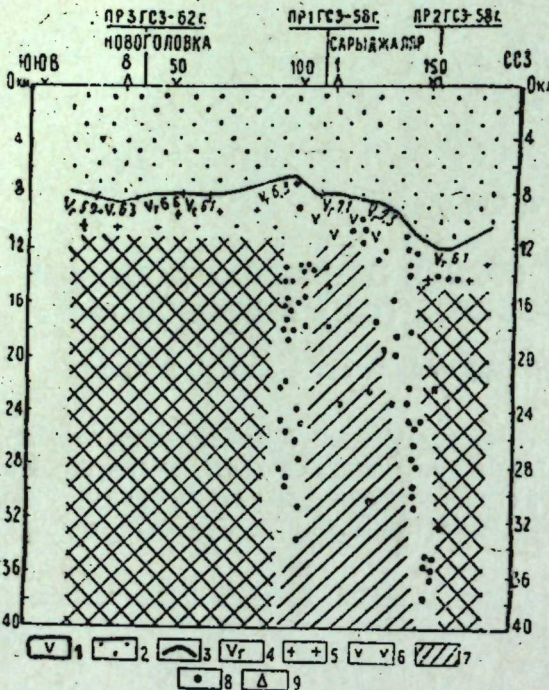


Рис. 2. Разрез профиля № 4 ГСЗ:
1 — пункты взрыва; 2 — осадочный покров; 3 — поверхность консолидированной коры; 4 — граничная скорость преломляющего горизонта; 5 — породы кислого состава («гранит»); 6 — породы основного состава («базальт»); 7 — зона разлома с внедрением; 8 — зоны с точками дифракций (приконтактовая зона); 9 — скважина.

дифрагирующих объектов, сосредоточенных в зонах разломов. Эти объекты определены и представлены на разрезе в виде точек дифракций. Концентрация их вдоль профиля является надежным структурным критерием, позволяющим в какой-то степени локализовать и трассировать зоны глубинных разломов. Дифрагирующие объекты на данном разрезе, вероятно, связаны с зонами швов и неровностями на границах стыка различных по составу пород „гранит—базальт“.

Таким образом, выявлено четыре зоны разломов, глубина проникновения которых охватывает всю кристаллическую толщу и ниже.

Формы и наклоны этих зон различны.

Наиболее интересным представляется глубинный разлом в северо-восточной части профиля (последняя зона), который можно охарактеризовать по совокупности признаков.

Поверхность кристаллического фундамента в данной части профиля резко погружается от 5 до 12 км. Этим, возможно, и объясняется опускание в бассейне р. Алазани (Ширакская степь). Амплитуда на-

дифракций. В частности, в юго-западной части профиля выделяется зона, охватывающая интервал пикетов 25–50 (25 км). Она выражается ступенями в поверхности кристаллического фундамента (амплитуда одной ступени порядка 1,5–2 км, другой—3 км). О неоднородном составе пород, слагающих эту поверхность в пределах зоны, свидетельствует факт скачкообразного изменения граничной скорости (6, 8, 5, 5, 6, 3 км/сек). Таким образом, можно предположить, что эта одна сложная зона глубинного разлома, вмещающая в себя несколько узких. На данном разрезе привлекает к себе особое внимание центральная часть, а именно следующие факты: во-первых, поверхность "гранита" имеет антиклинальный перегиб, во-вторых, в пределах этой части разреза выявлена зона разлома шириной 9 км и глубиной проникновения от 9 до 25 км. По указанному разлому сочленяются два блока, каждый из которых (пикеты 35–85 и 105–140), судя по определенному расположению отражающих площадок, являются прогибами. Зона разлома отмечается наличием хаотического расположения площадок, точек дифракций и резкого изменения средней скорости. На поверхности кристаллического фундамента, в пределах этих двух блоков, граничная скорость изменяется от 5,9 до 6,8 км/сек. Зонам повышенных значений граничных скоростей могут соответствовать породы основного состава, обусловленные внедрением магмы с больших глубин по глубинному разлому. Этим, по-видимому, и объясняется подъем поверхности кристаллического фундамента в центральной части и сопровождающее его развитие краевых ступеней в юго-западной части профиля.

Выводы

1. На профилях ГСЗ в Азербайджане показано выявление глубинных разломов и дана их краткая характеристика по внешним признакам, проявленным ступенями, внедрениями, дроблениями на поверхности кристаллической части земной коры и отраженных в виде используемых в совокупности сейсмических критерииев.

2. Установлено, что использование точек дифракций как структурного критерия позволяет выявлять приконтактовые швы (глубинные разломы) и иметь представление о глубине их проникновения в разные этажи земной коры.

ЛИТЕРАТУРА

- Али-заде А. А., Раджабов М. М., Терешко Д. Л. Новые геофизические данные о строении кристаллического фундамента в районе слияния рек Аракса и Куры. Изв. АН Азерб. ССР*, сер. геол. геогр.-наук, № 4, 1965. 2. Гаджиев Р. М. Глубинное геологическое строение Азербайджана. Азгосиздат, 1965. 3. Раджабов М. М., Бабазаде С. Б. Об отражено-дифрагированных волнах, регистрируемых при глубинном сейсмическом зондировании земной коры. Изв. АН ССР*, серия "Физика Земли", № 3, 1966. 4. Соллогуб В. Б. и др. Глубинное строение земной коры вдоль меридианного пересечения Черное море—Воронежский массив. Географический сборник, вып. 15, 1966. 5. Федынский В. В. О региональных геофизических исследованиях. Труды Нижне-Волжского НИИ геофизики и геологии, вып. 2, 1964.

Институт геологии

Поступило 13. III 1967

О. Б. Бабазадэ

Дәринлик сейсмик зондлама профилләри үзрә јер габығында
(Азәрбајҹан) дәринлик јарыгларының ашкар едилмәси
вә изләнмәси

ХҮЛАСЭ

Азәрбајчанда дәринлик сейсмик зондлама (ДСЗ) мә’луматларына әсасен јер габығында ири дәринлик јарыглары ашкар едилмәшидир. Бу мәгсәдлә далға вә структур критеријаларындан сәрһәд сүр’эт-

ләринин кәсскин артыб азалмасы, мұхтәлиф типли дифраксија олумыш далгаларын варлығы, далгалары әкс едән вә сыйдыран сәрһәдләрин жатым бучағының дәжишмәси, бу сәрһәдләрин бир-бiriни шагули хәтт үзрә әвәз етмәси кими амилләрдән истифадә олумушшдүр.

Мәгаләдә бир нечә ДСЗ профили үзрә јер габығының дәринлик гурулушу кәсилишләри верилмишdir. Бу кәсилишләр јухарыда көстәрилән мәгсәд үчүн сејсмик критеријалардан истифадә олумасы нәтичәләрини әжан әкс етдирир. Мәгаләдә һәмчинин ашкар едилмиш дәринлик јарыглары зоналарының гыса характеристикасы верилмишdir. Бу јарыглар јер габығының кристаллик һиссәсі сәттинде пилләләрлә, магма сохулмалары илә, әзилмәләрлә ифадә олумушшдур.

Мүәjjән едилмишdir ки, дифраксија нәгтәләрийдән структур критерија кими истифадә олумасы контакт боюнча јајылан јарыглары (дәринлик јарыгларыны) ашкар етмәјә вә бу јарыгларын јер габығының мұхтәлиф мәртәбәләринә дахил олmasы дәринлиji барәдә тәсәввүр әлдә етмәјә имкан верир.

Дәринлик јарыгларының формасы вә жатымы мұхтәлифdir.

ТОРПАГШУНАСДЫ

Х. Г. МУРАДОВ

ГУБА-ХАЧМАЗ ДҮЗЭНЛИИ МЕШЭЛЭРИНДЭ ПАЛЫД ВЭ ВЭЛЭС ЯРПАГЛАРЫНЫН КҮЛ ТЭРКИБИ ВЭ ҮМУМИ АЗОТУН МИГДАРЫ

(Азәрбајҹан ССР ЕА академики Н. Ә. Әлијев тәгдим етмишdir)

Күл элементләри вә үмуми азот мешә торпагларынын мүнбителлијинде мүһүм рол ојнајыр. Бу исә мешә биткиләринин торпагла гарышылыглы әлагәсиндә айры-айры элементләри дөвраныны вә мұхтәлиф ағач чинсләринин һәммин елементләрлә тә'минолуима дәрәчесини мүәжжәнләш-дирмәjә имкан верир. Мәсәлә мешә торпаглары лабораторијасында өjrәнилир. Дағлыг зонада бу мәсәләнин өjrәнилмәси исә Е. Ф. Шәри-фовун [11], Б. А. Җәфәровун [7] вә Х. Н. Һәсәновун [8] апардыглары тәдгигатларла әлагәдардыр.

Апарылан тәдгигатын (1963—1964) мәгсәдләриндән бири дә Губа-Хачмаз дүзәнлијинин әсас мешә әмәлә кәтирән чинсләри—вәләс вә палыц ағачларының йарпагларында күл елементләринин вә үмуми азотун өјрәнилмәси олмушшур. Тәдгигат Азәрбајҹан ССР-нин характерик дүзән мешәләри олан Хачмаз рајону әразисиндә апарылыштыр. Бу мәгсәдлә 4 нүмүнә мејданчасы аյрылараг ($10-60\text{ м}$ мүтләг һүндүрлүкдә) һәр бир нүмүнә мејданчасында яш вә бојларына көрә орта ағачлар сечилмишdir. Ики ил мүддәтиндә илдә бир дәфә ejni вахтда (25.VIII.63—64) ағачларын мухтәлиф будагларындан йарпаг дәрилләрәк орта нүмүнә дүзәлдилмиш вә онларда күл елементләри вә үмүмi азот тә'жин едилмишdir. Анализин нәтичәләриндән көрүнүр ки, (чәдвәлә баx) истәр чәмән-мешә вә истәрсә дә гәһвәји-мешә торпагларында инкишаф етмиш вәләс, палыц-вәләс вә палыц типли мешәләрдә ағачларын йарпагларында күлүн мигдары йағмурлу кечән 1963-чү илдә 1964-чу илә нисбәтән бир гәдәр јүксәк олмушшур.

Мүэjjэн олмушдур ки, ejни екологий вэ микролим шэрэити олан гарышыг палыд-вэлэс мешэсиндэ вэлэс йарлагларында күлүн фази палыд йарлагларындакына нисбэтэн јүксэкидир (2-чи нүүнэ мејданчалсы). Истэр вэлэс вэ истэрсэ дэ палыд йарлагларында CaO-ин даха чох топландыгы мушаанидэ олунур, бунун мигдары күл тэрибинин 30—50%-ни тэшкил едир. Бу һал торпагларын кальциум—карбонатларла зэнкин олмасы, агачларын өз биологи хүсүсийтэлэри вэ елэчэ дэ иглим шэрэити илэ элагддардыр.

Нэмчинин јашлы вэлэс агачы јарпагларында SiO_2 чаван мешэ јарпагларындакына нисбэтэн даха чохдур. Тэдгигат апарылан саһәлэр микронглим вэ екологи чөһтэн бир-биринэ јахын олмасына бахма-јараг, калсиумун мигдары палыдын јарпагларында вэлэс нисбэтэн чохтопланыр. Күлүн тәркибиндэ бирјарым оксидлэрэ дахил олан алуминиум вэ фосфор да нэээрэ чарпааг дэречэдэ вардыр, дэмир исэ јох дэречэсиндэдир. Күкүрдүн јуксэдэрчэдэ топламасы (кулүн 8–10%-и) агач биткиләринин бу элементлэрэ олан ётиячыны көстэрир.

Күл элементләри илэ бәрабәр, јашыл јарпагда умуми азот да ёренилмишdir. Анализин нәтичеләри көстэрир ки, мешэ агачлары јарпагларында азотун мигдары бүтүн күл элементләринин 40–50%-и гәдәрдир. Бу исэ мешэ биткиләринин торпагы мүнбитләшидирэн әсас мәнбеләрдэн бири олдуғуну сүбут едир. Агач чинсләрине кәлинич палыдын јарпагларында азотун мигдары нисбэтэн чохдур. Бурда екологи шәрайт, иглимин рүтубәтли олмасы да мүэллән тә'сир көстэрир.

ЭДӘБИЙЛАТ

1. Айдинян Р. Х. Зольный обмен между древесной растительностью и черноzemными почвами каменистой степи. "Почвоведение", 1940, № 9. 2. Александрова Л. Н. Методика зольного анализа при почвенных исследованиях. "Пробл. сов. почвоведения". Сб. 15, 1949, Изд-во АН СССР. 3. Афиныушкина Е. В. Руководство по химическому анализу почв. Изд-во Мос. ун-та, 1962. 4. Дунильмасян М. С. Зольный состав листьев и подстилки основных видов лесной растительности Дилижанского лесхоза Армянской ССР. "Изв. АН ССР", 1954, т. 7, № 4. 5. Зони С. В., Мина В. С. О почвообразовательном значении дубовых лесов на различных почвах. "ДАН СССР", 1948, т. 13, № 6. 6. Зони С. В., Мина В. Н. Зольный обмен в дубовых лесах на различных почвах. "Труды Ин-та леса", т. 7, 1957. 7. Степанов Н. Н. Процесс минерализации опадающей листвы и хвои деревьев и кустарников. "Почвоведение", 1940, № 9. 8. Джифаров Б. А. Изменение зольного состава листьев буквы и граба в зависимости от высоты произрастания. "ДАН Азерб. ССР", т. 16, № 3, 1961. 9. Гасанов Х. Н. Динамика накопления лесного опада и обогащение горнолесных почв зольными и органическими веществами на юго-восточном склоне Большого Кавказа. Труды Ин-та почвоведения и агрохимии АН Азерб. ССР, т. XI. 10. В. С. Наконечный. Влияние грабовых насаждений на почвы. Научн. труды Ин-та леса, т. 31, вып. 10, 1963. 11. Ремезов Н. П., Самойлова Е. М., Свирикова И. К., Богашева Л. Г. Динамика взаимодействия дубового леса с почвой. "Почвоведение", 1964, № 3. 12. Шарифов Э. Ф. Некоторые генетические особенности лесных почв Азербайджана (на азерб. яз.). Изд-во АН Азерб. ССР, 1964.

Торпагшүнаслыг вэ
агрокимја институту

Алымышдыр 17.VI 1966

Х. Г. Мурадов

Зольный состав и содержание общего азота в листьях дуба и граба лесов Куба-Хачмасской низменности

РЕЗЮМЕ

В результате двухгодичных исследований нами выявлено, что в увлажненные годы зольный состав в дубовых, грабовых и дубово-грабовых листьях больше, чем в засушливые годы.

В дубово-грабовых лесах при однородных экологических и микроклиматических условиях зольность листьев граба выше, чем у дуба.

Обнаружено, что в листьях более старых грабовых лесов SiO_2 накапливается больше, чем в листьях молодых грабовых лесов.

Во всех типах лесов в золе листьев дуба и граба больше всего содержится CaO в зависимости от гидротермического режима ввиду высокой карбонатности почв и биологической особенности древесных пород.

Аналогичная закономерность относится и к азоту. Чем выше зольность, тем выше содержание азота в листьях дуба и граба.

М. А. БОКУЧАВА, Е. П. НАСАЧЕВА

ОКИСЛИТЕЛЬНАЯ СПОСОБНОСТЬ ЧАЙНОГО ЛИСТА НОВЫХ СЕЛЕКЦИОННЫХ СОРТОВ АЗЕРБАЙДЖАНСКОГО ЧАЯ

(Представлено академиком АН Азербайджанской ССР Д. М. Гусейновым)

Способность чайного листа к равномерной ферментации является одним из важных технологических свойств, так как от этого во многом зависит скорость ферментации и, следовательно, потери танина и других растворимых веществ, а также качество готового чая.

Окислительный процесс при скручивании и ферментации в производстве черного чая зависит в основном от свойств дубильных веществ и действия окислительных ферментов чайного листа, способствующих их окислению [3]. Это окисление выражается в поглощении кислорода, образовании окрашенных пигментов, уменьшении танина [1] и улучшении вкуса.

Нами было проведено сравнительное изучение окислительных свойств новых селекционных сортов азербайджанского чая: азербайджанского № 1, азербайджанского № 2 и контроля (местная китайская популяция).

Методика работы: 100 г свежего листа пропускали через мясорубку, полученную массу перемешивали и быстро взвешивали в навесках по 10 г. В первой навеске определяли содержание влаги, во второй — содержание танина по методу Левентала. Остальные навески в чашках Петри помещали во влажную камеру (относительная влажность — 95–96%) и через каждый час определяли в них содержание танина, при этом постоянно учитывали температуру помещения. Результаты титрования танина в начале процесса принимали за исходное содержание. По уменьшению танина судили об окислительной способности листа. Данные таблицы характеризуют окислительную способность селекционных сортов азербайджанского чая по сравнению с контролем. Из таблицы следует, что скорость ферментативного окисления в мае самая высокая. Если в контроле в мае после одного часа ферментации осталось 80,3% танина, то в азербайджанском № 1 — 75,2%, а в азербайджанском № 2 — 74,7%. Это говорит о том, что ферментные системы у селекционных сортов в первые часы ферментации наиболее активные. Таким образом, в нашем опыте у селекционных сортов в начале ферментации окисление катехинов идет быстрее, но замедля-

**Изучение окислительной способности чайного листа селекционных сортов
в сезоне 1964 года**

Месяц и число	Часы фер- ментации	Контроль Азербайджанский № 2 Азербайджанский № 2						Условия опыта	
		Содер- жание танина							
		Mл. 0,1N KMnO ₄	% от ис- ходного	Mл. 0,1N KMnO ₄	% от ис- ходного	Mл. 0,1N KMnO ₄	% от ис- ходного		
Май 16/V	начало	8,2	100	9,3	100	9,1	100	22—22,5°C 95%	
	1 час	6,6	80,3	7,0	75,2	6,8	74,7		
	2 часа	5,6	68,4	6,5	69,5	6,3	68,8		
	3 часа	5,1	62,1	6,3	67,7	6,0	66,2		
	4 часа	4,2	50,9	5,8	62,6	5,5	60,0		
	5 часов	3,7	46,0	5,4	58,2	5,2	57,1		
Июнь 15/V	начало	10	100	11,4	100	11,0	100	24—24,5°C 96%	
	1 час	8,6	86,0	9,5	74,5	8,7	78,7		
	2 часа	7,4	74,0	8,0	70,4	7,8	71,8		
	3 часа	6,5	65,0	7,7	68,0	7,4	67,5		
	4 часа	5,6	56,0	7,4	64,5	6,7	60,9		
	5 часов	5,0	50,0	6,7	59,3	6,0	54,6		
Июль 13/VII	начало	11,9	100	13,0	100	13,5	100	24,5—25°C 96%	
	1 час	9,9	86,0	11,2	86,1	10,7	79,5		
	2 часа	9,9	78,2	10,5	80,7	10,3	76,9		
	3 часа	7,5	65,2	9,3	71,5	9,1	67,4		
	4 часа	7,0	60,8	8,9	68,44	8,8	65,2		
	5 часов	6,5	56,5	8,0	61,55	8,1	60,5		
Август 11/VIII	начало	9,0	100	10,3	100	100	100	24—24,5°C 96%	
	1 час	7,8	86,6	8,5	82,5	7,5	75,0		
	2 часа	6,4	71,1	7,2	69,2	7,1	71,0		
	3 часа	5,7	63,3	6,8	65,3	6,6	66,0		
	4 часа	5,4	60,0	6,5	63,1	6,4	64,0		
	5 часов	5,1	56,6	6,1	59,2	6,1	61,0		
Сентябрь 13/IX	начало	7,8	100	8,6	100	8,4	100	22,5—23°C 95%	
	1 час	6,4	82,0	7,0	81,3	6,8	80,9		
	2 часа	5,6	71,6	6,6	76,7	6,6	78,5		
	3 часа	5,0	64,1	6,0	69,7	5,9	70,2		
	4 часа	4,4	56,5	6,8	67,4	5,5	65,4		
	5 часов	3,9	50,0	5,3	61,6	5,1	60,0		

ется к концу ферментации, в то время как в контроле, наоборот, наблюдается вначале более слабое окисление катехинов, продолжающееся более интенсивно во второй фазе ферментации, что приводит к обеднению листа катехинами. Эта закономерность наблюдалась в течение всего вегетационного периода. Незначительное уменьшение скорости окисления ферментов наблюдается в период от июня к сентябрю у всех исследуемых сортов.

Установлено, что в течение первых 2—2,5 часов происходит довольно энергичное окисление катехинов и уменьшение общего содержания танина. За этот период уменьшение танина составляет 30—35%, в чае же остается 65—70% растворимого танина от исходного его содержания в сырье.

В последующий период ферментации у контроля происходит более глубокое окисление дубильных веществ, а катехины почти целиком исчезают. Согласно полученным нами данным (таблица), в мае после 5 часов ферментации в контроле осталось 46% танина, в азербайджанском № 1—58%, в азербайджанском № 2—57,1%. Такая же закономерность наблюдалась в течение сезона. В листе селекционных сортов после ферментации всегда остается больше танина, чем в контроле, следовательно, селекционные сорта являются более ценными по качеству.

Это имеет большое значение для качества и пищевой ценности готового продукта, т. к. богатый танином и катехинами чай является ценным источником витамина Р. Весь ход процесса ферментативного окисления в течение вегетационного периода позволяет нам прийти к заключению, что наибольшей активностью ферментов обладает селекционный чайный лист в мае, затем, к концу сезона активность ферментов уменьшается.

Выводы

1. Скорость окисления танина у селекционных сортов в первые часы ферментации более значительна, следовательно, ферментные системы у селекционных сортов наиболее активны.

2. Селекционные сорта могут дать наиболее высокотанинnyе чаи, так как в конце ферментации остается больше танина у азербайджанского № 1 и № 2 по сравнению с контролем.

3. Результаты изучения окислительной способности чайного листа селекционных сортов свидетельствует также о высоких технологических качествах исследуемых новых сортов азербайджанского чая.

ЛИТЕРАТУРА

- Бокучава М. А., Махмудов К. И. Биохимическая характеристика азербайджанского чайного листа (окислительная способность чайного листа). Биохимия и прогрессивная технология чайного производства. М., Изд. "Наука", 245, 1966.
- Бузун Г. А., Джемухадзе К. М., Милешко Л. Ф. Препартивное получение катехинов с применением сефадекса. Прикладная биохимия и микробиология, 1, 5, 522, 1965.
- Шуберт Т. А. О связи дыхания с ферментацией чая. Биохимия чайного производства, 7, 149, 1959.

Ин-т генетики и селекции

Поступило 20. XI 1966

БАЙТАРЛЫГ

М. Г. ГАНИЈЕВ, М. И. ҺЭСЭНОВ

ИРИБУНУЗЛУ ҢЕЖВАНЛАРДА ТӘЧРҮБӘВИ ЙОЛЛА
ЛИСТЕРИОЗУН ӘЛДЕ ЕДИЛМЭСИ

Листериоз инфексијасы дикәр јолухучу хәстәликләрдән фәргли олараг өзүнәмәхсүс спесифик хассәјә маликдир ки, бу да башга јолухучу хәстәликләрә хас олан ганунауғуның зиддир. Анчаг листериоз да башга јолухучу хәстәликләр кими йалызы мүәյҗән груп һејваның хәстәлиги олараг галмыйр, бә'зән бир тәсәррүфатда баш вердиқдән соңра епизоотики характер дашијыр вә бу ваҳт бир нечә тәсәррүфат-да мүшәнидә едилтир. Листериоз хәстәлијинин баш вермәсиндә иглим шәранти мүһум рол ојнајыр.

Белэлгэл, тэбийн суртад хэстэлийн баш вермэсийн онун яаыл-
масында листериоз башга юлухучу хэстэликлэрдэн фэрглэни мир. Лакин
тэчрүбэвийн юлла листериозун элдэ едилмэсингэдэ исэ тамамилэ башга
бир вэзилетэ тэсадуф олунур.

Мөвчуд олан әдәбијатдан мәлүмдур ки, листериоз хәстәлигине јалныз ев һејванлары дејил, башыга һејванлар да тутулур. Аңчаг тәчрүбәви јолла һәмин һејванларда хәстәлиги әмәлә қәтирмәк чох вахт мүмкүн олмур. Белә ки, ирибујнузлу һејванларда, атларда, донузларда, гоյунларда вә дикәр нөв һејванларда апарылан дәриалты, интравеноз, интранозал вә с. үсулларла йолухма һәмишә көзләнилән иәтичәни вермир. Одур ки, тәчрүбәви листериозла әлагәдар олан мәсәләләрин, хүсусилен иммунитетин өјрәнилмәси е'тибарлы йолухдурма үсүлүнүн олмамасы үзүндән позулур.

Листериозун тәчрүбәви јолла әлдә едилмәси һәмниң хәстәлијин ети-
олокијасы, патокенези вә клиникасы, еләчә дә төрәдицинин биологи
хассәсинин өфәннилмәси үчүн бәйлук әһәмијәт кәсб едир. Бу мәсәлә
сон илләр тәлгигатчыларын диггәт мәркәзинде олмушадур.

Ирибујнузлу мәйдандағы тәрэгінде күншілдік мәжбүрлік атқару мүмкін болады.

М. М. Һәлимбәјов (1954) көстәрир ки, гојуидан алымыш листериоз күлтүрасыныдан даңаја интрасеребрал олараг йеритдикдән бир неча саат соңра һәмин һејванды бәдән һәрәрәтиниң артмасы, түкләрин пыр-пызлашмасы, иштаһаның зәйфләмәси үрәкдөйүтүсүнүн вә тәнәффүсүн тезләшмәси; көздән јаш ахмасы вә с. кими клиники нишанәләрә тәсадуф едилмишdir. Көстәрилән нишанәләр 3—4 күн давам етмиш,

соңра һејван сағалмышдыр. Даһа соңра мүэллиф јазыр ки, култура-нын вена дахилинэ вэ әзәлә арасына йеридилмәси тәчүрүбә һејван-ларында (даналарда) һәрарәтин гыса мүддәтли артмасына сәбәб ол-мушдур.

Беләликлә, мүәллиф листериоз културасыны бејин дахилинә, әзәлә арасына вә венаја Јеритмәклә ирибујиузлу һејванларда (мәркәзи әсәб системинин позулмасы нишанәләри илә) тәчрүбәви јолла листериозун әлдә едилмәсинә наил ола билмәмишdir.

А. М. Ханкишиев (1959) листериз огултурасыны мұхтәлиф ѡолла организмә јеритмәкә ирибујнузу һејванларда хәстәлийн тәч-рүбәви ѡолла элдә едилмәси учун кениш тәчруубә иши апармындыр.

Мүэллиф гејд едир ки, култура лимфа вәзләринә јеридилдикдән 11—19 күн сонра мәркәзи синир системинде позгүнлуга тәсадүф едилмиш вә һәмин һејванлар өлмүшдүр. Тәләф олмуш һејванларың бейиң вә дахили органдарындан листериз қултурасы алынышдыр.

Венадахили јолухмада хэстэлийн нишанэлэри јолухмадан 3 күн сонра башламышдыр. Култураны бэйн дахиинэ Јеритдикдэ исэ тэч-рүбэ нэвжаны 2-чи күн тэлэф олмушдур. Гарын пэрдэсиарасы јолухма мусбэт нэтичэ вермэмишдир.

Ирибујнузлу һејванларда сүңи јолла листериоз хәстәлигинин элдә едилмәси үчүн Г. Г. Беденашвили (1965) листериоз күлтүрасыны вена дахилинә, селик пәрдәси алтына, балалыг јолуна јеритмишdir. Көстәрилән јолларла јолухмадан соңра бүтүн тәчрүбә һејванларында гысамүддәтли һәрәрәtin галхмасы, иштаңасызылыг, түкләрин пыр-пызлашмасы кими клиники нишанәләрә тәсадүф едилмишdir. Көстәрилән нишанәләр соңralар тәдричлә юх олмуш ва һејванлар сағалмышды.

Интрацеребрал јолухма заманы исә тәчрубың нејванлары јолухмадан 2-7 күн сонра тәләф олмушадур.

Е. Лунгнер (1937) көстәрир ки, листериоз күлтүрасыны дананың венасына јеритмәкәл о, сүн' ѡолла листериоз элдә етмиш. Јолухманың 2-чи күнү тәчрүба юғары менинкитдән өлмүшдүр.

Р. Греем, Г. Данлеп, Ливајн (1940) ирибујнузлу һејвайларда интрасеребрал јолла јолухма апармагла листериозун әмәлә қәлмәсінә наил ол мушлар. Културанын вена дахилине вә конјуктиваја јеридилмәси 3—4 күн мүддәтинә бәдән һәрәрәтинин йүксәлмәсінә сәбәб олмуш, соңра исә һәрәрәтин ашағы дүшмәсилә һејвайлар сағалмышдыр. Перорол (յүксәк дозада) јолухдурма заманы мұсбәт нәтичә алынма-
мышдыр.

Греј (1956) бөгөз инәклөр үзәриндө тәчрүбә апараг белә иәти-чәје қәлмишdir ки, бөгөзлүгүн сон дөврләриндө култураның јүксәк дозада су илә ичирдилмасиндән соңра хәстәлијин нишанәләри муша-һидә едиilmәмиш вә инәк вахтында нормал доғмушшдүр.

Беләликлә, сун' јолла 'листериоз хәстәлүүнин элдә едилмәсниндә тэтбиг едилән јолухма үсулларынын мұхтәлиф олмасыны вә бу үсулларын мүәјжән дәрәчәдә зиддијәтли хүсусијәтләрини нәзәрә алараг мүәллифләр бу мәсәләни өјрәнмәжи гарышыла гојмушлар. Ейни заманда ирибујнузлу һејванларда әлверишли јолухма үсулунын өјрәнилмәси зәиф вирулентли листериоз күлтурасы илә пејвәнд едилмиш һејванларда иммунитетин әмәлә кәлмәснин јохламаг (контрол јолухма) мәг- садини күлдүр.

Мүәллифләр 12 баш чаван гарамал үзәриндә тәчрүбә апармышлар. Бу гарамаллардан 4 башынын вена дахилинә, 2 башынын трахејасына, 2 башынын дил вә додаг селикалты пәрдәснинә, 1 башынын әзелә арасына микроб чисми Јеридилмеш, 2 башы исә интрасеребрал оларағ юлухдурулмушдур. Бир баш исә контрол учын айрылмыш вә она 3 мл стерил физиологи мәһілүл интрасеребрал оларағ Јеридилмешди.

Организм ашағыдақы дозаларда: вена дахилинә—25 млрд—5 мл, 50 млрд 10—мл, 75 млрд—15 мл, 100 млрд—20 мл; трахејаја—25 млрд—5 мл, 50 млрд—10 мл; әзәлә арасына 75 млрд—15 мл; бејинә 7 вә 10 млрд микроб чисми јеридилшишdir.

Апарылан тәчрүбәләр көстәрмишdir ки, чаван гарамалларда вирулентли листериоз културасыны организмә, вена дахилинә селик пәрдәсінә, әзәлә арасына вә трахејаја јеритдикдә мәркәзи синир системинин позулмасы илә тәчрүбәви ѡолла листериоз алымамышдыр.

Јолухдурулмуш һејванларын һамысында гыса мүддәтдә бәдән һәрәттинин артмасы, иштаһанын зәйфләмәси, сүстлүк, јаш вә селик ахмасы кими клиники нишанәләрә тәсадүф едилшишdir. Бир баш һејванды исә (трахејаја 50 млрд микроб чисми јеридилдикдә) көстәрилән дәжишикликләрдән әлавә, юлухманын 9-чу күнү түкләрин пырпызлашмасы, тез-тез жатмаг, дуран вахты башыны ашағы салыб бир јердә дајаймаг кими һаллар олмушшур ки, бу вәзијјет дә 3 күн давам етмиш, соңра һејван сағалмышдыр.

Апарылан тәчрүбәләрдә вирулентли листериоз културасыны јалныз бејинә јеритмәклә тәчрүбәви ѡолла листериоз хәстәлијини әмәлә кәтирмәк мүмкүн олмушшур. Буна көрә минимал өлүм дозасыны тә'јин етмәк учун јалныз бу үсүл юлухмада истифадә едилшишdir. Бу мәг-сәдлә 4 баш һејван үзәриндә тәчрүбә гојулмушшур. Вирулентли листериоз културасы һәрәси 1 мл һәчминдә 10 млн, 1 млрд вә 3 млрд микроб чисми мигдарында бејинә јеридилшишdir. Биринчи уч дозада юлухдурма апарылдыгда синир системинин позғунлуғу илә иәтичәләнән тәчрүбәви листериозун әмәлә кәлмәсінә наил олмаг мүмкүн олмамышдыр. Јалныз 3 млрд микроб чисми бејинә јеридилдикдә мүсбәт иәтичә алымамышдыр.

Өлмүш һејванын бејинидән вә дахили органларындан листериоз културасы әлдә едилшишdir.

Сонунчы тәчрүбә көстәрмишdir ки, култураны аз дозада бејин дахилинә јеритдикдә белә хәстәлији тәчрүбәви ѡолла әлдә етмәк мүмкүн олмур.

Беләликлә, ирибујузлу һејванларда сүн'и олараг листериозун яранмасына наил олмаг үчүн интрасеребрал ѡолла юлухдурманын даһа е'тибарлы үсүл олмасына даир Г.Г.Беданашвили, Р.Греңем, Г. Данлеп вә б. тәдгигатчылар тәрәфиидән сејләнилән фикир апарылан тәчрүбәләрдә бир даһа өз тәсдигини тапды вә ашағыдақы иәтичәјә кәлмәјә имкан верди:

1. Ирибујузлу һејванларда вирулентли листериоз културасыны вена дахилинә, трахејаја, додаг вә дилин селикли гишаңына вә әзәлә арасына јеритмәклә тәчрүбәви ѡолла листериоз хәстәлији алымыры.

2. Интерасеребрал юлухдурмада, дәмәк олар ки, бүтүн һалларда сүн'и листериоз әмәлә кәлир. Һејванлар әдәтән юлухмадан 2—5 күн соңра тәләф олур. Лакин гејд етмәк лазымдыр ки, култура аз дозада бејинә јеридилдикдә хәстәлилк һәмишә әмәлә кәлмир.

Бајтарлыг Институту

Алымамышдыр 15. X 1966

М. К. Ганиев, М. И. Гасаинов

Воспроизведение экспериментального листериоза у крупного рогатого скота

РЕЗЮМЕ

При искусственном заражении молодняка крупного рогатого скота путем введения вирулентной культуры листерий интравенозно, в подслизистую оболочку губы и языка, интратрахеально и внутримы-

шечно не удалось воспроизвести экспериментальный листериоз с поражением центральной нервной системы.

У всех зараженных животных отмечалось кратковременное повышение температуры тела, понижение аппетита, вялость.

При интрацеребральном методе заражения нам удалось воспроизвести экспериментальный листериоз с поражением центральной нервной системы. Подопытные животные пали на 2—3-е сутки после заражения.

МИКРОБИОЛОГИЯ

Н. А. МЕХТИЕВА

АКТИВНОСТЬ ХИЩНЫХ ГРИБОВ В ПОЧВЕ

(Представлено академиком АН Азербайджанской ССР В. Р. Волобуевым)

Хищные грибы-гифомицеты представляют определенный интерес для борьбы с почвенными патогенными нематодами. Однако успешное внедрение их в практику может быть обеспечено при соблюдении необходимых условий, обусловливающих бурное развитие их и сохранение активности улавливания нематод в почве.

Общеизвестно, что условия чистой культуры резко отличаются от условий почвы, где хищные грибы находятся в сложном взаимодействии с другими микроорганизмами. В наших работах было выявлено, что в почве имеется значительное количество микроорганизмов, способных подавлять развитие хищных грибов на агаровой пластинке в чашках Петри. Поэтому, прежде чем инокулировать почву препаратом хищных грибов, необходимо прежде всего установить способность данного гриба активно улавливать нематод непосредственно в почве.

Некоторые попытки для выяснения проявления активности хищных грибов в нестерильной почве были сделаны французским ученым Дешьяненом (Deschien, 1941), советским ученым Сопруновым Ф. Ф. (1958) и английским ученым Куком (Cooke, 1962).

Для выяснения поведения хищных грибов в почве Дешьянен помещал квадратики агаровой культуры *Dactylaria bembicoides* Dr. в шелковую сетку, которую закапывал в сильно зараженную галловой нематодой почву, на глубине 5 см, и через 15 дней обнаружил на каждом квадратном сантиметре 4–5 пойманных нематод.

С целью проверки способности хищных грибов уничтожать личинок нематод в различных почвах Сопрунов вносил в почву, зараженную яйцами патогенных нематод, конидии грибов. При этом автор обнаружил мертвые нематоды с переплетающимися их мицелиями хищных грибов. Для изучения взаимоотношений между хищными грибами, органическими удобрениями и популяциями нематод Кук помещал в чашку Петри, заполненную почвой, предметные стекла, к которым были прикреплены агаровые диски.

Приведенный обзор свидетельствует, что изучение активности улавливания нематод разными хищными грибами в почве освещено в ли-

тературе довольно слабо и требует проведения специальных целесообразных исследований.

Для установления поведения хищных грибов в почве после инокуляции, в наших исследованиях применялся метод Холодного в модификации Рыбалкиной и Конененко (1957, стр. 175): Объектами изучения были в 1964 году два штамма, а в 1965 году—5 штаммов хищных грибов.

Препараты были внесены в сильно зараженную галловой нематодой огурца почву из расчета 2% к весу почвы. Почва обогащалась навозом из расчета 100 кг на 1 га и набивалась в цветочные вазоны (из расчета 2 кг на каждый трехлитровый вазон), которые постоянно увлажнялись до 60% от полной влагоемкости и поддерживались в вегетационном домике.

Стекла, покрытые тонким слоем крахмаламмиачного агара, закладывались по 2 штуки в каждый вазон и просматривались через определенное время по 200 полей зрения под микроскопом МБИ-3 при увеличении ×150. При этом подсчитывалось количество образовавшихся на гифах гриба колец, пойманных грибом нематод (б) и свободных нематод (в).

С целью проверки этого положения в 1964 были проведены исследования с грибами *Arthrobotrys oligospora* (шт. 37) и *Dactylaria* sp. (шт. 50). Подсчеты образовавшихся колец и пойманных грибами нематод показали, что, несмотря на наличие в почве большого количества антагонистов, хищные грибы, внесенные в почву, выдерживают конкуренцию и, обильно развиваясь, проявляют большую активность. Об этом свидетельствуют как визуальное наблюдение, так и микрофотографии, полученные с помощью микроскопа МБИ-6 (рис. 1, 2).

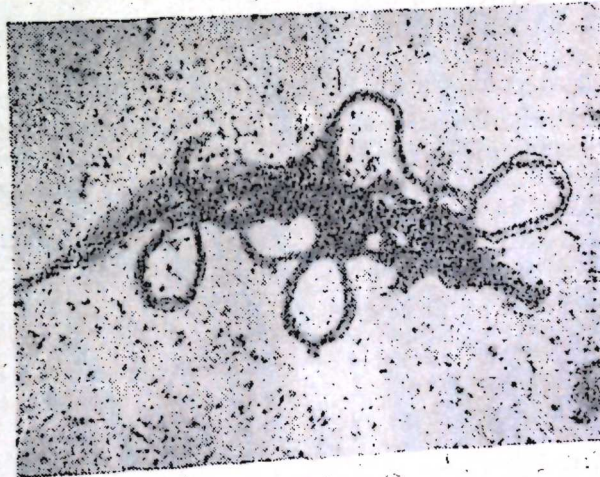


Рис. 1.

Наблюдение за развитием грибов показало, что после внесения в почву развитие их на поверхности почвы было настолько сильно, что можно было заметить невооруженным глазом.

Наши наблюдения показали, что хищные грибы, инокулированные в почву, длительное время сохраняют свою активность улавливания личинок нематод. Однако отмечаются некоторые изменения в количестве образования колец. В опытах наибольшее количество колец

день наблюдается резкое уменьшение количества колец; через месяц количество колец постепенно увеличивается. Что же касается количества пойманных грибами нематод, то замечено, что наибольшее количество их обнаружено через месяц после инокуляции.

На наш взгляд, уменьшение количества колец на 20-й день и постепенное увеличение их к 30-му дню может быть объяснено появлением нового молодого поколения в развитии гриба, что согласуется с сведениями в литературе об активности хищных грибов в более молодом возрасте.

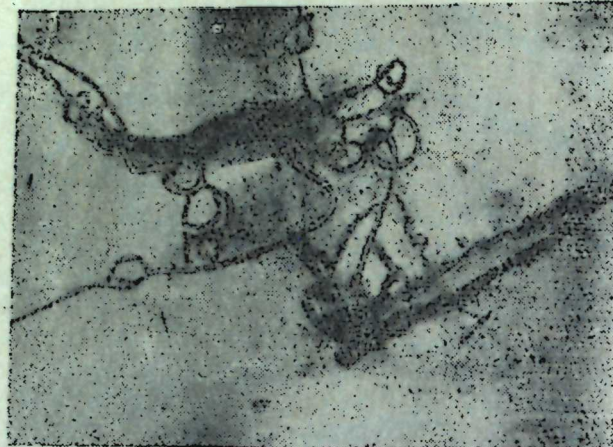


Рис. 2.

Убедившись в том, что хищные грибы проявляют свою активность и в нестерильной почве, мы поставили эксперименты с 5 штаммами хищных грибов—*Arthrobotrys* sp. (шт. 19), *A. oligospora* (шт. 37), *A. cladodes v. macroides* (шт. 117^a), *A. sp.*(шт. 96) и *Dactylaria* sp. (шт. 50). Результаты подсчетов на стеклах обрастаания вышеуказанных пяти штаммов (таблица) подтвердили данные, полученные в результате исследования стекол, заложенных в почву в предыдущем опыте.

Активность хищных грибов в почве (средние данные от 2 стекол)

Грибы	Количество колец (а), пойманных нематод (б) и свободных нематод (в)		
	Через 20 дн. после внесения препарата		Через 45 дн. после внесения препарата
	а	б	в
Шт. 50	36	34	50
Шт. 37	0	0	0
Шт. 117 ^a	0	0	53
Шт. 19	19	2	38
Шт. 96	—	—	—
	а	б	в
	33	11	165

Резюмируя полученные материалы по изучению взаимоотношения хищных грибов с другими почвенными микроорганизмами (Мехтиева, 1967) и влиянию почвенных микроорганизмов на проявление актив-

ности хищных грибов в нестерильной почве, приходим к заключению, что, несмотря на наличие в почве большого количества микроорганизмов, способных подавлять в чистой культуре развитие хищных грибов, развитие последних в естественной микробной популяции почвы не подавляется. После внесения хищных грибов в почву в виде биологического препарата обнаруживается нормальное их развитие и сохраняется способность улавливания почвенных нематод.

Выводы

Несмотря на наличие в почве значительного количества микроорганизмов, способных подавлять развитие хищных грибов в чистой культуре, при инокулировании почвы препаратом хищных грибов последние нормально развиваются и сохраняют свою активность улавливания личинок различных нематод в почве.

ЛИТЕРАТУРА

1. Рыбалкия; Консенекова. Микрофлора почв европейской части СССР. М., 1957.
2. Мехтиева Н. Взаимоотношение хищных грибов с другими почвенными микроорганизмами. «ДАН Азерб. ССР»: XXIII, № 6, 1967.
3. Сопрунов Ф. Хищные грибы-гифомицеты и их применение в борьбе с патогенными нематодами. Ашхабад, 1958.
4. Deschamps R. Sur l'emploi des Hypomycetes prédateurs dans la prophylaxie des infestations à nematodes des végétaux. Comptes rendus Acad. Sc. 213, Paris.
5. Cooke R. Agar disk method for the direct observation of nematode trapping fungi in the soil. Nature (England) 191, 4796, 1961.

Поступило 25. VI 1966

Институт почвоведения
и агрохимии

Н. Э. Мехдиева

Жыртычы көбәләкләрин торпагда фәаллығы

ХУЛАСӘ

Жыртычы көбәләкләрдән биологи мүбәризә мәгсәди илә истифадә едиләркән онларын торпагда фәаллығынын нә дәрәчәдә сахланылма-сынын өјрәнилмәсін зәзури мәсәләләрдән биридир.

Стерил мүһиттә фәал олан, торпага верилдикдән соңра исә фәаллығыны итирән көбәләк биологи мүбәризә үчүн истифадәјә жааралык несаб олунмур. Бу мәсәлә барәдә әдәбијатда чох аз мә'лumat вардыр вә жалызы франсыз алими Дешенин, инкилис алими Кукун вә совет алими Сопруновун әсәрләринде гысача ишыгланырылыштыр.

Мәгаләдә 5 жыртычы көбәләјин торпагда фәаллығынын өјрәнилмәсінә аид тәччүрүләрләrin нәтижеси верилмишdir.

Тәдигигатлар көстәрмишdir ки, сүн'и мүһиттә фәал олан жыртычы көбәләкләр торпага верилдикдә дә өз фәаллығыны эсас е'тибарилә сахланылыштыр. Буну торпагдакы нематодларын сајча азалмасы да сүбүт едир.

АГРОХИМИЯ

Р. К. ГУСЕЙНОВ, Ф. Г. АХУНДОВ

ПРЕВРАЩЕНИЕ НОВЫХ ВИДОВ АЗОТНЫХ УДОБРЕНИЙ
В БОЛОТНОЙ ПОЧВЕ

(Представлено академиком АН Азербайджанской ССР И. Д. Мустафаевым)

Выпускаемые химической промышленностью азотные удобрения обладают высокой растворимостью и подвижностью в почве, что в определенных условиях является их положительным свойством, однако эти же свойства в других почвенно-климатических условиях и в разных культурах могут стать нежелательными, так как приводят к большим потерям азота.

В последние годы в СССР, а также в ряде зарубежных стран ведутся исследовательские работы по созданию нового типа азотного удобрения, содержащего азот в нерастворимой или в слаборастворимой форме. Такого типа удобрениями в СССР служат карбамиформ или мочевинно-формальдегидное удобрение (в зарубежных странах — уреаформ).

Изучая поведение этих удобрений в почве, некоторые исследователи попытались объяснить скорость и степень нитрификации карбамиформа, однако О. Р. Lunt и R. H. Sciaroni (1955) не обнаружили различия и скорости разложения уреаформа на кислых и щелочных почвах в пределах Р_Н 5—8.

L. Soulies и R. Gadet (1958) указывают, что при Р_Н 5,0 разложение уреаформа в почве идет быстрее, чем при Р_Н 8,0. Б. Г. Блюм (1964) отмечает, что известкование почвы в значительной мере увеличивает скорость и степень нитрификации азота данного удобрения.

В. П. Золотарев (1965) выявил, что при большом индексе усвоения карбамиформа оно больше и дольше находится в усвоемой форме в почве. В. А. Джагарова (1963) и Ф. Г. Ахундов (1963) отмечает, что мочевина в карбонатных почвах легко превращается в аммиачную форму, поглощается почвой и более длительное время сохраняется в усвоемой форме, чем аммиачная селитра.

Изучение процесса превращения азотных удобрений в почве дает возможность научно обосновать сроки и способы внесения и рационального использования удобрений.

Для закладки лабораторного опыта нами была взята почва из пашенного горизонта опытного участка совхоза им. К. Маркса Масаллинского района Азербайджанской ССР, занятого культурой риса.

Исследуемые почвы по механическому составу тяжелосуглинистые. Реакция почв слабощелочная. Превращение новых видов азотных удобрений, мочевинно-формальдегидного удобрения (МФУ) сравнивали с превращением мочевины.

МФУ получается при конденсации мочевины с формальдегидом. В нем содержится (испытано нами) азота общего — 37,4%, азота воднорастворимого — 24,72%. Индекс усвоемости — 50,36. Удовлетворяет все потребности. Сыпуч, негигроскопичен. При внесении высоких доз не повышается концентрация почвенных растворов. Опыт заложен в фарфоровых стаканах на фоне фосфора и калия, без растений.

При закладке лабораторного опыта почва смешивалась с удобрениями из расчета 200 мг действующего начала на 1 кг почвы. После тщательного смешивания проводился полив. В сосудах поддерживалась 100%-ная влажность, что соответствует принятой агротехнике культуры риса. Повторность опыта трехкратная. Опыт заложен по схеме:

1. Почва + 200 мг Р₂O₅ (суперфосфата) + 200 мг K₂O (хлористого калия) из расчета на 1 кг почвы (фон).

2. Фон + 200 мг N (мочевины) из расчета на 1 кг почвы.

3. Фон + 200 мг N (мочевинно-формальдегидного удобрения) из расчета на 1 кг почвы.

Перед взятием на анализ почвенных проб все почвы в количестве 600 г тщательно перемешивались и определялся процент гигроскопической влаги. Почвенные образцы брались в следующие сроки: через 3, 15, 30, 60, 90 дней после закладки опыта. Во взятых почвенных образцах определялись воднорастворимый аммиак при помощи реактива Неслера, поглощенный аммиак по Д. П. Коневу, нитраты — с применением дисульфофеноловой кислоты по методу Грандаль — Ляжу. Колебание температуры воздуха в лаборатории — в пределах 15—25°.

Результаты анализов превращения азота в исследуемых почвах представлены в таблице. Из таблицы видно, что при внесении мочевины превращение амидной формы азота в аммиак идет значительно быстрее, чем МФУ. При сравнении хода превращения мочевины и МФУ было установлено, что в варианте с мочевиной аммиак обнаруживается в значительной части в виде водной и поглощенной формы, в то время как у МФУ аммиак обнаруживается в значительно меньшем количестве вскоре после внесения, а в дальнейшем постепенно содержание аммиака увеличивается, особенно в поглощенной форме.

При внесении мочевины через 3 дня после закладки опыта в воднорастворимой форме аммиака обнаружено 33,72%; в дальнейшем это количество уменьшилось, и через 90 дней было обнаружено лишь 12,67% от внесенного количества. Основная часть переходит в форму поглощенного аммиака, в которой остается до конца опыта. Через 3 дня после внесения мочевины аммиак в поглощенной форме составлял 40,95%, в дальнейшем количество его постепенно увеличивалось и к концу опыта, т. е. через 90 дней, составляло 55,51% от внесенного количества. Вероятно, увеличение % поглощенной формы аммиака происходило за счет уменьшения воднорастворимого аммиака.

Изучение превращения МФУ показало, что по всем срокам опыта воднорастворимый аммиак составлял 2,15—5,85% от внесенного. Поглощенный аммиак к концу опыта постепенно увеличивался, а через 3 дня после внесения МФУ количество внесенного аммиака составляло 4,07%, а через 15 дней — 16,59%, через 30 дней — 22,45%, а в дальнейшем через 60 и 90 дней — 45,48% от внесенного количества. По-видимому, такой ход связан с постепенным разложением слаборастворимому

Превращение азота в болотной почве (лабораторный опыт)

Схема опыта	N/NH ₃ воднорастворимый			NN/H ₃ поглощенный			N/NO ₃ нитраты		
	Всего, мг/кг		От внесенного	Всего, мг/кг		От внесенного	Всего, мг/кг		От внесенного
	мг/кг	%		мг/кг	%		мг/кг	%	
Через 3 дня									
Почва (РК)-фон	11,04	—	—	41,40	—	—	Следы		
Фон+Нм	78,49	67,45	33,72	123,31	81,91	40,95	Следы		
Фон+Нмфу	15,34	4,30	2,15	49,55	8,15	4,07	Следы		
Через 15 дней									
Почва (РК)-фон	23,15	—	—	42,91	—	—	Следы		
Фон+Нм	87,05	63,90	31,95	157,98	115,07	57,53	Следы		
Фон+Нмфу	34,16	11,01	5,50	76,09	33,18	16,59	Следы		
Через 30 дней									
Почва (РК)-фон	22,08	—	—	43,57	—	—	Следы		
Фон+Нм	80,07	57,99	28,99	165,31	121,74	60,87	Следы		
Фон+Нмфу	28,24	6,16	3,08	88,48	44,91	22,45	Следы		
Через 60 дней									
Почва (РК)-фон	23,45	—	—	43,54	—	—	Следы		
Фон+Нм	70,30	46,85	23,42	176,89	133,35	66,67	Следы		
Фон+Нмфу	35,15	11,70	5,82	134,48	90,94	45,47	Следы		
Через 90 дней.									
Почва (РК)-фон	21,46	—	—	44,17	—	—	Следы		
Фон+Нм	46,81	25,35	12,67	155,19	111,02	55,51	Следы		
Фон+Нмфу	30,01	8,55	4,27	135,33	91,16	45,58	Следы		

в оримой форме МФУ в исследуемых почвах. В связи с этим следует ограничить внесение МФУ на рисовых плантациях и применять не-дробно, а путем однократного внесения, при котором значительно уменьшаются затраты труда.

В связи с тем, что опыт в соответствии с агротехникой культуры риса проведен в условиях 100%-ной влажности почвы, азот в нитратной форме отсутствовал. Вероятно, 100%-ная влажность угнетала нитрификационный процесс. Это послужило теоретическим обоснованием применения аммиачных и амидных форм азота в условиях по-стоянного затопления риса с целью не допустить вымывания азота в виде нитратов.

Выводы

В условиях затопления при 100%-ной влажности почвы нитрификация амидного азота не обнаружена. Азот мочевины быстрее превращается в аммиачную форму, чем азот мочевинно-формальдегидного удобрения, и к концу опыта количество поглощенного аммиака в почве постепенно увеличивается.

ЛИТЕРАТУРА

- Блюм Б. Г. Влияние реакции почвы на эффективность медленно действующих азотных удобрений. "Агрохимия", № 1, 1964.
- Золотарев В. П. Эффективность медленно действующих азотных удобрений на дерново-подзолистых почвах. "Агрохимия", № 1, 1965.
- Lunt O. R., Sciaroni R. H. Synthetic fertilizer (Uratite) tested, Agric. News Letter, № 5, 1955.
- Soubies L., Gade R. Un engrais azote organique de synthèse: Lazorgan. Agriculture (France), № 21, 1958.
- Ахудов Ф. Г. Эффективность некоторых жидких и концентрированных азотных удобрений под хлопчатник на светло-каштановой и сероземно-луговой почвах Азербайджана. Канд. дисс., Баку, 1963.
- Джафарова В. А. Эффективность внесения концентрированных и сложных удобрений под основные овощные культуры (томаты и капусту) в условиях Апшерона. Канд. дисс., Баку, 1963.

Институт почвоведения и агрохимии

Поступило 19. XI 1966

Р. Г. Һүсейнов, Ф. И. Ахундов

Батаглыг торпагда яни нөв азот күбрэсинин чеврилмәси

ХУЛАСЭ

Лабораторија шәраитиндә азот күбрэләринин чеврилмәсini өјрәнмәк мәсәди илә Масаллы рајонунун К. Маркс адына совхозунда чөл тәчрүбәләри гојулан чәлтик зәмиләринин шум гатындан торпаг нүмнәләри көтүрүлмүшдүр.

Тәдгигат нәтичәсindә мүэjjэн едилемшидир ки, тәчрүбә 100% нәмликдә апарылдындан амид күбрэләри нитрификасија олунмур. Амид күбрэләринин аммонификацијасы исә мүхтәлифдир. Белә ки, карбамид вә яни нөвлү карбамид-формалдеңид күбрэсini торпага верәркән илк дөврдә суда һәлл олан аммонјак карбамиддә чох олмуш, тәчрүбәнин сонуна доғру исә тәдричән азалыштыр. Удулмуш аммонјак верилмиш күбрәдән 3 күндән сонра торпагда 40,95, 90 күндән сонра 55,51% тапымыштыр.

Карбамид-формалдеңид күбрэсini торпага верәркән суда һәлл олан аммонјак бүтүн тәчрүбә боју верилмиш күбрәдән 2,15—5,85% олмуштур. Удулмуш аммонјак исә тәчрүбәнин илк дөврләриндә аз, сонунда исә хејли артмыштыр. Белә ки, 60 күндән сонра һәмин форма верилмиш күбрәни 45,47%-ни тәшкىл етмишdir.

Амид формалы күбрэләрин мүсбәт хүсусијәти ондадыр ки, йүксәк нәмлик шәраитиндә нитрификасија олунмур, верилмиш күбрә нитрат формасына кечмир вә јујулмур. Бу да чәлтик биткисини дайми су сәвијәси сахламаг шәрти илә бечәрәркән азот гидасына олан тәләби хејли өдәјир. Яни нөвлү азот күбрэсинин—карбамид-формалдеңидин әсас хүсусијәтләриндән бири одур ки, о, чәлтик биткисинә һиссә-һиссә дејил, бир дәфәдә верилмәси мәсләһәт көрүлүр.

ФИЗИОЛОГИЯ

А. К. ГАБУЧИЯ

СОДЕРЖАНИЕ ГЛИКОГЕНА В ЛЕЙКОЦИТАХ ПРИ РАЗДРАЖЕНИИ МЕХАНОРЕЦЕПТОРОВ ЖЕЛУДКА

(Представлено академиком АН Азербайджанской ССР А. И. Караваевым)

Многочисленные исследования физиологов Азербайджана показали, что раздражение интерорецепторов вызывает глубокое изменение углеводного обмена организма [1, 3, 5, 10].

Большинство исследователей изучали изменения компонентов углеводного обмена по показателям общей крови, к настоящему времени этот вопрос достаточно разработан.

Между тем влияние интерорецептивного раздражения (и таким образом роль интерорецепции в регуляции углеводного обмена) на клеточном уровне изучено крайне недостаточно.

Целью нашей работы, поставленной по предложению академика А. И. Караваева, является изучение динамики изменения содержания гликогена в лейкоцитах при раздражении механорецепторов желудка.

Было проведено 36 хронических опытов на 6 собаках. Результаты исследований подвергались обработке вариационно-статистическим методом.

Интерорецептивный обменный рефлекс изучался по методике, разработанной в секторе физиологии АН Азербайджанской ССР [6]. Рецепторы желудка раздражались давлением 40 мм ртутного столба в течение 3 минут. Кровь бралась из краевой вены уха до раздражения и через 5, 15, 30 и 60 минут после него.

Кроме определения гликогена в лейкоцитах гистохимическим методом [12, 13], определялись также гликоген и сахар биохимическим методом.

Для наиболее полного изучения динамики изменения гликогена белой крови лейкоциты подразделялись на 4 группы в зависимости от краски на гликоген.

I группа — хорошее содержание гликогена (соответственно насыщению фиолетово-розовый цвет).

II группа — среднее содержание гликогена (соответственно розовое окрашивание).

III группа — малое содержание гликогена (соответственно бледно-розовое окрашивание).

IV группа — отсутствие гликогена (соответственно бесцветное окрашивание).

В каждом случае подсчитывалось общее количество лейкоцитов во всех группах.

Результаты опытов свидетельствуют, что через 5 минут после раздражения у всех животных отмечается уменьшение количества лейкоцитов I и II групп, содержащих большое и среднее количество гликогена (соответственно фиолетово-розового и розового цвета) (таблица).

Содержание гликогена в лейкоцитах

Содержание гликогена	До раздражения	После раздражения			
		через 5 минут	через 15 минут	через 30 минут	через 60 минут
+++	36,26 ± 0,51	22,18 ± 0,41	25,59 ± 0,77	33,67 ± 0,58	35,66 ± 0,46
++	37,34 ± 0,56	25,67 ± 0,62	28,63 ± 0,53	33,33 ± 0,53	36,91 ± 0,56
+	18,91 ± 0,52	33,08 ± 0,74	31,44 ± 0,83	20,99 ± 0,27	18,72 ± 0,36
-	9,35 ± 0,42	20,75 ± 0,67	18,34 ± 0,79	12,60 ± 0,63	10,24 ± 0,49

И наоборот, количество лейкоцитов III и IV групп, не имеющих гликоген или имеющих его в небольшом количестве (соответственно бледно-розовое и бесцветное окрашивание) возрастает.

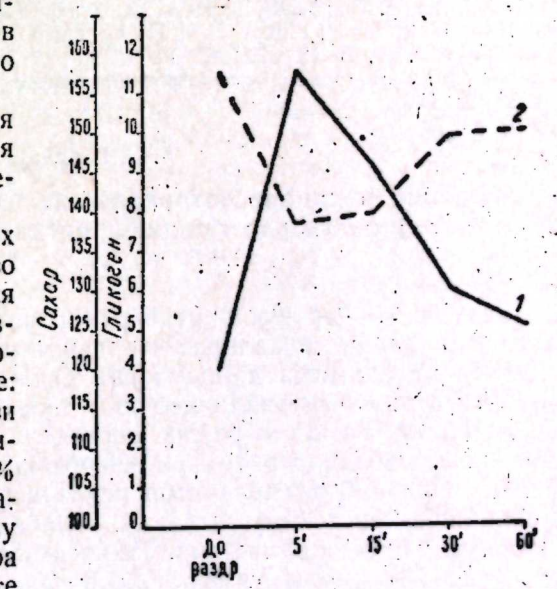
Уменьшение гликогена идет из центра и группируется по периферии в виде узких полосок и глыбок.

Через 15 минут после раздражения содержание гликогена в лейкоцитах хотя и остается ниже нормы, однако обнаруживается тенденция к увеличению (увеличивается количество лейкоцитов I и II групп, уменьшается число лейкоцитов III и IV групп).

Лейкоциты увеличиваются в размере, у них появляются псевдоподии, в которых увеличивается гликоген.

На 30-й и 60-й минутах после раздражения количество лейкоцитов 4 групп становится почти таким же, как и до раздражения. Биохимические показатели крови следующие: гликоген в цельной крови уменьшается через 5–15 минут после раздражения на 32% от исходной величины, а затем возвращается к исходному значению. Содержание сахара увеличивается на 5-й минуте после раздражения на 31% от исходной величины. К 30–60-й минуте после раздражения наблюдается тенденция к возврату к исходному уровню (рисунок). Эти данные соответствуют ранее полученным результатам других авторов [7, 11].

Как известно, гликолитические процессы в лейкоцитах подвержены действию гормональных и гуморальных факторов. Так, распад



гликогена в лейкоцитах может быть вызван глюкогоном [14]. Изменение содержания гликогена в крови (которое в основном зависит от его содержания в лейкоцитах) наступает при введении глюкозы, инсулина и адреналина [2, 4].

Показано, что при раздражении интерорецепторов увеличивается содержание в крови адреноподобных веществ и глюкогона [8, 9].

Поэтому можно думать, что уменьшение содержания гликогена в лейкоцитах в первые минуты после раздражения интерорецепторов идет за счет увеличения выброса этих гормонов в кровь. Затем высокий уровень глюкозы и компенсаторное образование инсулина способствуют активации обратной реакции синтеза гликогена, что мы и наблюдаем через 30—60 минут после раздражения.

Вышесказанное свидетельствует, что импульсация, поступающая из интероцептивной сферы может при посредстве гормональных факторов оказать существенное влияние на углеводный обмен лейкоцитов.

ЛИТЕРАТУРА

- Гайдов Т. Д. Тезисы докл. I Закавказского съезда физиологов, 1948.
- Геники А. М. „Биохимия“, № 3, 1938.
- Дадашев А. Д. Тезисы докл. II Закавказского съезда физиологов, биохимиков и фармакологов, 1956.
- Захаров С. В. „Биохимия“, т. 6, вып. 3, 1941.
- Караев А. И. Интерорецепторы и обмен веществ, 1957.
- Караев А. И. Интерорецепторы и обмен веществ. Изв. АН Азерб. ССР*, 12, 1953.
- Караев А. И. и Айвазян Л. А. II съезд закавказских фармакологов, биохимиков и физиологов, 1956.
- Кузинцов Б. Г. Изменение глюкогенообразовательной деятельности поджелудочной железы при раздражении механорецепторов желудка.
- Курбанов Т. Г. Значение силы интероцептивной стимуляции в сдвигах содержания адрен- и холинергических веществ в крови в условиях угнетения центральных холинореактивных структур.
- Караев А. И., Логинов А. А. Интероцептивные обменные рефлексы. Изд. АГУ, 1960.
- Караев А. И. и Гайдов Т. Д. Изв. АН Азерб. ССР*, № 10, 1956.
- Шабадаш А. Л. ДАН ССР*, т. 68, № 2, 389, 1949.
- Шабадаш А. Л. и Хейфец Ю. Р. Архив гистологии, эмбриологии и анатомии, т. 43, № 12, 29, 1962.
- Williams H. E., and Field J. B. Low level cyte phosphorylase in hepatic phosphorylase deficient glycogen storage disease Clin. Res. 9, 192, 1961.

Сектор физиологии

Поступило 28. VI 1966.

А. К. Габуцича

Мәдәни мөханоресепторларынын гычыгладырылмасынан лејкоситләрдә гликокен мигдарынын дәжишмәси

ХУЛАСЭ

Акад. А. И. Гараевин рәһбәрлији илә апарылан тәдгигатда эсас мәгсәд мәдәни мөханоресепторларынын гычыгландырылмасынан гликокен мигдарынын дәжишмәсими өјрәнмәкдир.

Тәдгигат 6 ит үзәриндә хроники шәрайтдә апарылмышды. Алышан дәлилләр статистик ријази һасбламалардан кечирилмишdir. Интеросептив мубадилә рефлекси Азәрбајҹан ССР ЕА Физиологија бөлмәсindә ишләниб һазырланмыш үсуга көрә өјрәнилмишdir.

Гликокен һистокимјеви (А. Л. Шабадаш) вә шәкәр биокимјеви үсулларла тә'јин едилмишdir. Лејкоситләрдә гликокенин мигдарыны даһа јаҳши өјрәнмәк учун лејкоситләри рәйкли гликокен тә'сириндә көрә группа бөлүрләр: 1) гликокени чох олан; 2) гликокени орта сәвијјәдә олан; 3) гликокени аз олан; 4) гликокени олмајан.

Тәдгигатларын иәтичәси көстәрик ки, гычыгландырылмадан 5 дәғигә соңра бүтүн һејваларда гликокенин мигдары азалыр, лакин 30-чу вә 60-чи дәғигәләрдә нормал сәвијјәјә чатыр. Ганын биокимјеви көстәричиләри—гликокен бүтүн ганда гычыгландырылмадан 5, 15 дәғигә соңра норма көрә 32% азалыр, соңра исә нормаја. чатыр.

Јухарыда гејд едилән дәлилләр субут едир ки, интеросептив мүнитә кәлән импулслар һормонал факторларын көмәји илә лејкоситләrin сулукарбон мубадиләсине мөвчүд тә'сирини тә'мин едир.

ЕПИГРАФИКА

СИМА КӘРИМЗАДЕ

МӨМИНӘ ХАТУН ТҮРБЭСИНİN ӨЈРӘНИЛМӘМИШ КИТАБӘЛӘРИ

(Азәрбајҹан ССР ЕА академики Ә. Ә. Элизада тәгдим етмишdir)

Азәрбајчанын шәһәр вә кәндләри арасында Нахчыван өзүнүн орта әср мәмарлыг вә епиграфик нүмүнәләри илә көркәмли бир мөвгө тутур. Бурадакы мәмарлыг абидаләриндән бири дә бөյүк мәмар Әчәми Әбубәкәр оғлу Нахчыванлынын XII әсрин икinci йарысында јаратдығы Елдәкәзләр сұлаләсина мәнсүб олан Мөминә хатун түрбәсидir.

Бир сыра әсәрләрдә бә'зи тәдгигатчылар Мөминә хатун түрбәсинин мәмарлығындан бәһс етдиңләри кими, тарих елмләри намизәди мәрхүм Ә. Әләсгәрзадә, дә түрбәнин екстерјериндәки китабәләрин дүрүст тәһилини вермишdir¹. Лакин бүтүн бүнләре баҳмајараг, түрбәнин дахилинда јерләшән бир групп китабә һәлә өјрәнилмәмишdir.

1956-чы илдә Мөминә хатун түрбәсендә өлчү вә бәрла ишләри апарыларкән онун интерјериндәki 5 китабә ашқара чыхарылмышды². Бүнләрдан бири шәрітвары шәкилдә олан дахили фризде вә дөрдү исә күнбәз диварындакы дөрд даирәви гөнчә ичәрисинде јерләшир.

Гөнчәләриң һәр бири күнбәз һөркүсүндә чөграфи (шимал, чәнуб, шәрг, гәрб) чәһәтләрдә јерләширилмишdir. Диаметри 145—150 см олан бу гөнчәләр кирәç (алебастр) материалындан һазырланмышды. Гөнчәләриң дөрдү дә 19—20 см енидә олан нахышларла нашијеләнмиш вә һамысынын да дা�хилинде куфи хәтли җазылар нәбati орнаментләрлә һормоник сүрәтдә ојма үсугу илә ифа едилмишdir.

Јазылы әдәбијатда һәмин гөнчәләр нағында мұхтәлиф мұтәхәсисләрни мұхтәсәр вә өтәри мә'лumatларына раст кәлә биләрик³. Бу

¹ Ә. Әләсгәрзадә. I. „Јусиф. бин-Гүсеир вә Мөминә хатун түрбәләрини китабәләри“. Труды Института Истории им. А. Бакыханова АН. Азәрб. ССР, Баку, 1947, сән. 76—91; II. Јенә онун „Надписи Архитектурных памятников Азербайджана эпохи Низами“. Архитектура Азербайджана эпохи Низами. Москва—Баку, 1947, сән. 369—393; III. Јенә онун „Надписи старинных Архитектурных памятников Нахичеванского края“. Изв. АН Азерб. ССР, 1949, № 5, сән. 151—168.

² Бәрина ишләри Азәрб. ССР Мәдәнијәт Назириллинин Ҳусуси Елми Бәрпа Истәксәләт Е'малатханасы (ХЕБИЕ) тәроғицән апарылмышды.

³ И. П. Щеблыкин. „Памятники азербайджанского зодчества эпохи Низами“. Изд. АзФАН, Баку, 1943, сән. 61; С. М. Вандов, А. Г. Горчаков, Н. Г. Осполов-Степанов, Ф. С. Фараджзаде, И. П. Щеблыкин. „Мовзолей Юсифа иби Кусеира и Момина Хатун в Нахичеване“. Архитектура Азербайджана эпохи Низами. Москва—Баку, 1947, сән. 238; История Архитектуры Азербайджана, М., 1963, сән. 89 (75-чи шекия).

мұтәхәссисләрдән Иса Әзимбәјов күнбәзин յалның шымал вә чәнуба бахан гөнчәләрини көстәрәк белә фәрз едир ки, куја чәнуб тәрәф-дәки гөнчәдә (فَاتحه)⁴ вә шымал тәрәфдәки гөнчәдә исә (أَخْلَاص)⁵ сурәси յазылмышдыр⁶.

Көрүндүјү кими, И. Әзимбәјов һәм гөнчәләрин сајыны дүзкүн гејд етмәмиш, һәм дә бу елементләрни ичәрисинде йерләшмиш յазыларын шәрһини тамамилә йанлыш көстәрмишдир.

Ә. Эләсғәрзәдә һәмин гөнчәләрин вә фризин յазыларының тәһлили һаггында сәрбест бир мә'лумат вермәмишдир. Лакин о, И. Әзимбәјовун ики гөнчәјә аид көстәрдији (1 вә 112-чи) сурәләри түрбәнин дахили фризинде йерләшдијини күман едәрәк յазыр ки, „Ичәридән түрбә диварының јухары һиссәсендә гүршаг шәклиндә бир յазы вар-дый... Бизчә, ола билсии кىй, Әзимбәјовун гејд етдији «فاتحه» вә

«surәlәri бурада յазылмыш ола...»⁷

Ме'мар Г. М. Элизадә Азәрбајчаның даш гөнчәләринә аид 1950-чи илдә чап етдириди мәгаләсіндә бүтүн гөнчәләри гурулуушларына көрә 9 группа бөлүр. О, бу бөлкүдә 6-чы группа „һөрүк типли“ гөнчәләр ады вермишдир. Мөминә хатун түрбәси күнбәзинин шәрг тәрәфиндә көрдүйүмүз гөнчәни дә 6-чы группа дахил едәрәк онун ичәрисинде күни յазыларының йанлыш олараг нәбати орнаментләр кими вермиш вә бу сәһви чәкдији схематик шәкилдә дә тәкрап етмишдир⁸ (1-чи шәкил).

Сон ваҳтларда чап олунмуш бир мәгаләдә һәмин дөрд гөнчәдән, онларын өлчүләриндән, түрбәдә нә кими мөвгө тутмаларындан данышылар вә ичәриләриндәki յазыларын тәһлили белә шәрһ едилүр: „Медалјонларын һамысынын ортасында аллаһ кәлмәсінин յазылдығы айдан охунур. Этрафларда исә әрәб хиляфетинин илк дөрд көркәмли хәлифесинин адлары—Әбубәкәр, Өмәр, Осман, Әли адлары охунур“⁹.

1959—1960-чы илләрдә түрбәнин фриз вә күнбәз һөркүсүндәки гөнчәләринин յазылары үзәриндә тәдгигат апардығымыз заман мүәйяен олмушшудур ки, фриздәки յазы мә'лум бир сурәдән ибаратдир¹⁰. Лакин гөнчәләрдә олан յазылар исә һәм дөрд хәлифәнин адындан вә һәм дә

⁴ Гур'ян, 1-чи сурә, 1—5-чи ајеләр.

⁵ Гур'ян, 112-чи сурә.

⁶ Иса Азимбеков. Meddalı—Мусульманские надписи. Тифлис, Ереван и Нах. ССР, Изд. Азкомстариса, вып. 4, Баку, 1929, сән. 304.

⁷ Э. Эләсғәрзәдә. Гејд олунан I мәгалә, сән. 86; II мәгалә, сән. 337—338; III мәгалә, сән. 161.

⁸ Г. М. Ализаде. К изучению народного азербайджанского орнамента. „Изв. АН Азерб. ССР“ 1950, № 2, Баку, сән. 86, 90, 91, 92, 100 (88-чи шәкил).

⁹ Т. Багырзадә. Мөминә хатун түрбәсінин дахили гурулушунун үсүсүсийәтләри һаггында. Вопросы реставрации, памятников зодчества Азербайджана. АН Азерб. ССР, Институт архитектуры и искусства, Баку, 1960, сән. 51—64 (2, 3, 4, 5, 10, 11-чи шәкилләр).

¹⁰ С. Кәримзадә. Мөминә хатун түрбәсінин дахили фриз китабәси, „Азәрб. ССР ЕА Мәрзүләри“, 1961 № 2, Баку, сән. 1193—1197. Лакин „История Архитектуры Азербайджана“ (Москва, 1963) китабының 89-чу сөйнөсцидә тәһлилини, вердигимиз бу китабәсеннән һәлә тәһлил олунмадығындан данышылар.

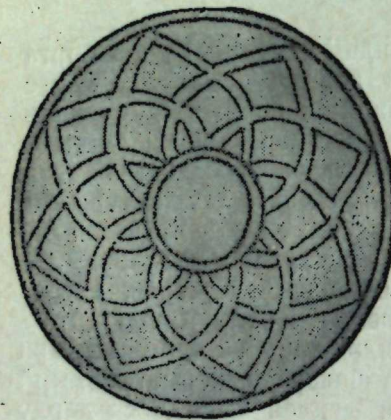
мұхтәлиф мәзмүнлү „Доктрина-еңкам“ характерли ифадәләрдән ибәрәтдир. Бу нөв китабәләр мәзмүнчә гыса олуб, экසәр һалларда куфи хәтти илә кирәч вә ја даш материалы үзәриндә һәкк едилүр. Идијә кими յазылы гөнчәләрин үчбүчаг, дәрбүчаг, алтыбүчаг, сәккизбүчаг, даирәви вә медалјон конфигурациялы нүмүнәләринә Азәрбајчанды XII—XIX әсрләри. Әнатә едән мадди-мәдәнијәт абидаләри үзәриндә тәсадүф олунмушдур¹¹.

Мөминә хатун түрбәсінин күнбәз диварында олан дөрд гөнчәдәки յазылары дүзкүн охујуб шәрһ етмәклә вә бу յазылара аид идијә кими бурахымыш сәһвләри дүрүстләштирмәклә биз тарихи бир сәнәди тәс-һин вә бәрпа етмиш олуруг ки, бу да XII әср Мөминә хатун түрбәси интерјеринин бәрпасы үчүн аз әһәмијәтә малик дејилдир.

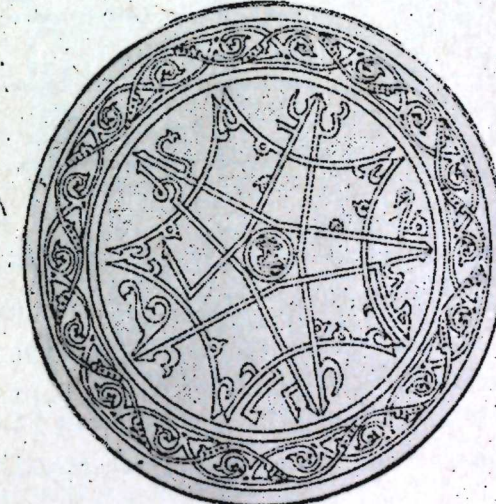
Күнбәзин шымал тәрәфиндәки гөнчәнин мәркәзинде «الله—аллаһ» кәлмәсі յазылмышдыр (2-чи шәкил).

Көрүндүјү кими, уста бу гөнчәнин дахилиндә յаздығы бир сыра кәлмәләрдән ики әдәд бешкүшәли улдуз тәртиб етмишдир.

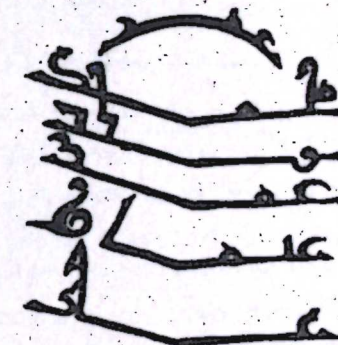
1-чи улдуз тәрәфләри 5 әдәд әјри чизки үзәриндә յазылмыш 5 «عمر—Өмәр» адындан әмәлә кәлмишдир. 2-чи улдуз исә тәрәфләри 5 әдәд дүз чизки үзәриндә յазылмыш «محمد—Мәһәммәд, Әбубәкәр, عمر—Өмәр, عثمان—Осман, علي—Эли» кәлмәләрindән әмәлә кәлмишдир (3-чи шәкил).



1-чи шәкил.



2-чи шәкил.



3-чи шәкил.

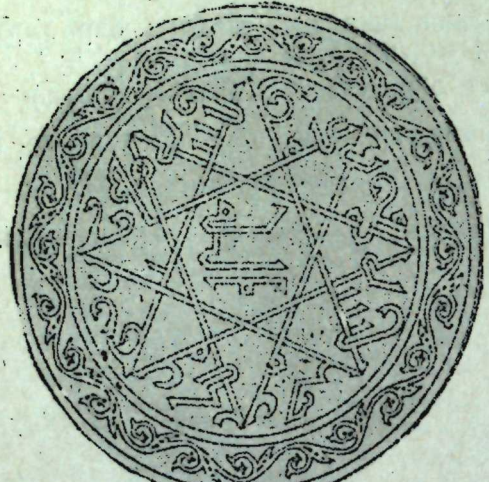
Беләликлә, уста ики әләд бешкүшәли улдуз васитәсилә даирәви тәнчәдә бир орнамент композициясы յаратмышдыр. Енни заманда уста иккичи улдузун көмәји илә гөнчә дахилиндә бир тәрәфдән „Аллаһ“ иккичи

¹¹ Бах: Э. Эләсғәрзәдә. Туба шаһы мәсcidинин китабәләр (XIV—XV әсрләр). Труды Института истории и философии, т. I, Бакы, 1951, сән. 112, 113, 114 (4, 6, 7, 8-чи шәкилләр); М. Х. Нәмәтова. Ширваны XIV—XVI әсрләр тарихинин (13, 15, 17, 18, 19, 21, 22-чи шәкилләр); Н. С. Аскерова. Архитектурный орнамент Азербайджана, Баку, 1964, сән. 61, 65, 65-чи левнә (1—6-чи шәкилләр); Сима Кәримзадә. Азәрбајчан 1961, сән. 75—80 да медалјон китабәләр даирәбәзи гејдләр. ДАН Азерб. ССР, 1964, № 2, сән. 75—80.

Мәһәммәд, Эли¹² доктринасыны, дикәр тәрәфдән исә илк дөрд әрәб хәлифәсінин (Әбубәкр, Өмәр, Осман, Эли)¹² адларыны вермишdir.

Чәнүб тәрәффәки гөңчәнин мәркәзиндә және дә «Мін-аллан» кәл-
мәсиини көруүрүк (4-чү шәкил).

Осман, Әли—**حسن**—**حسین**—**ჲასენ**—**ჲისეიن**“ кими адлардан сәккизкушэли бир орнамент композициясы тәртиб етмишdir. Уста ejни һалда бу гөңчә дахилиндә бир тәрәфдән „Аллаһ, Мәһәммәд, Әли, ჲаисен, ჲисејн доктринасыны, дикәр тәрәфдән исә илк дөрд әрәб хәлифәсінин (Әбубәкр, Өмәр, Осман, Әли) адларыны көстәрмишdir (5-чи шәкил).



4-чү шэкил.



5-чи шэкил.

Шәрг тәрәфдәки генчәнин мәркәзини тәшкил едән кичик даирәдә «الملَك»—аллаһа мәхсүс һөкмранлыг“ кәлмәси вә бөјүк даирәсәттәнде исә 8 әдәд «مُحَمَّد—Мәһәммәд» кәлмәси йазылышдыр. Уста бурада ejni mә'на вә шәкилдә олан 8 әдәд Мәһәммәд кәлмәсини бир-бириңе кејдирмәклә, даирәви конфигурацијалы генчәдә сәккизкушәли бир орнамент композијасы вә ejni һалда 8 дәфә тәкрап олунан «الملَك مُحَمَّد» доктринасыны яратышдыр (6–7-чи шәкилләр).

Гәрб тәрәфдәки гөнчәнин мәркәзиндә «الله — аллаһ» кәлмәси, әт-рафларда исә «محمد—Мәһәммәд, ابوبکر—Әбубәкр, عمر—Өмәр, عثمان—Осман, علي—Эли, حسن—Хәсән» адлары іазылмышдыр.

¹² Бу дөрд хәлифәнин хилафәтинэ даир мә'лумата бах: **علی، اکبر، فیاض**—

¹² Бу ад гөңчәдә икى дәфә Іазылмыштыр.

¹⁴ Генчэдэки «حسن—həsən» кэлмэснин иккинчи дэфэ «حسین—hüsəjn» дэгүүдийн
дэгүүдийн олар.

Уста бу 6 кәлмәни бир-биринә қејдирмәклә даирәви конфигурасијалы гөнчәдә алтыкушәли бир орнамент композисијасы йаратышдыр (8-чи шәкил).

Уста өзүнүң бачарығына архаланараг гөнчәдә көстәрилән кәлмәләрдән бир тәрәфдән „Аллаһ Мәһәммәд, Эли, Һәсән, Һүсән“ доктринасыны, дикәр тәрәфдән исә әрәб хилафәтинин илк дөрд хәлифәсинин (Әбубәкр, Өмәр, Осман, Эли) адларыны вермишdir (9-чу шәкил).



6-чы шэки.



8-чи шэкил



9-чу шэкил.

инкишаф етмәсини, сәнәткарларымызын бөјүк жарадычылыг габили-
жетине, исте'дада вә Яүксәк зөвгә саһиб олдугларыны көстәрир.
Алымышдыр 1. XI 1965
Жаһын вә Орта Шәрг Халглары Институту

Алымышдыр 1. XI 1965

С. Керимзаде

Неисследованные надписи мавзолея Момине хатун

PE3IOME

Проводимое в последнее время обследование в связи с реставрацией мавзолея Момине хатун в Нахичевани дало возможность всесторонне изучить надписи интерьера купола. Несмотря на религиозный

¹⁵ Бу дөрд гөнчөнүүн фотосуреттиниң тәгдими учун ХЕБИЕ-НИН бащ ме мары нүсе-
ниң һачыјеңа өз тәшеккүрүмүзү билдиририк.

характер их содержания, эти надписи имеют большое значение для изучения архитектуры и эпиграфики Азербайджана.

В интерьере купола мавзолея имеются 5 надписей: фризовая и четыре в розетках, расположенные соответственно к полюсам света. Излагаем содержание этих надписей:

1. Фризовая надпись содержит стих 256 главы 2 корана. Она была опубликована мною в Докладах АН Азербайджанской ССР № 2 (1961, стр. 1193—1197).

К сожалению, в работах, изданных позднее, в частности в "Истории архитектуры Азербайджана" (Москва, 1963) отмечается, что надпись до сих пор не расшифрована (стр. 89).

2. Надписи северной розетки:

а) в центре: слово „Аллах“;
б) вокруг: слово „Омар“ (5 раз в первой звездочке). Слова „Мухаммед, Абубекр, Омар, Осман, Али (во второй звездочке).

3. Надписи южной розетки:

а) в центре: слово „Аллах“;
б) вокруг: слова „Мухаммед, Абубекр, Омар, Осман, Али, Гасан, Гусейн“.

4. Надписи восточной розетки:

а) в центре: слово „царство“;
б) вокруг: слово „Мухаммед“ (8 раз).

5. Надписи западной розетки:

а) в центре: слово „Аллах“;
б) вокруг: слова „Мухаммед, Абубекр, Омар, Осман, Али, Гасан“.

ЭДЭБИЙЛТ ТАРИХИ

ФАЗИЛ СЕЛИДОВ

МЭҮЭММЭД ФҮЗУЛИНИН НЭШР ОЛУНМАМЫШ
БИР ШЕ'РИ

(Азэрбајҹан ССР ЕА академики М. А. Дадашзадэ тэгдим етмишdir)

М. Фүзулинин бу күнэдэк чап олунмамыш фарсча-азэрбајҹанча бир ше'ри элдэ едилмишdir. Бу ше'р Азэрбајҹан ССР ЕА Республика Элјазмалары фондун тэгаудчү мүэллим Мухтар Эфэндизадэ тэрэфиндэн верилмиш элјазмалары арасында олан бир фрагментдэн ибарэтdir.

Азэрбајҹан лирикасыны йүксәк зирвэлэрэ галдыран Фүзулинин бизэ кэлиб чатан вэ ja өсас мөвзусу ешг вэ мэһэббэтдэн ибарэт олан Азэрбајҹан дилиндэ, фарс вэ өрөбчэ ше'ләри арасында көрмәдијимиз бу мүләммә'өсасән фарс дилиндэ йазылмышдыр, онун анчаг гафијеләри азэрбајҹанчадыр. Мүләммә' шәклиндэ ше'рэ үмумийтлэ чох аз тэсадүү едилir. Фүзули лирикасында мүләммә' шәклиндэ йалныз үч ше'р көрүүрүк. Бу ше'ләрин үчү дэ Азэрбајҹан вэ өрөб дилиндэдир. Онлардан бири Фүзули өсөрлөринин Азэрбајҹан ССР ЕА тэрэфиндэн 1958-чи илдэ нэшр едилмиш I чилдинин 87-чи, икничиси 106-чы, үчүнчүсү исэ 290-чы сөһиғесинидэдир. Фото-сурэтини вердијимиз фарсча-азэрбајҹанча олан бу ше'р шаңрин дөрдүнчү мүләммә'сидир.

Намэ'лум бир катиб тэрэфиндэн тэхминэн XVIII эсрин сонларында гэшэнк шикестэ-нэстэ'лиг хэтти илэ 11×20 см һәчминдэ вэрэгин бир үзүнэ йазылмыш бу мүләммә' Азэрбајҹан ССР ЕА Республика Элјазмалары фондунун элјазмалары ше'бәсиндэ мүһафизэ олунмагдадыр. Мүләммә'нин мәтни:

Гурбан хали-рујэт ej шух, бәрки-сүсән,
Һүспи-чейин иёдиде, хоршид ja гэмэрсэн?
Эз нали-бигэрараң, әфсусграфили ту,
Вәззәхми-карсаң, сәд нејф, бихәбәрсэн.
Пәрванәвар дөврөт кәрдәм ки, тү бијаји,
Манәнди-шәм, сүзәм, мәни гојуб кедәрсэн.
Кефтәм ки, Јарн-мән баш, эз руји-лутг фәрмуд,
Валлаһ, хаһәмәт шүд, кәр назымы чәкәрсэн.
Тү һакими вэ султан, майм бәйдефәрман,
Кәсрә сүхән иёбашшад, кәр ганымы төкәрсэн.
Чәидан ки, чан бедадәм та амәди бәдәстәм,
Әкнүн че чарә сазәм, мәни агларам, күләрсэн.
Јек бүсөји эзан ләб кәрдәм төләб бәсәд эчз,
— Валлаһ, хаһәмәт дад кәр элими өпәрсэн.
Чүн бүсә дад, гоfta: ej Јар, бешнэв эз мән,
Валлаһ, хаһәмәт күшт бир кимсөј дејәрсэн.
Эз ешги-ту Фүзули һәр руз зар көрјад
Имруз рузи-лутфәст кәр элими дутәрсэн.

Азәрбајҹан дилиндә, тәрҹүмәси:

Еј сүсән јарпагы, сәнин үзүүнү халына гурбан олум.
Бела көзэллик көрүмәлүб, күнәшсән, ja ајсан?
Һејиф ки, сәбиңизләриң најындан гафилсән?
Јүз эфсүс олсун ки, сағалтмаг јарасындан бихәбәрсән.
Пәрвана кими сәнин этрағында доландым ки, та сән кәләсән,
Шам кими йанирам, амма сән мәни гојуб кедирсән?
Дедим ки, јарим ол, лүтф едәрәк бујурду:
Валлаһ, иззымы чәксән, сәнин оларام.
Сән һаким вә султансан, биз бујуруг гулуујүг,
Ганымы төксән, неч кәс бир сез демәз.
Сәнин элә кечирмөк учүн чох чан атдым,
Иди нә чарә-едим ки, мән агларам, сән күләрсән.
Јүз јалварыбы-яхармагла додагындан бир өпүш истәдим.
Дедин ки, валлаһ, элими өпәрсәнсә верәрәм.
Өпүш вериб, деди еј јарым, ешиш,
Бир адама десэн, валлаһ, сәнни өлдүрәрәм.
Фүзүли сәнин шигинде һәр күн зар-зар аглар,
Бу күн лүтф күнүдүр элимдән тутсан нә олар?

Әдәбијјат вә Диң Институту

Алынышдыр 2. IX. 1966

ЭТИКА

Л. САРАХАТУНОВ

ДИАЛЕКТИКА СООТНОШЕНИЯ МОРАЛЬНЫХ И ПРАВОВЫХ
ФАКТОРОВ В ВОСПИТАНИИ СТРОИТЕЛЯ КОММУНИЗМА

(Представлено академиком АН Азербайджанской ССР И. А. Гусейновым)

Процесс перехода от социализма к коммунизму сопровождается глубочайшими преобразованиями во всех областях жизни общества. В ходе этого процесса происходит отмирание отдельных элементов социализма, связанных с условиями существования в предшествующем обществе, и в то же время неуклонно развиваются новые элементы, которым принадлежит будущее.

В эту историческую эпоху совершаются коренные изменения и в области формирования у советских людей высокой коммунистической сознательности, в области воспитания нового человека, человека коммунистического общества.

В числе основных факторов, участвующих на современном этапе в формировании нового человека, весьма важная роль принадлежит моральным и правовым факторам. Притом они выступают не изолировано друг от друга, а находятся в состоянии постоянного взаимодействия и взаимопроникновения. Взаимодействие этих факторов основывается на единстве целей и задач морали и права.

Однако, несмотря на единство их целей и задач, сосуществовать в таком виде, в каком находится на данном этапе мораль и право, по мере дальнейшего продвижения к коммунизму, они не могут. Дальнейшее развитие социалистического права и возрастание роли нравственных начал в жизни общества приведут к значительным изменениям в их соотношении.

В частности, период перехода к коммунизму характеризуется расширением сферы действия морального фактора и постепенным уменьшением роли и значения принудительных правовых норм во взаимоотношениях между строителями коммунизма.

Предпосылкой расширения сферы действия морального фактора в период перехода к коммунизму является дальнейшее развитие социалистической демократии.

В Программе Коммунистической партии Советского Союза поставлен и решен новый, важнейший вопрос теории и практики коммунизма — о перерастании государства диктатуры пролетариата в общенародное государство, о характере и задачах этого государства и его судьбе

при коммунизме. Процесс преобразования государства диктатуры рабочего класса в общенародное государство зависит от степени практического проведения в политической организации общества линии на всенародное развитие всенародной социалистической демократии.

За последние годы значительно возросло значение Советов депутатов трудящихся, расширены права союзных республик и местных советских органов, повысилась роль общественных организаций, в их ведение переданы некоторые функции государственных органов, усилился народный контроль за деятельностью органов государственного управления и т. д.

Советы, профсоюзы, колхозы, комсомол и другие общественные организации образуют систему организаций всенародной социалистической демократии, представляющую собой политическую форму организации общества, строящего коммунизм. Руководящей и направляющей силой в этой системе, как и прежде в системе диктатуры рабочего класса, является Коммунистическая партия.

Таким образом, всенародная социалистическая демократия является политической формой государственного самоуправления всего советского народа.

Повышение роли общественных организаций в управлении делами государства неуклонно сопровождается усилением нравственных начал в жизни нашего общества, расширением сферы действия морального фактора в регулировании общественного поведения и соответственно ограничением необходимости применения мер государственно-правового воздействия.

Возрастание роли морали в регулировании общественного поведения наиболее ярко проявляется в активном вовлечении трудящихся через различные их самодеятельные организации в охрану общественного порядка. Поддержание и укрепление установленного правопорядка является необходимым условием нормального функционирования и развития социалистического общества по пути к коммунизму. Вместе с тем оно имеет исключительно важное значение в повседневной жизни советских людей. Поэтому вопрос обеспечения общественного порядка требует самого пристального внимания как органов государственной власти, так и всей нашей общественности. Только совместными усилиями соответствующих административных органов, общественных организаций трудящихся и всего населения можно добиться решительных успехов в борьбе со всеми проявлениями нарушений общественного порядка.

Одной из действенных форм общественного воздействия на нарушителей правил социалистического общежития является обсуждение их аморальных поступков на собраниях трудящихся. Огромная сила общественного воздействия на нарушителей правил общежития основывается на колоссальном моральном авторитете коллектива. Совесть коллектива оказывает благотворное влияние не только на последующее поведение самих нарушителей общественного порядка, но воспитывает и других в духе глубокого уважения к общественному мнению. У членов коллектива постепенно вырабатывается понимание того, что за любой недостойный поступок им придется держать ответ перед общественностью в лице своих товарищей. Это обстоятельство оказывает существенное влияние на их повседневное поведение. Они становятся более требовательными к себе и меньше совершают антиобщественных поступков. В связи с этим постепенно ограничивается необходимость в мерах административного воздействия, направленных на обеспечение соблюдения установленного правопорядка.

В процессе перехода к коммунизму роль общественного мнения в борьбе с нарушениями правил общежития будет приобретать все большее значение. Факты недостойного поведения отдельных советских людей все шире будут выноситься на суд общественности.

Огромная роль в этом отношении принадлежит товарищеским судам и добровольным народным дружинам.

Будучи основаны на непосредственном участии самих трудящихся в охране и укреплении общественного порядка, они, с одной стороны, выступают важнейшей формой профилактики преступлений, а с другой—являются ярким выражением расширения сферы действия морального фактора в нашем обществе на современном этапе.

Товарищеский суд в своей деятельности опирается на силу общественного мнения. Его решения являются не чем иным, как формой конкретизации требований общественного мнения, выражения воли того или иного коллектива трудящихся. Поэтому товарищеские суды, не применяя каких-либо карательных мер в отношении нарушителей общественного порядка, добиваются огромных успехов в оказании определенного воздействия на них. Никакие административные или судебные меры порою не могут оказать такого влияния на провинившегося, как обсуждение его поступка в товарищеском суде. Моральное и психологическое воздействие товарищеского суда настолько велико, что нередко провинившиеся предпочитают предстать перед народным судом, но предотвратить обсуждение их поступка судом общественности.

Если воспитательное воздействие товарищеских судов связано с формированием общественного мнения вокруг конкретных нарушений правил общежития, то более широкую профилактическую работу проводят добровольные народные дружины. В отличие от товарищеских судов деятельность их связана с обсуждением отдельных антиобщественных поступков, они имеют дело со всеми проявлениями отклонения от норм общественного поведения. Сфера их влияния охватывает значительно больший круг вопросов нашей повседневной жизни. Они и пользуются более разнообразными формами и средствами воздействия на нарушителей правил социалистического общежития для предотвращения недостойных поступков отдельных членов общества.

Сила добровольных народных дружин, как и товарищеских судов, основывается на моральном авторитете общественности. В их требованиях нарушители общественного порядка усматривают проявление непреклонной воли советских людей—навести и поддержать надлежащий порядок в нашем обществе.

Итак, процесс изменения соотношения моральных и правовых факторов в коммунистическом воспитании трудящихся и расширении сферы действия морального фактора находится в неразрывной связи с развитием социалистической демократии. Но какова судьба социалистического права в этот период? Какое место занимает оно в системе общенародного государства?

Проблема взаимодействия права и нравственности в период перехода к коммунизму органически связана с проблемой отмирания права. Процесс отмирания права нельзя сводить к простому вытеснению правовых норм моральными. Конечно, в период перехода к коммунизму имеет место и процесс отказа от отдельных правовых норм, процесс вытеснения отдельных правовых норм моральными. Но это не является главным в отмирании права. Отмирание права—это не что иное, как развитие права, перерастание его в неправовую форму регулирования общественных отношений. Отмирание предполагает совершенствование правовых норм, постепенное качественное изменение субъек-

тов, методов, содержания правового регулирования. Право отмирает постепенно, по мере утверждения коммунистических отношений, в процессе теснейшего взаимодействия с моралью на основе взаимопроникновения правовых и моральных норм. Такое взаимопроникновение повлечет за собой, с одной стороны, постепенное уменьшение значения принудительных правовых норм во взаимоотношениях между строителями коммунизма, а с другой—создаст наиболее реальные условия для возникновения новых, неправовых норм коммунистического общежития, соблюдение которых станет внутренней потребностью и привычкой всех людей.

Процесс развития социалистического права в коммунистические социальные нормы представляет собой диалектический процесс, в котором сочетаются постепенное отмирание специфических юридических черт, связанных с государственным принуждением, и становление новых черт, характерных для норм коммунистического общества.

Можно уже сейчас отметить в ныне действующем законодательстве тот факт, что применительно к некоторым отдельным сферам охраны социалистического правопорядка соответствующим общественным организациям передается государством полномочие в известном объеме самостоятельно осуществлять правоохранительную функцию государства.

Развитие социалистического права в системе норм коммунистического общежития осуществляется в ходе максимального использования правовой нормы в интересах коммунистического строительства. На эту особенность развития социалистического права в период развернутого строительства коммунизма необходимо обратить особое внимание.

Было бы совершенно неправильным рассматривать перерастание норм социалистического права в нормы коммунистического общежития в качестве обособленного, самодовлеющего процесса, идущего независимо от использования права в целях коммунистического строительства. Дело обстоит как раз наоборот: перерастание социалистического права только и возможно в ходе его совершенствования, упорядочения, усиления его действенной роли.

При полном коммунизме утвердится гармония личных и общественных интересов, составляющая существенный элемент коммунистического равенства. С этим связано то существенное отличие норм коммунистического общежития от правовых норм социалистического общежития, что для охраны норм коммунистического общества от нарушений не потребуется специальный аппарат принуждения (государство), поскольку соблюдение единых общепризнанных норм коммунистического общежития станет внутренней потребностью и привычкой всех людей.

Одной из особенностей норм коммунистического общежития явится отсутствие разграничения между субъективным правом и обязанностью, которое существует в настоящее время и находит свое выражение в нормах социалистического общества. «Вся система государственных и общественных организаций воспитывает трудящихся в духе добровольного, добросовестного исполнения своих обязанностей, ведет к органическому соединению прав с обязанностями в единые нормы коммунистического общежития»¹.

Но что значит полное воплощение в жизнь коммунистического принципа добровольного соблюдения правил коммунистического общежития?

Это значит, во-первых, что все люди будут добровольно трудиться по способностям, борясь за совершенствование производственных процессов, за построение передового опыта и т. д. Следовательно,

будучи воплощенным в жизнь, этот принцип становится материальной силой, повышающей производительность труда, развивающей экономическую базу коммунизма.

Это значит, во-вторых, что станут ненужными и постепенно отомрут все профессии и учреждения, обеспечивающие насильственное принуждение и охрану порядка: Не будет армии, милиции, судей, охранников, сторожей, кассиров, контролеров, табельщиков и т. п. Следовательно, будучи воплощенным в жизнь, принцип добровольного соблюдения норм коммунистического общежития освободит от непроизводительного труда огромную массу людей. Возникнет новое, самое экономное общество, которое когда-либо знала история.

Это значит, в-третьих, что исчезнет всякое подозрение людей в недобросовестности, нечестности, карьеризме, коварстве, злоупотреблении и т. п. Возникнут самые совершенные, кристально чистые отношения между людьми, установится полное доверие, искренность и доброжелательность.

Следовательно, будучи полностью воплощенными в жизнь, принципы добровольного соблюдения норм коммунистического общежития принесут людям счастье, сделают жизнь людей разумной и прекрасной.

Институт народного хозяйства

Поступило 17. XII 1966.

МУНДЭРИЧАТ

Ријазијјат

В. А. Колушев а. Өлчүсү олан сонсузелчуу фәзада классик сәрхәд вә галышыг мәсэләләриң үмүмиләшмәси 3

Физики-кимја

М. Ф. Нагиев, Қ. Э. Гарашарлы, С. Э. Мендиев. 55—385°К температур интервалында диметиламиниланын термодинамик тәдгиги 8

Үзви кимја

С. Э. Элиев, Р. И. Исмаилов, Н. И. Ыусеинов, Н. М. Мамедалиев, Р. И. Ыусеинов. Алумосиликат катализаторунун иштиракы илә этилметаксилолун пропиленә алкилләшмәси 11

О. А. Нариманбэјов, П. Х. Исмаилов, С. Ч. Мендиев. Етилмеркаптанын акролени илә конденсләшмәси 15

Р. Г. Исмаилов, С. М. Элиев, Ш. С. Вәзиров. Синтетик алумосиликат катализатору иштиракында этилтолуолун етилленә алкилләшмәси 19

М. Э. Һәшилов, М. Э. Мурзелова. Активләшdirичи әлавәләриң диалкилбензолсулфонатын јујучулуг габилийјетинә тә'сири 23

Газыма

А. Э. Шәмсиев, Т. Х. Сүлејманов, В. Т. Гулиев. Йүксәк хүсуси јүклөрдә килләриң компрессија хассәләри 29

Кеолокија

Г. М. Гасымова. Нахчыван Сармат дөврү биткиләриң даир јени мә'лumat 33

Тектоника

Д. М. Данилевскаја. Ашағы Құр чекәклициндә релјефин әмәлә кәлмәсіндө јени тектониканын ролу 37

Стратиграфија

Р. Г. Һәсәнов. Шаңдағ силиләси (Кичик Гафгаз) офиолит формасијасы интрузивләри ореолунда олан контакт-метаморфизм просесләри һагтында 41

Нефт. қеолокијасы

Ә. М. Мәммәдов. Палчыг вулканларының әмәлә кәлмәсі механизминә даир 47

Кеофизика

Ф. Т. Гулиев, В. Э. Элиев, К. Ш. Исламов. Август 1965-чи ил Салай залзәләсиси 54

Ветеринария	
М. К. Ганиев, М. И. Гасанов. Воспроизведение экспериментального листериоза у крупного рогатого скота	68
Микробиология	
Н. А. Мехтиева. Активность хищных грибов в почве	72
Агрохимия	
Р. К. Гусейнов, Ф. Г. Ахундов. Превращение новых видов азотных удобрений в болотной почве	76
Физиология	
А. К. Габучия. Содержание гликогена в лейкоцитах при раздражении механорецепторов желудка	80
Эпиграфика	
С. Керимзаде. Неисследованные надписи мавзолея Момине хатун	83
История литературы	
Ф. Сейдов. Неопубликованные стихотворения Мухаммеда Физули	89
Этика	
Л. Сарахатулов. Диалектика соотношения моральных и правовых фак- торов в воспитании строителя коммунизма.	92

Сдано в набор 18/VIII 1967 г. Подписано к печати 27/X 1967 г. Формат бумаги
·70×108¹/₁₆. Бум. лист. 3,13. Печ. лист. 8,56. Уч.-изд. лист. 7,33. ФГ 21011. Заказ 761.
Тираж 830. Цена 40 коп.

Типография «Наука» Комитета по печати при Совете Министров
Азербайджанской ССР. Баку, Рабочий проспект, 96.